

В. Н. ПОДЛЕСНОВ, А. С. АНАНЬЕВ



КИНЕМАТИКА СТАНКОВ: КИНЕМАТИЧЕСКИЕ СХЕМЫ ДЛЯ АНАЛИЗА И РАСЧЕТА ЦЕПЕЙ



Министерство общего и профессионального образования
Российской Федерации
Волгоградский государственный технический университет

В. Н. ПОДЛЕСНОВ, А. С. АНАНЬЕВ

КИНЕМАТИКА СТАНКОВ:
КИНЕМАТИЧЕСКИЕ СХЕМЫ
ДЛЯ АНАЛИЗА И РАСЧЕТА ЦЕПЕЙ

Учебное пособие

70 - 99 - 69

РПК
"Политехник"
Волгоград
1999

Рецензенты:
В. П. Усов, О. Г. Лукша

Печатается по решению редакционно-издательского совета
Волгоградского государственного технического университета

Подлеснов В. Н., Ананьев А. С.

Кинематика станков: кинематические схемы для анализа и настройки
цепей: Учеб. пособие / ВолгГТУ, Волгоград, 1999. – 112 с.

ISBN 5-230-03704-0

Даются рекомендации по анализу кинематических схем металлорежущих станков. Приводятся кинематические схемы наиболее распространенных станков общего назначения с необходимыми пояснениями. Учебное пособие может использоваться как при изучении теоретического курса, так и при выполнении заданий по самостоятельной работе.

Предназначено для студентов направления 552900 «Технология, оборудование и автоматизация машиностроительных производств» (второй уровень высшего профессионального образования – бакалавриат), изучающих учебную дисциплину «Оборудование машиностроительного производства».

Ил. 44. Табл. 2. Библиогр.: 29 назв.

ISBN 5-230-03704-0

© Волгоградский государственный
технический университет, 1999

ВВЕДЕНИЕ

В процессе обработки на металлорежущем станке заготовка и режущий инструмент находятся в относительном движении; в результате их взаимодействия на заготовке путем снятия стружки образуются различные поверхности. Характер относительного движения заготовки и инструмента с целью формообразования поверхностей, а также другие исполнительные движения в станке – установочные, делительные, управления и вспомогательные – определяет кинематика станка. Кинематика металлорежущего станка как объект изучения включает три уровня:

- 1) анализ кинематической структуры станка;
- 2) анализ кинематической схемы станка;
- 3) кинематическая настройка станка.

Анализ кинематической структуры станка предполагает установление реальных кинематических связей между исполнительными органами станка, определяющих требуемое относительное перемещение заготовки и инструмента с целью образования нужных поверхностей. Анализ производится на основе рассмотрения структурных схем, кинематических групп, кинематических связей, исполнительных движений и их настройки по определенным параметрам. Вопросы анализа кинематической структуры станков в данном пособии не рассматриваются (о кинематической структуре см. в литературе [17, 21, 26]).

Если структурная схема станка носит общий характер и определяет кинематику многих станков данного типа, то кинематическая схема станка отражает особенности кинематики каждой конкретной модели и содержит все передачи и другие элементы кинематических цепей. При анализе кинематической схемы прослеживаются пути передачи движения от источников к рабочим органам станка, определяются конкретные органы настройки, составляются урав-

нения кинематического баланса, выводятся формулы для определения передаточных отношений звеньев настройки.

Кинематическая настройка станков предполагает определение конкретных значений передаточных отношений цепей и некоторых их звеньев; определение путей передачи движения через коробки скоростей и подач или определение чисел зубьев сменных шестерен гитар. При этом приобретаются практические навыки настройки кинематических цепей станков.

В данном учебном пособии излагаются основные принципы анализа кинематических схем металлорежущих станков и даются рекомендации по их настройке. Набор кинематических схем охватывает основные группы станков. Особое внимание уделяется станкам со сложной кинематикой, в частности, зубообрабатывающим.

Приводимые технические характеристики станков позволяют использовать пособие не только для анализа и настройки станков при выполнении семестровых заданий и курсовых работ, но и для подбора станков с целью определения технологических операций при разработке технологических процессов на старших курсах.

Приводимые по каждому станку пояснения, наборы сменных зубчатых колес, условия зацепления колес в гитарах помогут рассчитывать реальные настройки конкретных станков.

1. ОСНОВНЫЕ ПРИНЦИПЫ АНАЛИЗА КИНЕМАТИЧЕСКИХ СХЕМ СТАНКОВ

Необходимое относительное движение заготовки и инструмента на металлорежущих станках обеспечивается соответствующими приводами и установлением должного взаимодействия между рабочими органами и механизмами станка.

Привод представляет собой совокупность источника движения и устройства для передачи движения от источника до рабочих органов станка. Различают привод главного движения (или привод движения скорости резания), привод подачи, привод установочных движений (наладочных или движений врезания), привод делительных движений, привод движений управления и привод вспомогательных движений.

Привод, помимо источника движения, включает передачи (ременные, зубчатые, цепные и т. д.), а также валы, опоры, муфты, тормоза и т. д. Приводы могут быть сложными и разветвленными; кинематически могут быть связаны между собой не только источник движения (электродвигатель), но и рабочие органы станка. Источником движения например, подачи, может быть не электродвигатель, а какой-либо орган станка, например, шпиндель. Главное движение и движение подачи могут образовывать сложное движение формообразования. Один и тот же источник может обеспечивать различные движения. Помимо механических приводов могут быть гидравлические, электронные и др. Таким образом, разобраться в составе и устройстве приводов станков непросто, а сделать это по чертежам станков было бы в ряде случаев весьма затруднительно. Поэтому кинематику станков изучают и анализируют по кинематическим схемам.

Привод станка можно представить в виде кинематической цепи от источника движения к рабочему органу станка. Кинематические

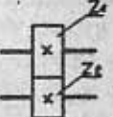
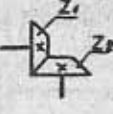
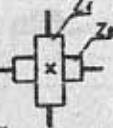
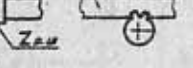
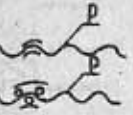
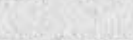
цепи связывают между собой и отдельные рабочие органы станка (если, конечно, такие связи необходимы для создания заданных относительных движений). Совокупность отдельных кинематических цепей станка, условно изображенных в одной плоскости, представляет собой кинематическую схему станка. Иногда, довольно редко, дают на кинематических схемах аксонометрические изображения кинематических цепей, однако в большинстве случаев дается плоское изображение цепей, наложенных на общий контур станка. Условные изображения элементов кинематических схем показаны в таблице.

**Условные обозначения
элементов кинематических схем и передач**

Наименование	Обозначение	Передаточное отношение
Вал, ось, стержень	—	
Подшипники скольжения и качения (без уточнения типа)	—○—	
Подшипники качения:		
радиальные	○—○	
упорные	○—○	
радиально-упорные	○—◇—	
роликовые	◇—	
Электродвигатели	M1 M2	
Муфты сцепления кулачковые (зубчатые):		
односторонняя	—[—]—	
двустворонняя	—[—][—]—	
Муфты обгона	—○—	
Тормоза:		
ленточные	—□—	
дисковые	—□—	

Наименование	Обозначение	Передаточное отношение
Муфты сцепления фрикционные:		
общее обозначение	— —	
односторонняя	—→ —	
двустворонняя	— —	
электромагнитная	—△— —	
Соединение детали с валом		
свободное при вра- щении	—□—	
подвижное без вра- щения	—□□—	
при помощи вытяж- ной шпонки	—□△—	
глухое	—X—	
Передачи ременные:		
плоским ремнем	—□—□—	$i = \frac{\Omega_2}{\Omega_1} = \frac{D_1}{D_2}$
клиновидным ремнем	—□—□—	$i = \frac{\Omega_2}{\Omega_1} = \frac{D_1}{D_2}$
Передачи цепные	—◇—◇—	$i = \frac{\Omega_2}{\Omega_1} = \frac{Z_1}{Z_2}$

Окончание

Наименование	Обозначение	Передаточное отношение
Передачи зубчатые: цилиндрическими колесами		$i = \frac{Z_1}{Z_2}$
коноидальными колесами		$i = \frac{Z_1}{Z_2}$
винтовыми колесами		$i = -\frac{Z_1}{Z_2}$
Передачи червячные		$i = \frac{K}{Z_w}$
Передачи реечные		
Передачи винт-гайка: скольжения		
качения		

Примечание.

n_1 и n_2 – частоты вращения ведущего и ведомого валов;

D_1 и D_2 – диаметры ведущего и ведомого шкивов;

Z_1 и Z_2 – числа зубьев ведущего и ведомого зубчатых колес (или звездочек цепной передачи);

K – число заходов червяка;

Z_{ch} , Z_{pw} – число зубьев червячного колеса и реечной шестерни;

m – модуль реечной передачи;

P – шаг ходового винта;

M_1 , M_2 – электродвигатели

Валы на кинематических схемах обозначаются римскими цифрами (I, II, III, ...). На схемах обозначаются числа зубьев шестерен, например: $Z=45$; $Z=23$ или $Z_1=45$; $Z_2=43$ (индекс при Z соответствует порядковому номеру колеса). Муфты обозначаются буквой M с ин-

дексом (порядковым номером): M_1 , M_2 ; специфические муфты могут иметь буквенный индекс: M_o (муфта обгонная); M_h (муфта предохранительная). Для червячных передач указывается число заходов червяка ($K=1$; 2 или 1 зах.; 2 зах.) и число зубьев червячного колеса ($Z_{ch}=40$). Для ременных передач указываются диаметры шкивов в миллиметрах ($D_1=100$ мм или $\varnothing 100$). В реечных передачах указывается модуль ($m=3$ мм) и число зубьев реечной шестерни ($Z_{pw}=10$). Для ходовых винтов указывается шаг: $P=6$ мм и при многозаходных винтах – число заходов (2 зах.; 3 зах.).

Другие элементы кинематических схем (кулачки, рукоятки и т. п.) обозначаются арабскими цифрами 1, 2, 3,

При анализе кинематики станков основным является определение относительного положения заготовки и инструмента перед началом обработки, характер и параметры относительного движения в процессе обработки.

Режимы резания при обработке включают скорость резания и подачи. Эти параметры определяются соответствующими движениями. При этом следует иметь в виду, что главное движение резания (кратко говорят: движение резания) – это прямолинейное поступательное или вращательное движение заготовки или режущего инструмента, происходящее с наибольшей скоростью в процессе резания. Скорость главного движения резания – это скорость рассматриваемой точки режущей кромки или заготовки в главном движении резания (обозначается: V).

Движение подачи – прямолинейное поступательное движение режущего инструмента или заготовки (скорость которого меньше скорости главного движения резания), предназначенное для того, чтобы распространить отделение слоя материала на всю обработанную поверхность. В зависимости от направления различают движения подачи: продольные, поперечные и др. Движение подачи может быть непрерывным или прерывистым (в перерывах процесса резания).

Выше дано стандартное определение движения подачи. Однако рассматривают не только поступательное движение подачи; оно может быть и круговым (например вращение при шлифовании заготовки или вращение стола с заготовками на карусельно-фрезерном станке).

Подачу S определяют как отношение расстояния, пройденного рассматриваемой точкой кромки инструмента или заготовки вдоль траектории этой точки, к соответствующему числу циклов или определенных долей цикла другого движения. Рассматривают,

например, подачу на один оборот заготовки или инструмента; подачу на зуб (за время поворота инструмента или заготовки на один угловой шаг зубьев); подачу на двойной ход и т. д.

Анализ кинематической схемы станка выполняется в следующей последовательности:

1) определяются относительное положение заготовки и инструмента на станке и движения, которые необходимо им дать для образования на заготовке требуемых поверхностей (вид движений, их независимость или согласованность, последовательность и т. п.);

2) определяются кинематические цепи, из которых состоит кинематическая схема и решается вопрос о том, какие цепи используются для создания движений при конкретных видах обработки (например, на токарном станке – при точении с продольной или поперечной подачей);

3) производится анализ каждой кинематической цепи, при этом: определяются конечные звенья кинематической цепи, (например, электродвигатель и шпиндель);

записываются расчетные перемещения конечных звеньев (эти перемещения назначаются такими, чтобы обеспечить необходимое движение, например: n (мин⁻¹) электродвигателя соответствует $n_{шп}$ (мин⁻¹) шпинделя или 1 оборот шпинделя соответствует перемещению суппорта на шаг P_n (мм) нарезаемой резьбы и т. д.);

по кинематической цепи составляется уравнение кинематического баланса, представляющее собой математическое выражение, определяющее связь движений конечных звеньев цепи с учетом передаточных отношений всех передач, входящих в цепь;

если в уравнение входит передаточное отношение гитары сменных колес, то выводится формула для определения этого передаточного отношения;

определяются пути передачи движения от начального звена цепи к конечному для обеспечения нужного передаточного отношения цепи с целью получения заданной скорости или подачи (при наличии в цепи переключаемых передач);

анализируются отдельные механизмы кинематических цепей (обгонные муфты, реверсы и др.);

4) анализируются вопросы, связанные с осуществлением движений врезания, управления и вспомогательных.

Изложенная методика применительно к анализу цепи главного движения токарно-винторезного станка выглядит следующим образом.

Конечные звенья цепи: электродвигатель и шпиндель.

Расчетные перемещения конечных звеньев: $n_{эл. да.}$ мин⁻¹ → $n_{шп.}$ мин⁻¹.

Уравнение кинематического баланса в общем виде:

$$n_{шп.} = n_{эл. да.} \cdot \frac{D_1}{D_2} \cdot \eta \cdot i_{к.с.}, \text{ мин}^{-1},$$

где $n_{эл. да.} = 1460$ мин⁻¹ – частота вращения вала электродвигателя; $D_1 = 154$ мм; $D_2 = 268$ мм – диаметры шкивов ременной передачи;

$\eta = 0,985$ – коэффициент проскальзывания в ременной передаче;

$i_{к.с.}$ – передаточное отношение коробки скоростей.

Уравнение теперь можно представить в следующем виде:

$$n_{шп.} = 1460 \cdot \frac{154}{268} \cdot 0,985 \cdot i_{к.с.}, \text{ мин}^{-1}.$$

Далее, целесообразно записать уравнение в развернутом виде – с учетом переключений коробки скоростей. Для станка модели 16К20 уравнение примет вид:

$$n_{шп.} = 1460 \cdot \frac{154}{268} \cdot 0,985 \cdot \begin{array}{|c|c|c|c|c|} \hline & 15 & 21 & 60 & 18 & 30 \\ \hline & 51 & 55 & 45 & 72 & 60 \\ \hline & 39 & 29 & 45 & 30 & \\ \hline & 56 & 47 & & 60 & \\ \hline & 34 & 38 & & 60 & \\ \hline & 38 & & & 60 & \\ \hline & & & & 48 & \\ \hline \end{array} = \left\{ \begin{array}{l} n_1 = 12,9 \text{ мин}^{-1} \\ \dots \\ \dots \\ n_{22} = 1600 \text{ мин}^{-1} \end{array} \right.$$

Уравнение записано для правого вращения шпинделя. Используя приведенную запись, для станка модели 16К20 можно составить 22 уравнения кинематического баланса и определить все 22 значения частот вращения шпинделя. Приняв, например, для расчета все возможные минимальные значения передаточных отношений, получим минимальное значение частоты вращения шпинделя:

$$n_{шп.} = 1460 \cdot \frac{154}{268} \cdot 0,985 \cdot \frac{51}{39} \cdot \frac{21}{55} \cdot \frac{15}{60} \cdot \frac{18}{72} \cdot \frac{30}{60} = 12,9 \text{ мин}^{-1}.$$

Рассмотрим пример настройки кинематической цепи гитарой сменных колес:

расчетные перемещения конечных звеньев:

$$n_{\text{шп.}, \text{мин}^{-1}} \rightarrow n_{\text{шп.}, \text{мин}^{-1}}$$

уравнение кинематического баланса:

$$n_{\text{шп.}} = n_{\text{шп.дв.}} \cdot \frac{D_1}{D_2} \cdot \frac{A}{B} \cdot \frac{Z_1}{Z_2}$$

где A и B – числа зубьев сменных колес гитары;

Z₁ и Z₂ – числа зубьев колес постоянной передачи;
приняв конкретные значения входящих в уравнение величин, получим:

$$n_{\text{шп.}} = 1450 \cdot \frac{120}{283} \cdot 0,985 \cdot \frac{A}{B} \cdot \frac{26}{76}$$

откуда формула для определения передаточного отношения гитары будет иметь вид:

$$\frac{A}{B} = \frac{n_{\text{шп.}}}{207}$$

2. СПОСОБЫ КИНЕМАТИЧЕСКОЙ НАСТРОЙКИ ЦЕПЕЙ

Настройка необходимых передаточных отношений кинематических цепей с целью получения нужных значений скоростей рабочих органов станка производится с помощью коробок скоростей, коробок подач, гитар сменных колес или с помощью регулируемых электродвигателей.

По заданным (или определенным в методических указаниях по теории резания металлов) режимам резания рассчитываются скорости рабочих органов станка, например, частота вращения шпинделя:

$$n_{\text{шп.}} = \frac{1000V}{\pi \cdot d}$$

где V – скорость резания, м/мин;

d – диаметр обрабатываемой заготовки или врачающегося инструмента, мм.

При использовании коробки скоростей необходимо установить подвижные элементы (блоки, шестерни), а также переключить муфты так, чтобы шпиндель получил частоту вращения, равную или меньшую (если равная не может быть обеспечена) по сравнению с расчетной. На кинематической схеме можно показать условной линией путь передачи движения от источника до шпинделя с учетом получения необходимой частоты.

При регулировании скорости электродвигателем устанавливают соответствующую скорость электродвигателя.

При использовании гитар сменных колес необходимо подобрать числа зубьев колес так, чтобы обеспечить нужное передаточное отношение цепи. При этом учитывается необходимая точность подбора и прилагаемый к станку комплект сменных зубчатых колес.

Точность подбора зубчатых колес зависит от назначения гитары. Например, сменные колеса гитар деления зубообрабатывающих станков подбираются без каких-либо округлений передаточного отношения. Наиболее простой способ подбора – путем разложения числителя и знаменателя дроби, полученной после подстановки в формулу конкретных величин, на простые множители. Формула для подбора сменных колес гитары деления и обката зубофрезерного станка, например, имеет вид:

$$i_x = 24k / z,$$

где k – число заходов червячной фрезы;

z – число зубьев нарезаемого колеса.

Приняв, например, k=1 и z=72 будем иметь:

$$i_x = 24 \cdot \frac{1}{72} = \frac{6}{8} \cdot \frac{4}{9}$$

Умножая числа в числите и знаменателе на некоторые множители (например, на 10), получим:

$$i_x = \frac{60}{80} \cdot \frac{40}{90}$$

Сменные колеса будут: z₁=60; z₂=80; z₃=40; z₄=90 (если, конечно, колеса с такими числами зубьев имеются в прилагаемом к станку наборе).

Если гитара двухпарная, как в данном примере, то необходимо, чтобы соблюдалось условие зацепления шестерен в гитаре (рис.1):

$$z_1 + z_2 \geq z_3 + (15 \dots 20)$$

$$z_3 + z_4 \geq z_2 + (15 \dots 20)$$

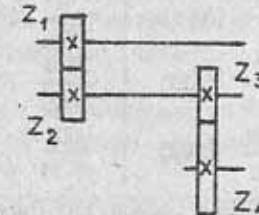


Рис. 1. Двухпарная гитара

При однопарной гитаре необходимо обеспечить постоянство суммы чисел зубьев пар шестерен (для данной гитары).

Для многих гитар сменные колеса могут подбираться приближенно. При этом для гитар обката и дифференциала зубообрабатывающих станков точность обеспечения передаточного отношения должна соответствовать 4–5 знаку после запятой.

Абсолютная погрешность передаточного отношения представляет собой разность между полученным в результате подбора сменных колес значением i_1 и заданным передаточным отношением i :

$$\Delta = i_1 - i.$$

Относительная погрешность передаточного отношения есть отношение абсолютной погрешности к заданному передаточному отношению:

$$\delta = \Delta / i = (i_1 - i) / i.$$

Иногда, например, при настройке винторезных цепей следует определять суммарную погрешность как произведение относительной погрешности на длину L обрабатываемой детали:

$$\Delta L = \delta \cdot L.$$

В формулах для подбора передаточных отношений гитар некоторых станков встречаются величины π и 25,4. При подборе сменных колес их заменяют приближенно дробями, приведенными в таблице.

Замена некоторых чисел приближенными дробями

$25,4$	π	$\frac{\pi}{25,4}$	$25,4 - \pi$
$\frac{127}{5} (0,0)$	$\frac{22}{7} (0,4)$	$\frac{47}{4 \cdot 95} (0,01)$	$\frac{22 \cdot 127}{7 \cdot 5} (0,4)$
$\frac{18 \cdot 24}{17} (0,45)$	$\frac{33 \cdot 27}{25 \cdot 11} (0,07)$	$\frac{5 \cdot 19}{32 \cdot 24} (0,1)$	$\frac{21 \cdot 19}{5} (0,05)$
$\frac{40 \cdot 40}{7 \cdot 7} (0,12)$	$\frac{19 \cdot 21}{127} (0,04)$	$\frac{12}{97} (0,21)$	$\frac{10 \cdot 17 \cdot 23}{7 \cdot 7} (0,01)$
$\frac{11 \cdot 30}{13} (0,61)$	$\frac{8 \cdot 97}{13 \cdot 19} (0,03)$	$\frac{22 \cdot 5}{7 \cdot 127} (0,4)$	$\frac{27 \cdot 65}{2 \cdot 11} (0,3)$
	$\frac{13 \cdot 29}{4 \cdot 30} (0,02)$	$\frac{23}{6 \cdot 31} (0,23)$	$\frac{30 \cdot 125}{47} (0,11)$

Примечание. В скобках указаны погрешности линейного перемещения на 1 м длины.

Для подбора сменных колес может использоваться способ непрерывных дробей. Способ состоит в том, что отношение любых целых чисел может быть выражено в виде непрерывной дроби вида

$$\frac{A}{B} = a_0 + \frac{1}{a_1 + \frac{1}{a_2 + \frac{1}{a_3 + \dots + \frac{1}{a_{n-1} + \frac{1}{a_n}}}}},$$

где $a_0; a_1; a_2; a_3; \dots; a_n$ – частные от деления, полученные следующим образом: сначала А делится на В, получается a_0 , затем В делится на остаток от первого деления, получается a_1 , и т. д.; каждый предыдущий остаток делится на последующий до тех пор, пока в остатке не получится нуль. Для правильных дробей ($A < B$)

$$a_0 = 0.$$

В полученной таким образом непрерывной дроби a_0 является наиболее грубым приближением; более точным – $a_0 + 1 / a_1 = (a_0 \cdot a_1 + 1) / a_1$, добавление каждого последующего члена дает более точное приближение. Начиная с третьего члена непрерывной дроби, все последующие приближения значений подсчитываются по формуле

$$\frac{A_i}{B_i} = \frac{A_{i-1} \cdot a_i + A_{i-2}}{B_{i-1} \cdot a_i + B_{i-2}},$$

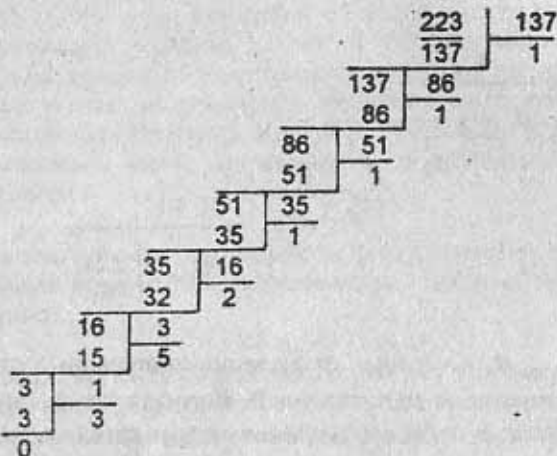
где A_i и B_i – подсчитываемые значения числителя и знаменателя приближенной дроби;

$A_{i-1}, A_{i-2}, B_{i-1}, B_{i-2}$ – предыдущие значения числителя и знаменателя.

После подсчета всех приближенных значений A_i / B_i выбирают наиболее точное из числа дающих возможность подобрать сменные колеса.

Практическое использование способа непрерывных дробей для подбора сменных колес рассмотрим на примере. Пусть необходимо

подобрать сменные колеса для обеспечения передаточного отношения $A / B = 223 / 137$. Выполним деление



Далее следует составить таблицу:

	1	1	1	1	2	5	3
0	1	1	2	3	5	13	70
1	0	1	1	2	3	8	43
	1	1	1	1	2	5	3

Число горизонтальных строк должно быть четыре; число вертикальных столбцов должно быть равно числу результатов от деления (в данном примере результаты 1, 1, 1, 1, 2, 5, 3, то есть количество результатов – семь, значит и столбцов должно быть семь).

В верхней и нижней строках записываются результаты от деления. Слева к таблице пристраивается:

0	1
1	0

Для того, чтобы получить третье число второй строки, надо первое число первой строки умножить на второе число второй и прибавить первое число второй строки:

$$1 \cdot 1 + 0 = 1.$$

Для получения четвертого числа второй строки надо второе

число первой строки умножить на третье число второй строки и прибавить второе число второй строки:

$$1 \cdot 1 + 1 = 2$$

и т. д. Последнее значение второй строки должно соответствовать значению A, то есть 223.

Для получения третьего числа третьей строки необходимо первое число нижней строки умножить на второе число третьей строки и прибавить первое число третьей строки, то есть

$$1 \cdot 0 + 1 = 1$$

и так далее до получения последнего значения – 137.

Самое точное значение дроби – $223/137$, менее точное $70/43$, еще меньшую точность обеспечивает значение $13/8$ и т. д.; самое грубое приближение будет $1/1$.

Величину передаточного отношения можно определять также, беря попарно любые числа из второй и третьей строк и прибавляя или отнимая от них любую пару других чисел. Например,

$$A / B \approx (223+3) / (137+2) \approx (223-3) / (137-2) = 220 / 135.$$

Табличные способы позволяют достаточно просто и быстро приближенно подбирать сменные колеса в соответствии с передаточным отношением. В простейшем случае подбор осуществляется по таблицам, содержащим небольшое количество передаточных отношений и числа зубьев соответствующих колес (таблицы содержатся в руководствах по настройке станков).

Логарифмический способ основан на том, что находят логарифмы передаточного отношения и по таблицам В. А. Шишкова определяют соответствующие числа зубьев сменных колес.

Существуют таблицы [12, 22, 23], содержащие передаточные отношения и соответствующие числа зубьев колес. Подбор колес по таким таблицам является достаточно простым и точным.

Расчет сложных двухпарных гитар (например, гитар дифференциальных цепей зубофрезерных станков) может производиться на ЭВМ. Блок-схема программы такого расчета приводится в литературе [18].

Сменные колеса гитар подбираются из наборов (комплектов), прилагаемых к станкам. Получили распространение следующие наборы:

1) пятковый, состоящий из колес с числами зубьев, кратными пяти ($20, 25, 30, 35$ и так далее через пять зубьев до 120); кроме

того в набор включаются колеса, имеющие 47, 97, 127 и 157 зубьев. Такие наборы часто прилагаются к токарно-винторезным станкам;

2) четный, состоящий из колес с числами зубьев, кратными четырем (20, 24, 28, 32 и так далее через четыре зуба до 80) и дополнительными колесами – теми же, что и в пятковом наборе;

3) нормальные комплекты, рекомендуемые для станков различных групп: для токарных – $z = 20, 24, 25, 28, 30, 32, 36, 40, 44, 45, 48, 50, 55, 60, 65, 68, 70, 71, 72, 75, 76, 80, 85, 90, 95, 100, 110, 113, 120, 127$; для фрезерных – $z = 20, 25, 30, 35, 40, 50, 55, 60, 70, 80, 90, 100$; для зубообрабатывающих и затыловочных станков рекомендуются наборы, включающие колеса с числами зубьев от 20 до 105 (через один зуб); дополнительно, для зубообрабатывающих станков – $z = 110, 113, 115, 120, 127$ и для затыловочных – $z = 108, 110, 112, 113, 120, 127$. Для станков других типов рекомендуется комплектование наборов сменных колес из общего ряда с $z = 20, 21, 22, 23$ и так далее до 127;

4) специальные наборы, комплектуемые из различного числа зубчатых колес с различными числами зубьев специально для станков определенного типа (автоматов и полуавтоматов и др.). Например, для настройки гитары круговых подач зубодолбежного полуавтомата мод. 5122 используется набор сменных колес с числами зубьев 26, 31, 36, 41, 44, 47, 53, 56, 59, 64, 69, 74. Колеса устанавливаются попарно так, чтобы сумма чисел зубьев была равна 100: 26 и 74 или 31 и 69 и т. д.

3. ТЕХНИЧЕСКИЕ ХАРАКТЕРИСТИКИ И КИНЕМАТИЧЕСКИЕ СХЕМЫ МЕТАЛЛОРЕЖУЩИХ СТАНКОВ

3.1. ТОКАРНО-ВИНТОРЕЗНЫЙ СТАНОК МОДЕЛИ 16К20

Назначение. Универсальный токарно-винторезный станок мод. 16К20 предназначен для выполнения различных токарных и резьботокарных работ в условиях единичного и серийного производства. На станке можно производить наружную обработку цилиндрических и конических поверхностей, расточку, подрезку торцов, нарезание резьбы: метрических (шаг Р, мм), дюймовых (число ниток на дюйм $n=25.4/P$), модульных (модуль $m=P/\pi$, мм) и пitchевых (диаметральный шаг) нарезаемой резьбы. На станке можно производить тонкие сверления, зенкерование и развертывание отверстий инструментами, закрепленными в задней бабке.

Техническая характеристика

Наибольший диаметр обрабатываемой заготовки, мм:

над станиной	400
над поперечным суппортом	220
Расстояние между центрами (РМЦ); мм	710 (1000, 1400, 2000)
Число частот вращения шпинделя	22
Пределы частот вращения, мин ⁻¹	12,5–1600
Подача, мм/об:	
продольная	0,055–2,8
поперечная	0,025–1,4
Мощность электродвигателя главного привода, кВт	10 (7,5)

Шаг нарезаемой резьбы:

метрической, мм	0,5–112
дюймовой, число ниток на 1"	56–0,5
модульной, мм	0,5–112
pitchевой, питч.	56–0,5
Габаритные размеры станка, мм:	
длина	2470, 2780, 3160, 3760
высота	1470
ширина	1195
Масса станка (РМЦ=1000 мм), кг	3000

Данные к анализу кинематических цепей

Цепь	Конечные звенья цепи	Расчетные перемещения конечных звеньев
Главного движения	Электродвигатель M1 – шпиндель VI	$\pi_{\text{шп.}} \text{, мин}^{-1} \rightarrow \pi_{\text{шп.}}, \text{мин}^{-1}$
Подачи: продольной	Шпиндель VI – (ходовой вал XX) – реальная передача, $m=3\text{мм}$	$\pi_{\text{шп.}} \rightarrow S_{\text{шп.}}, \text{мм/об}$ (продольная подача)
поперечной	Шпиндель VI – (ходовой вал XX) – винт поперечной подачи XXIV ($P=5\text{мм}$)	$\pi_{\text{шп.}} \rightarrow S_{\text{шп.}}, \text{мм/об}$ (поперечная подача)
при нарезании резьбы верхних салазок суппорта	Шпиндель VI – (шестерня Z=29 фартуха) – винт верхних салазок суппорта, $P=5\text{мм}$	$\pi_{\text{шп.}} \rightarrow P_{\text{ш.}}, \text{мм}$ (шаг нарезаемой резьбы)
при обработке конических поверхностей	Шпиндель VI – (шестерня Z=29 фартуха) – винт верхних салазок суппорта, $P=5\text{мм}$	$\pi_{\text{шп.}} \rightarrow S, \text{мм/об}$ (подача вдоль образующей конуса)
Ускоренное перемещение суппорта	Электродвигатель M2 – реальная передача, $m=3\text{мм}$ или винт XXIV поперечной подачи	$\pi_{\text{шп.}} M_2, \text{об/мин} \rightarrow V, \text{м/мин}$ (скорость ускоренного перемещения суппорта)

Рекомендуемая литература [16, 6, 17, 28].

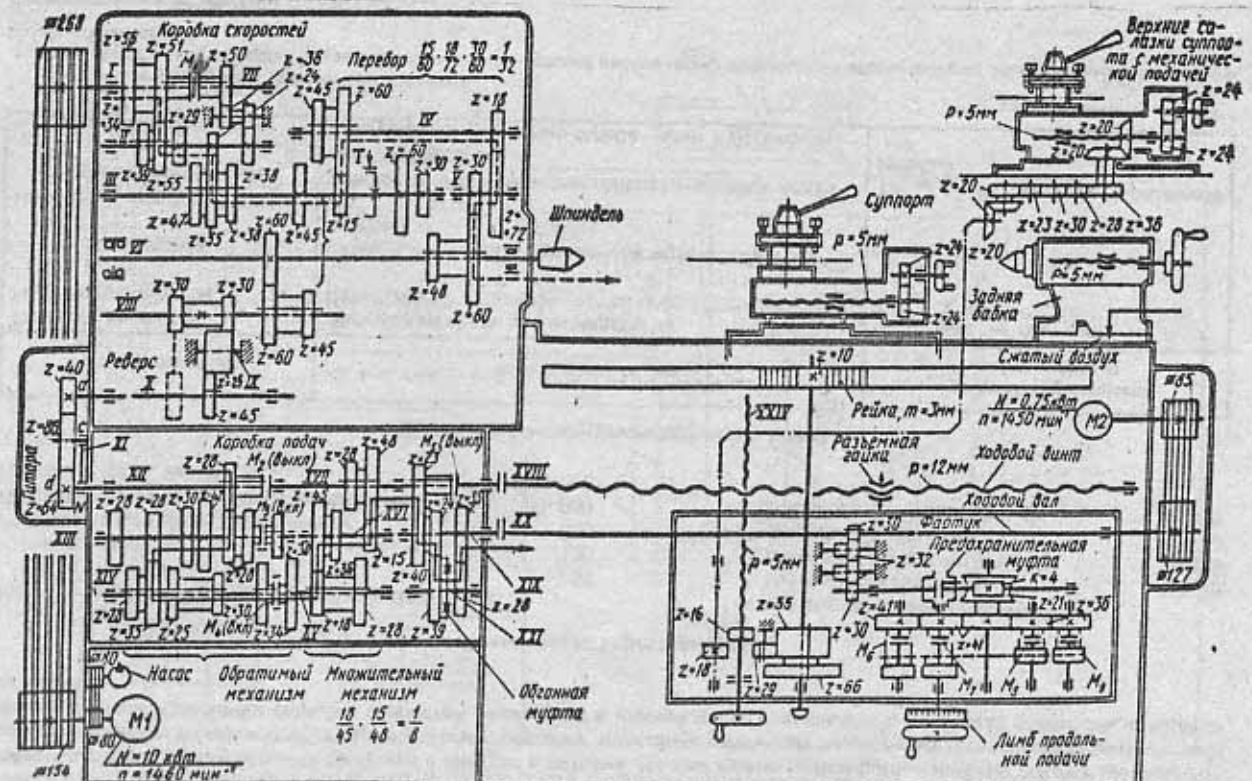


Рис. 3.1. Кинематическая схема токарно-винторезного станка мод. 16К20

3.2 ТОКАРНО-ВИНТОРЕЗНЫЙ СТАНОК МОДЕЛИ 1И611п

Назначение. Токарно-винторезный станок повышенной точности мод. 1И611П предназначен для выполнения разнообразных токарных работ при закреплении заготовки в центрах и потроне. На нем можно производить наружную обточку цилиндрических и конических поверхностей, подрезку торцов, расточку, нарезание различных типов резьб. Станок имеет разделенный привод главного движения (коробка скоростей размещена в нижней части станины), что повышает плавность вращения шпинделя.

Техническая характеристика

Наибольший диаметр обрабатываемой детали, мм:		Параметры нарезаемой резьбы:	
над станиной	250	метрической (шаг), мм	0,2-48
над суппортом	125	дюймовой (число ниток на 1")	24-0,5
Расстояние между центрами, мм	500	модульной (шаг), мм	0,2-30
Пределы частот вращения шпинделя, мин ⁻¹	20-200	Мощность электродвигателя, кВт	2,8
Пределы подач, мм/об	0,01-3,0		

Данные к анализу кинематических цепей

Кинематическая цепь	Конечные звенья цепи	Расчетные перемещения конечных звеньев
Главного движения: Подачи: продольной поперечной	Электродвигатель М – шпиндель VII Шпиндель VII – реечная передача ($z=15$; $m=2\text{мм}$) Шпиндель VII – винт поперечной подачи XXVIII с $r=3\text{мм}$	$P_{\text{м.д.}}, \text{мин}^{-1} \rightarrow P_{\text{пр.}}, \text{мин}^{-1}$ $f_{\text{об.шк.}} \rightarrow S_{\text{пр.}}$
Нарезания резьбы: нормальной точности повышенной точности	Шпиндель VII – сменные колеса – коробка подач – винт XVII ($r=6\text{мм}$) Шпиндель VII – сменные колеса – винт XVII ($r=6\text{мм}$)	$1_{\text{ш. ил.}} \rightarrow P_n \text{ мм (шаг нарезаемой}$ резьбы)

Пояснения к настройке кинематических цепей

- Пояснение к настройке кинематической цепи.

При отсутствии руководства к станку при выполнении курсовой работы можно пользоваться общим набором сменных зуочатых колес для токарных стакнов.

Рекомендуемая литература [1, 26]

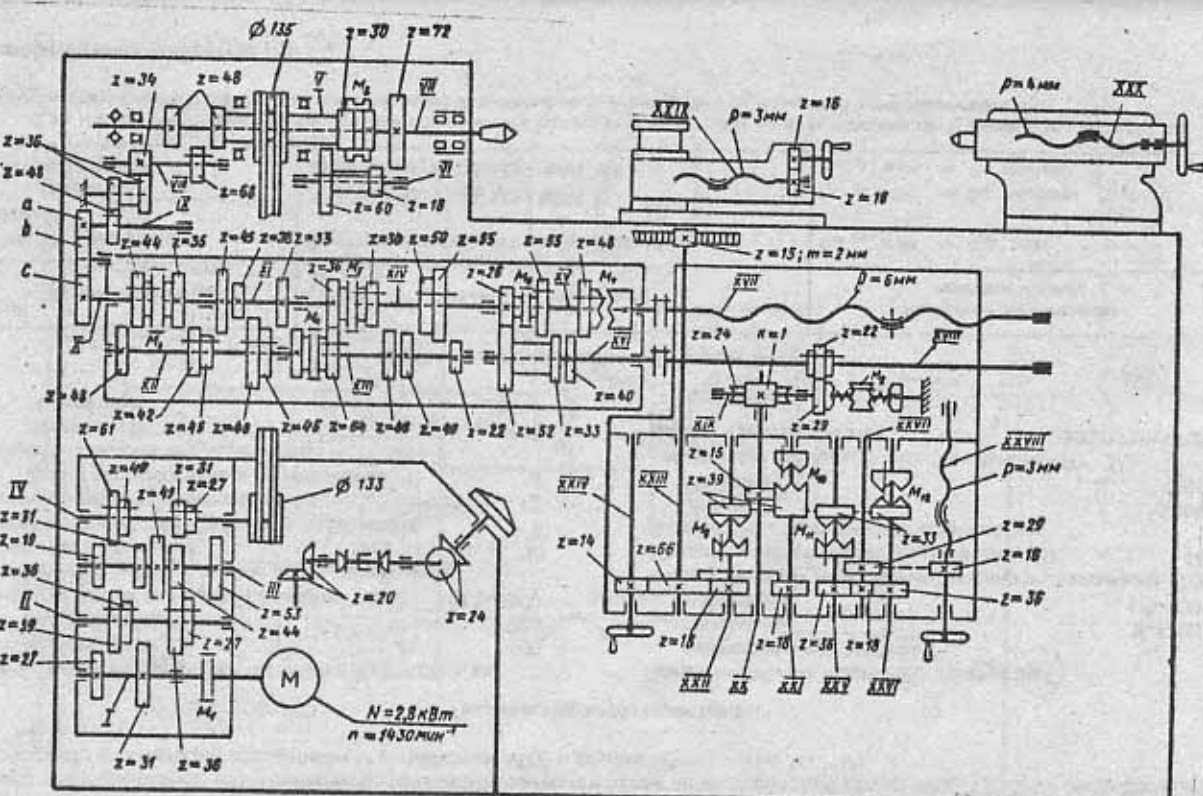


Рис. 3.2. Кинематическая схема токарно-винторезного станка мод. 1И611П

3.3. ТОКАРНЫЙ ПАТРОННО-ЦЕНТРОВОЙ СТАНОК МОДЕЛИ 16К20ФЗС5 С ЧПУ

Назначение. Станок предназначен для токарной обработки наружных и внутренних поверхностей заготовок типа тел вращения со ступенчатым или криволинейным профилем, за один или несколько проходов в замкнутом полуавтоматическом цикле. Класс точности станка – П. Станок мод. 16К20Ф3С5 является одной из модификаций станка мод. 16К20Ф3 (модификация зависит от комплектации определенным устройством ЧПУ, в данном случае – мод. Н221М).

Техническая характеристика

Наибольший диаметр обрабатываемой заготовки, мм:	Пределы рабочих подач (бесступенчатое регулирование), мм/мин:		
над станиной	400	продольных	3-1200
над суппортом	220	поперечных	1,5-600
Пределы частот вращения шпинделя, мин⁻¹		Число координат (всего/одновременно управляемых)	
12,5-2000		2/2	
Наибольший диаметр прутка, проходящего через отверстие в шпинделе, мм		Мощность главного электродвигателя, кВт	
50		10	
Число позиций поворотного резцодержателя		Дискретность задания перемещений, мм:	
6		по оси X	0,005
Число частот вращения шпинделя		по оси Z	0,01
12		Габаритные размеры станка (без пульта ЧПУ, шкафа и гидроагрегата)	
из них переключаемых по программе		3360x1710x1750	
Скорость быстрых ходов, мм/мин:			
продольных	4800		
поперечных	2400		

Данные к анализу кинематических цепей

Кинематическая цепь	Конечные звенья цепи	Расчетные перемещения конечных звеньев
Главного движения Подачи:	Электродвигатель M1 – шпиндель VI	$\Phi_{шп, \text{дв}}, \text{мин}^{-1} \rightarrow \Phi_{шп}, \text{МИН}^{-1}$
продольной поперечной	Электродвигатель M2 – винт X Электродвигатель M3 – винт VIII	$P_{шп, \text{дв}}, \text{МИН}^{-1} \rightarrow S_{шп}, \text{ММ/МИН}$ $P_{шп, \text{дв}}, \text{МИН}^{-1} \rightarrow S_{шп}, \text{ММ/МИН}$

Примечание. Приводы продольной и поперечной подач могут иметь одно из двух исполнений: 1) шаговые двигатели М2, М3 – с гидроусилителем момента (показаны на основной схеме); 2) высокомоментные двигатели – см. А (вариант) – электродвигатель М4.

Рекомендуемая литература [13, 17].

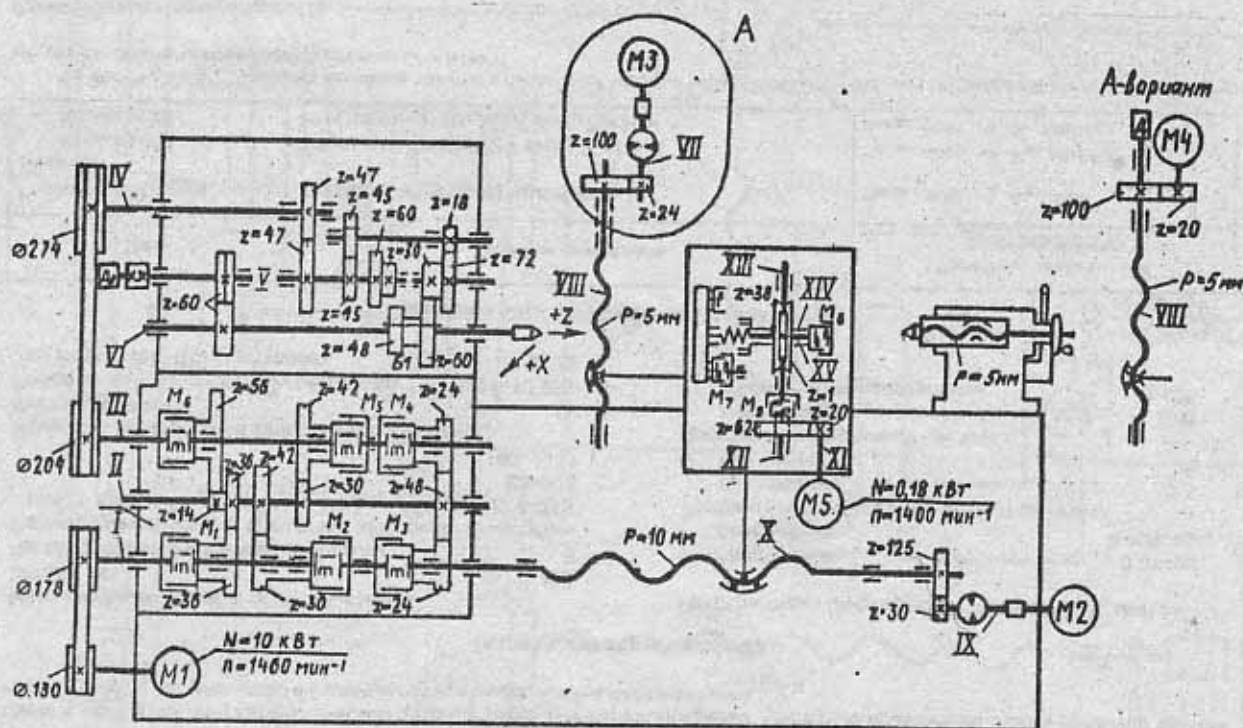


Рис. 3.3. Кинематическая схема токарного патронно-центрового станка мод. 16К20ФЗС5 с ЧПУ

3.4. ТОКАРНЫЙ СТАНОК МОДЕЛИ 16К20РФЗС19 С ЧПУ

Назначение. Токарный станок мод. 16К20РФЗС19 с ЧПУ предназначен для обработки наружных и внутренних поверхностей деталей типа тел вращения (со ступенчатым и криволинейным профилем различной сложности) за один или несколько проходов в замкнутом полуавтоматическом цикле, а также для нарезания резьб. Областью применения станка является единичное и серийное производство с мелкими повторяющимися партиями деталей.

Техническая характеристика

Максимальный диаметр обрабатываемой детали, мм	400	Пределы подач (регулируются бесступенчато), мм/мин:
Число ступеней механической коробки	3	продольных 0,01–20
Регулирование частот вращения шпинделя (бесступенчатое) в диапазонах, мин ⁻¹	22,4–315 63–900 160–2240	поперечных 0,005–10
Мощность электродвигателя главного движения (постоянного тока), кВт	11	Ускоренные перемещения суппортов, м/мин: продольного 7,5 поперечного 5
Пределы шагов нарезаемых резьб, мм	0,01–10,959	Дискретность перемещений, мм: в продольном направлении 0,01 в поперечном направлении 0,005
Тип устройства ЧПУ (контурное)	2У22	

Данные к анализу кинематических цепей

Цепь	Конечные звенья цепи	Расчетные перемещения конечных звеньев
Главного движения	Электродвигатель M1 – шпиндель V	$P_{\text{шп.дл.}} \text{ мин}^{-1} \rightarrow P_{\text{шп.дл.}} \text{ мин}^{-1}$
Подачи: продольной поперечной	Электродвигатель M2 – винт, $P_1=10 \text{ мм}$ Электродвигатель M3 – винт, $P_2=5 \text{ мм}$	$P_{\text{под.дл.}} \text{ мин}^{-1} \rightarrow S_{\text{пр.}}, \text{мм/мин}$ $P_{\text{под.дл.}} \text{ мин}^{-1} \rightarrow S_{\text{п.р.}}, \text{мм/мин}$

Приложение. Вращение шпинделя связано с продольной подачей через устройство ЧПУ; для согласования движений при нарезании резьбы имеется датчик резьбонарезания типа ВТМ-1Г.

Рекомендуемая литература [11].

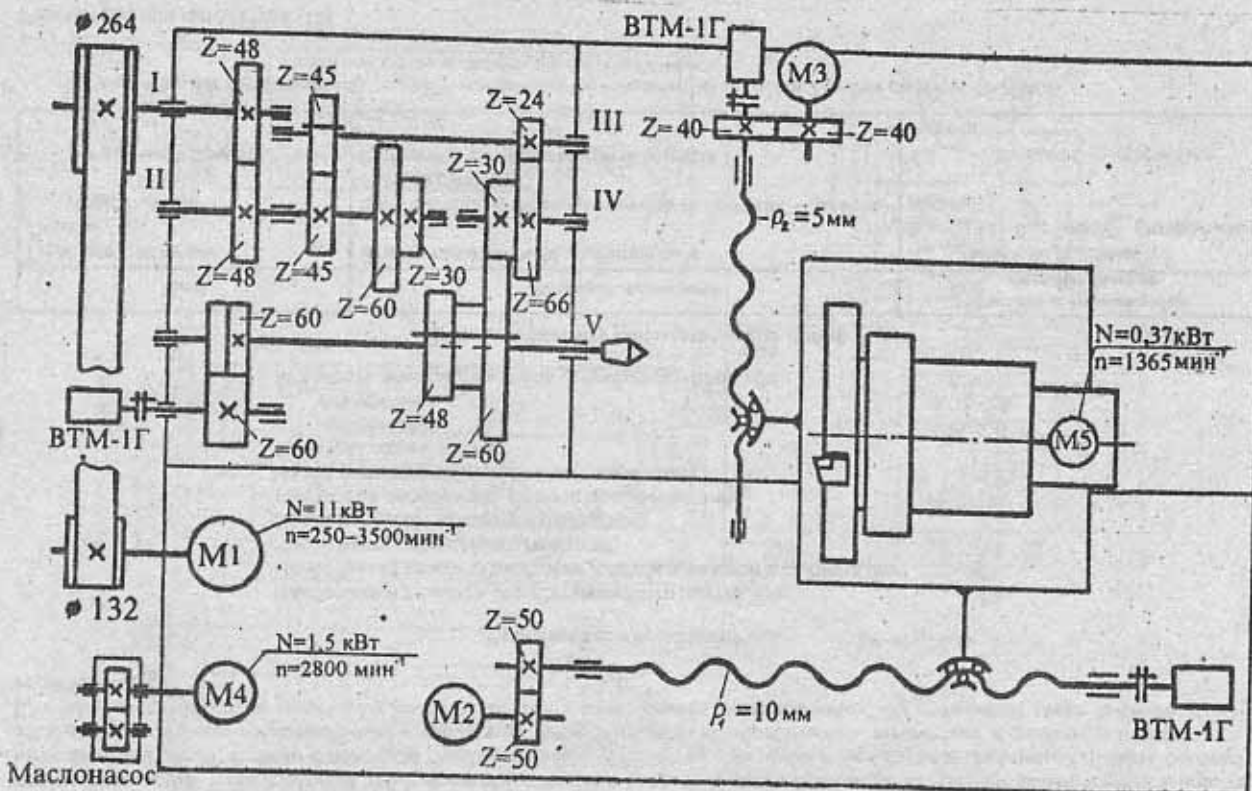


Рис. 3.4. Кинематическая схема токарного станка мод. 16К20РФЗС19 с ЧПУ

3.5. ТОКАРНО-РЕВОЛЬВЕРНЫЙ СТАНОК МОДЕЛИ 1Г340

Назначение. Токарно-револьверный станок мод. 1Г340 с горизонтальной осью револьверной головки предназначен для выполнения токарных и сверлильных работ преимущественно в среднесерийном производстве. На нем можно нарезать резьбу метчиком, плашками, а также с помощью резьбонарезного устройства – разцами и резьбовыми гребенками. Станок оснащается дополнительным копировальным устройством, которое позволяет обрабатывать конические и фасонные поверхности. Широкая номенклатура выполняемых работ позволяет считать станок универсальным. Он отличается также высокой производительностью.

Техническая характеристика

Наибольший диаметр обрабатываемого прутка, мм.....	40
Наибольший диаметр заготовки, обрабатываемой в патроне, мм.....	400
Число частот вращения шпинделя.....	12
Пределы частот вращения шпинделя (прутковое исполнение, прямое вращение), мин ⁻¹	45–2000
Число подач (продольных или поперечных).....	12
Пределы подач, мм/об:	
продольных.....	0,035–1,6
поперечных.....	0,02–0,8
Мощность электродвигателя (двухскоростного), кВт.....	6,0/6,2

Данные к анализу кинематических цепей

Цель	Конечные звенья цепи	Расчетные перемещения конечных звеньев
Главного движения	Электродвигатель М – шпиндель В	$\text{П}_{\text{шп}} \text{, МИН}^{-1} \rightarrow \text{П}_{\text{шп}}, \text{МИН}^{-1}$
Подачи: продольной	Шпиндель В – реальная передача, $m=3\text{мм}$ – револьверный суппорт С	$\text{T}_{\text{од, шп}} \rightarrow S_{\text{шп}}, \text{мм/об}$ (продольная подача)
поперечной (круговой)	Шпиндель В – револьверная головка Г	$\text{T}_{\text{од, шп}} \rightarrow S_{\text{шп}}, \text{мм/об}$ (поперечная подача)

Примечания: 1. Державка Д с разцом Р поворачивается относительно заготовки З по дуге радиусом $R=100\text{мм}$.
2. В кинематике станка используются зубчатые ремни.

Рекомендуемая литература [15].

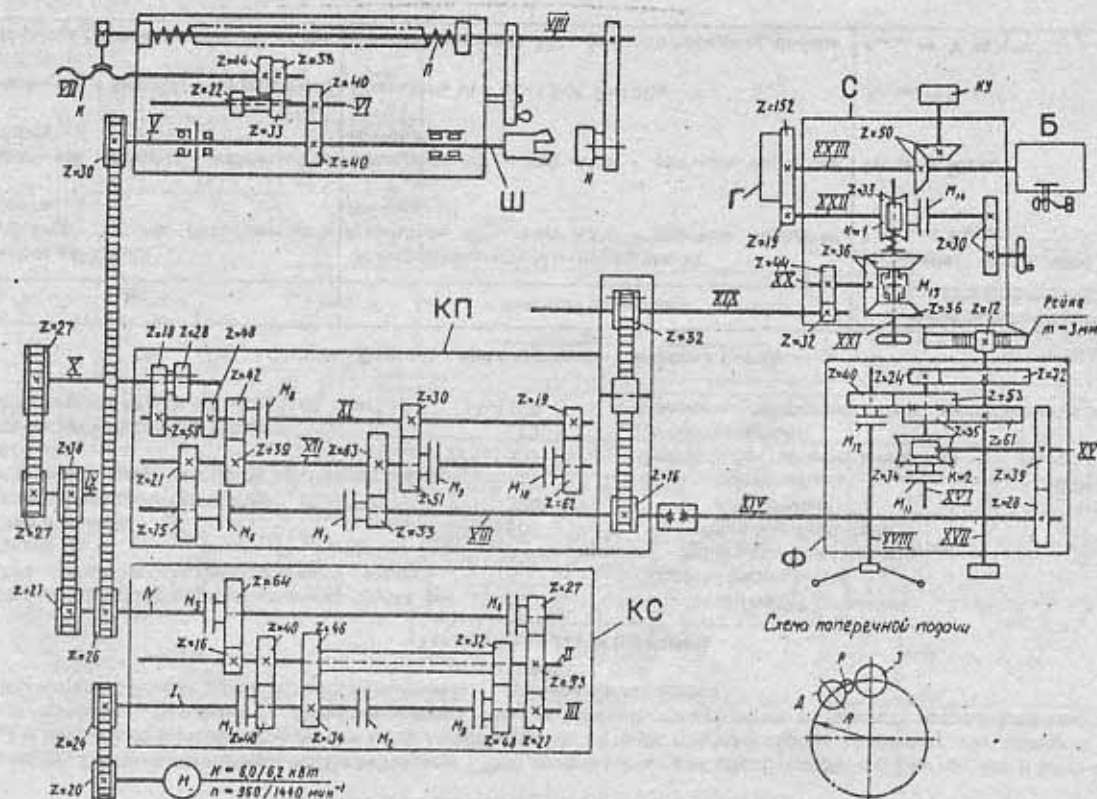


Рис. 3.5. Кинематическая схема токарно-револьверного станка мод. 1Г340

3.6. ТОКАРНО-РЕВОЛЬВЕРНЫЙ СТАНОК МОДЕЛИ 1П365

Назначение. Токарно-револьверный станок модели 1П365 предназначен для обработки деталей из прутков и штучных заготовок. На нем можно выполнить почти все виды токарных работ: отточку, подрезку торцов, сверление, зенкерование, развертывание, нарезание резьбы и др. Наличие револьверного и поперечного суппортов позволяет производить многоинструментную наладку. Эффективная область применения – серийное производство.

Техническая характеристика

Наибольший диаметр обрабатываемого прутка, мм	80	Количество подач супортов	11
Наибольший диаметр устанавливаемой детали в патроне, мм:		Пределы подач, мм/об:	
над станиной	500	револьверного суппорта	0,09–2,7
над поперечным суппортом	320	поперечного суппорта:	
		продольных	0,09–2,7
Расстояние от конца шпинделя до плоскости револьверной головки, мм	275–1000	поперечных	0,045–1,35
Число частот вращения шпинделя	12	Скорость быстрого перемещения	
Предель частот вращения шпинделя, мин ⁻¹	34–1500	супортов, м/мин	8
		Мощность электродвигателя главного движения, кВт	1,4

Данные к анализу кинематических цепей

Цепь	Конечные звенья цепи	Расчетные перемещения конечных звеньев
Главного движения		
Продольной подачи револьверного суппорта	Электродвигатель M1 – шпиндель VI Шпиндель VI – вал XXV – реальная передача, m=4мм	Подача, МИН ⁻¹ → подача, МИН ⁻¹ 1 об шп. → S _{подач}
Продольной подачи поперечного суппорта	Шпиндель VI – вал XVII – реальная передача, m=4мм	1 об шп. → S _{подач}
Поперечной подачи поперечного суппорта	Шпиндель VI – винт XIX, Р=10мм	1 об шп. → S _{подач}
Ускоренное перемещение суппортов	Электродвигатель M2 – реальная передача, m=4мм	Подача → V, м/мин

Рекомендуемая литература [1]

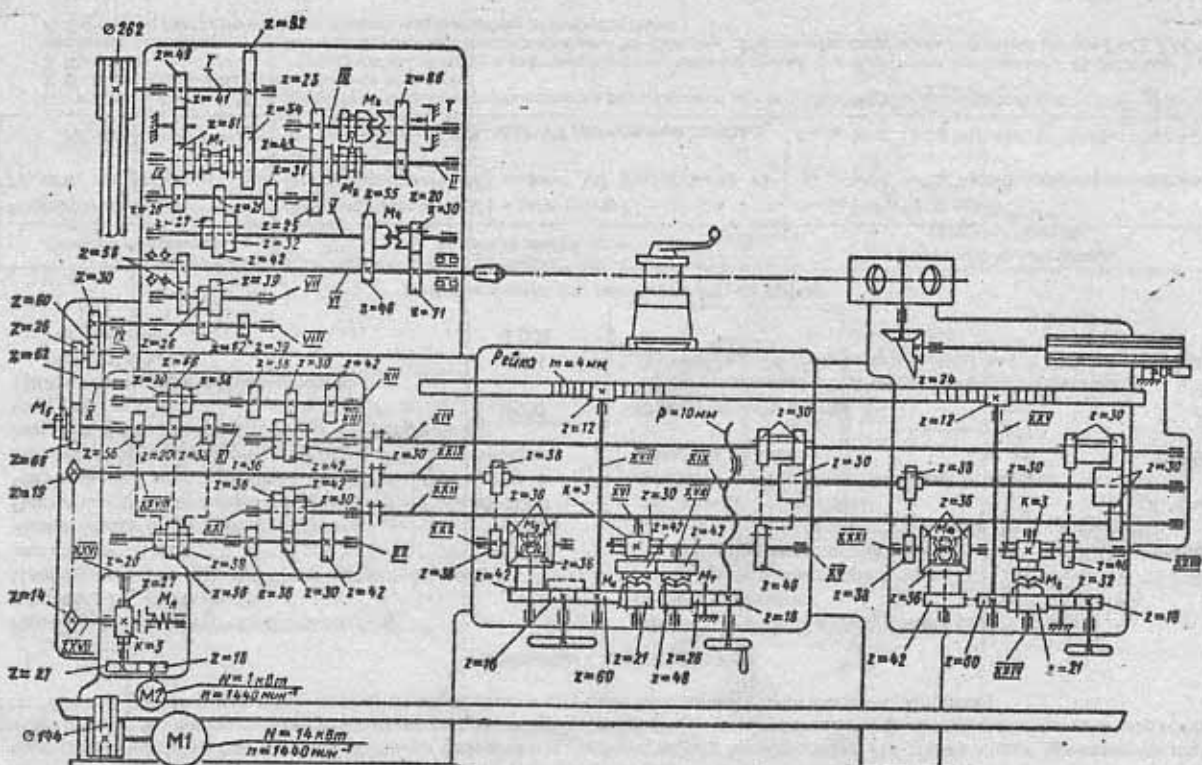


Рис. 3.6. Кинематическая схема токарно-револьверного станка мод. 1П365

3.7. ТОКАРНО-РЕВОЛЬВЕРНЫЙ СТАНОК МОДЕЛИ 1В340Ф3 С ЧПУ

Назначение. Станок предназначен для выполнения различных токарных работ при обработке сложных деталей со ступенчатым и криволинейным профилем в условиях серийного и мелкосерийного производства. На станке можно производить нарезание резьбы метчиками, плашками или резцом по программе. Станок выпускается в двух исполнениях: для обработки заготовок из прутка (автоматический цикл обработки) и штучных заготовок (полуавтоматический цикл).

Техническая характеристика

Наибольший диаметр обрабатываемой заготовки из прутка, мм	40	Скорость быстрых перемещений револьверного суппорта, мм/мин:	
Наибольший диаметр заготовки, устанавливаемой над станочной, мм	400	в продольном направлении	10 000
Число частот вращения шпинделя	12	в поперечном направлении	5 000
Пределы частот вращения шпинделя, мин ⁻¹	45–2000	Скорость подачи отрезного суппорта (бесступенчатое регулирование), мм/мин	5–600
Число граней револьверной головки	8	Скорость быстрого перемещения отрезного суппорта, мм/мин	8000
Пределы продольных и поперечных подач револьверного суппорта (бесступенчатое регулирование), мм/мин	1–2500	Класс точности станка	П
Дискретность задания размеров, мм:		Число координат/из них одновременно управляемых	2/2
продольных	0,01	Дискретность задания шага резьбы, мм	0,0001
поперечных	0,005		

Данные к анализу кинематических цепей

Кинематическая цепь	Конечные звенья цепи	Расчетные перемещения конечных звеньев
Главного движения		$P_{\text{пл.д.}} \text{ мин}^{-1} \rightarrow P_{\text{шп.}} \text{ мин}^{-1}$
Подачи: продольной	Электродвигатель M1 – шпиндель IV	$P_{\text{пл.д.}} \text{ мин}^{-1} \rightarrow S_{\text{пл.д.}} \text{ мм/мин}$ (продольная подача)
поперечной	Электродвигатель M2 – винт VII (продольная каретка)	$P_{\text{пл.д.}} \text{ мин}^{-1} \rightarrow S_{\text{п.д.}} \text{ мм/мин}$ (поперечная подача)
	Электродвигатель M3 – винт VII (поперечные салазки)	

Примечания: 1. На рисунке: M4 – гидродвигатель поворота револьверной головки; Ц2 – гидроцилиндр фиксатора.

2. В станке применены плоскозубчатые передачи.

3. Пределы частот вращения шпинделя изменяются в зависимости от исполнения станка: для пруткового исполнения – 45–2000 мин⁻¹; для патронного исполнения – 36–1600 мин⁻¹; для скоростного исполнения – 56–2500 мин⁻¹. Это достигается установкой сменных шестерен Z1-Z2; Z3-Z4.

4. Отрезной суппорт на схеме не показан (перемещение от гидросистемы).

Рекомендуемая литература [13].

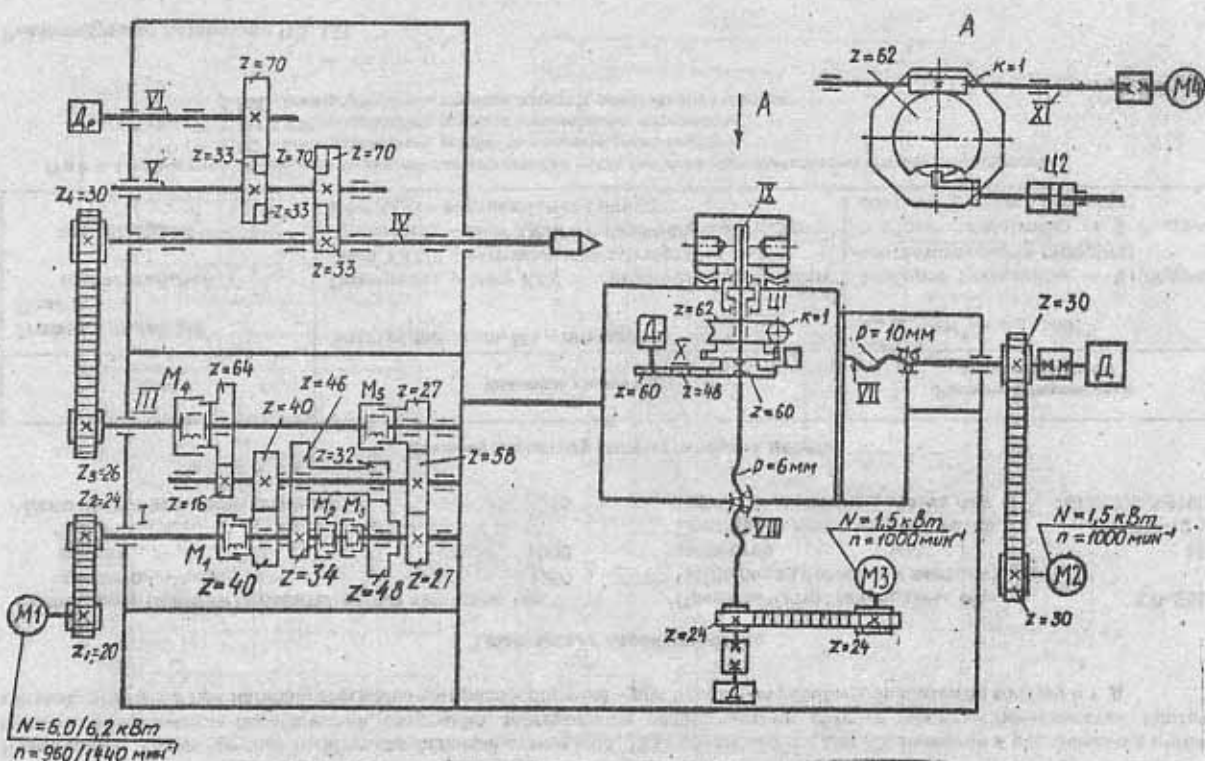


Рис. 3.7. Кинематическая схема токарно-револьверного станка мод. 1В340Ф3 с ЧПУ

3.8. ТОКАРНО-КАРУСЕЛЬНЫЙ СТАНОК МОДЕЛИ 1512

Назначение. Одностоечный токарно-карусельный станок мод. 1512 предназначен для обтачивания и растачивания цилиндрических и конических поверхностей, сверления, зенкерования, развертывания, обточки торцевых поверхностей, проточки канавок, отрезки, а при наличии специальных приспособлений – для нарезания резьбы, обработки по контуру и т. д.

Техническая характеристика

Наибольшие размеры обрабатываемых заготовок, мм:		
диаметр.....	1250	Пределы частот планшайбы, мин ⁻¹ 5,0–250
высота.....	1000	Число подач бокового и вертикального суппортов..... 18
Число частот вращения планшайбы	18	Пределы подач суппортов, мм/об 0,035–12,5
		Габаритные размеры станка, мм..... 2875x2660x4100

Данные к анализу кинематических цепей

Цепь	Конечные звенья цепи	Расчетные переменные конечных звеньев
Главного движения	Электродвигатель M1 – планшайба	$P_{\text{пл. дв.}}, \text{мин}^{-1} \rightarrow P_{\text{пл.}}, \text{мин}^{-1}$
Подачи:		
горизонтальной	Планшайба – винт XXV – горизонтальный суппорт (винт XXXIII – вертикальный суппорт)	1 оборот планшайбы → S (подачи соответствующего суппорта)
вертикальной	Планшайба – винт XXVII – горизонтальный суппорт – винт XXXI – вертикальный суппорт	1 оборот планшайбы → S (подачи соответствующего суппорта)

- Примечания:** 1. На рисунке отдельно показана коробка подач бокового (горизонтального) или верхнего суппорта.
 2. M2 – электродвигатель ускоренных перемещений суппорта.
 3. M3 – электродвигатель привода перемещения поперечины.
 4. M4 – электродвигатель привода поворота револьверной головки.

Рекомендуемая литература [15, 13].

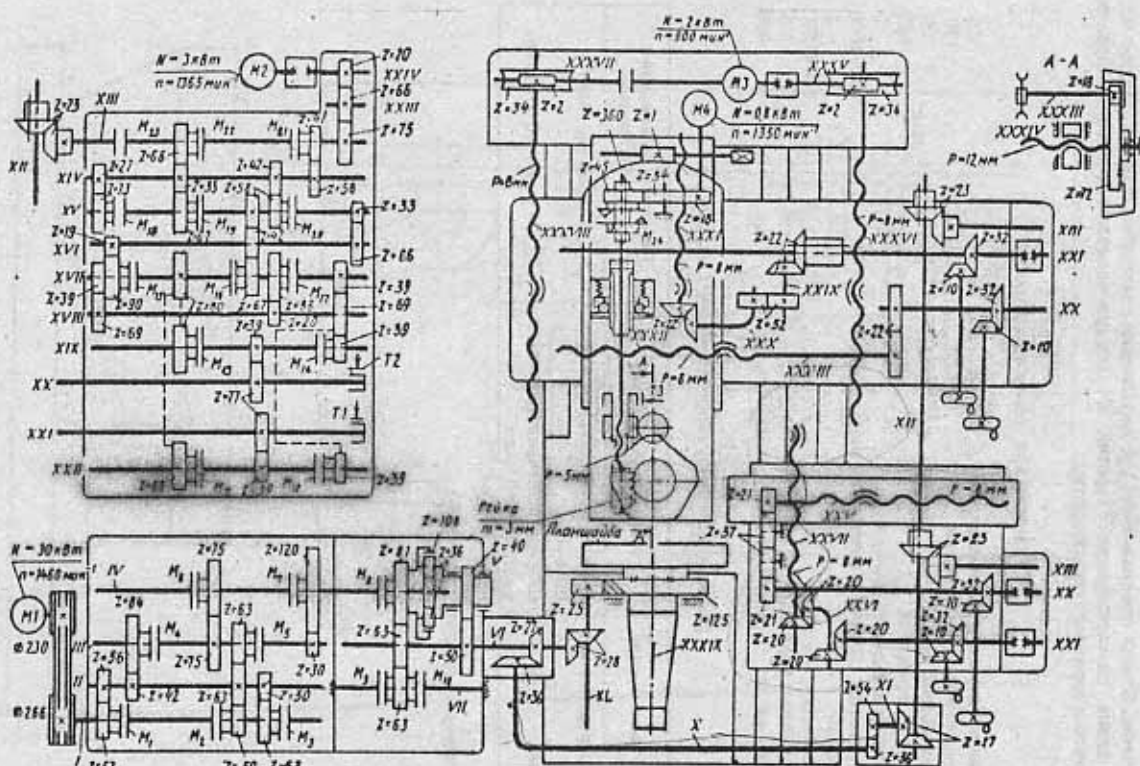


Рис. 3.8. Кинематическая схема токарно-карусельного станка мод. 1512

3.9. ВЕРТИКАЛЬНО-СВЕРЛИЛЬНЫЙ СТАНОК МОДЕЛИ 2Н118

Назначение. Станок предназначен для выполнения сверлильных работ (сверление, зенкерование, развертывание отверстий), а также для нарезания резьбы в условиях единичного и серийного производства.

Техническая характеристика

Наибольший диаметр сверления, мм	18
Наибольший ход шпинделя, мм	150
Вылет шпинделя, мм	200
Конус Морзе шпинделя	№2
Число частот вращения шпинделя	9
Пределы частот вращения шпинделя, мин ⁻¹	180–2800
Число подач	6
Пределы подач, мм/об	0,1–0,56
Мощность электродвигателя, кВт	1,5
Масса станка, кг	450

Данные к анализу кинематических цепей

Кинематическая цепь	Конечные звенья цепи	Расчетные перемещения конечных звеньев
Главного движения	Электродвигатель M – шпиндель X	$\nu_{\text{эл,д}} \text{, МИН}^{-1} \rightarrow \nu_{\text{шп,д}} \text{, МИН}^{-1}$
Подачи	Шпиндель X – реечная передача	$1_{\text{об,шп}} \rightarrow S \text{, мм/об (подача)}$

Рекомендуемая литература [16, 5].

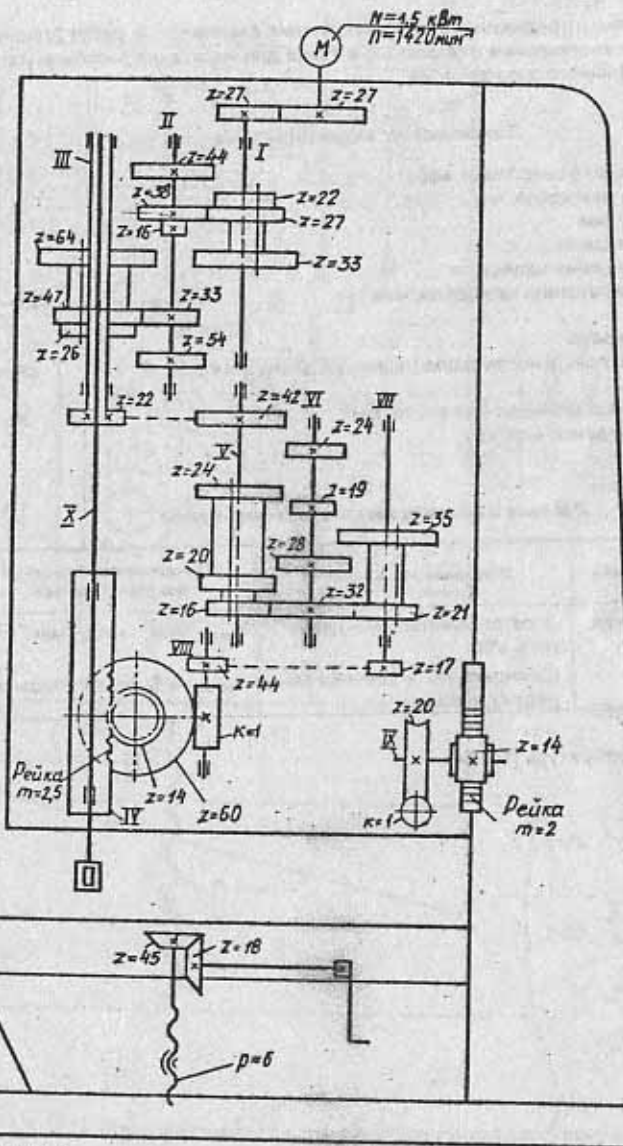


Рис. 3.9. Кинематическая схема вертикально-сверлильного станка
мод. 2Н118

3.10. ВЕРТИКАЛЬНО-СВЕРЛИЛЬНЫЙ СТАНОК МОДЕЛИ 2Н135

Назначение. Станок предназначен для выполнения сверлильных работ (сверление, зенкерование, развертывание отверстий), а также для нарезания резьбы в условиях единичного и серийного производства.

Техническая характеристика

Наибольший диаметр сверления, мм	35
Наибольший ход шпинделя, мм	250
Вылет шпинделя, мм	300
Конус Морзе шпинделя	N84
Число частот вращения шпинделя	12
Пределы частот вращения шпинделя, мин ⁻¹	31,5–1400
Число подач	9
Пределы подач, мм/об	0,1–1,6
Размеры рабочей поверхности стола (ширина x длина), мм	450x500
Ход стола, мм	300
Расстояние от конца шпинделя до стола, мм	30–750
Мощность электродвигателя, кВт	4,0
Масса станка, кг	450

Данные к анализу кинематических цепей

Кинематическая цепь	Конечные звенья цепи	Расчетные перемещения конечных звеньев
Главного движения	Электродвигатель M – шпиндель VIII	$n_{\text{эл},\text{шт}} \text{ МИН}^{-1} \rightarrow n_{\text{шп.}} \text{ МИН}^{-1}$
Подачи	Шпиндель VIII – реечная передача, $m=3$ мм	$1_{\text{шт}} \rightarrow S, \text{мм/об (подача)}$

Рекомендуемая литература [13, 14].

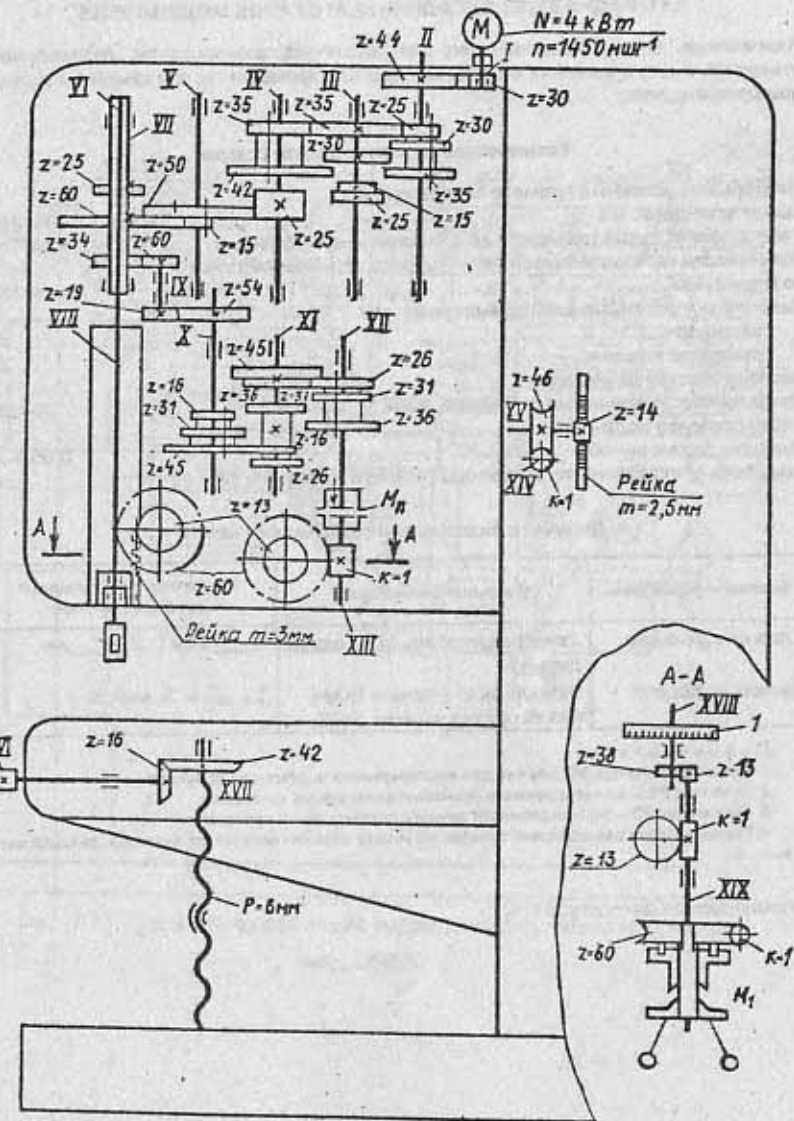


Рис. 3.10. Кинематическая схема вертикально-сверлильного станка мод. 2Н135

3.11. РАДИАЛЬНО-СВЕРЛИЛЬНЫЙ СТАНОК МОДЕЛИ 2М55

Назначение. Станок предназначен для сверления, зенкерования, развертывания отверстий и для нарезания резьбы метчиками. Применяется в единичном и серийном производстве.

Техническая характеристика станка

Наибольший условный диаметр сверления, мм	50
Вылет шпинделя, мм	410-1600
Расстояние от торца шпинделя до фундаментной плиты, мм	450-1600
Наибольшее горизонтальное перемещение сверлильной головки по рукаву, мм	1190
Наибольшее вертикальное перемещение, мм:	
шпинделя	350
рукава по колонне	800
Число скоростей шпинделя	21
Пределы частот вращения шпинделя, мин ⁻¹	20-2000
Число ступеней подач	12
Пределы подач, мм/об	0,056-2,5
Мощность электродвигателя привода главного движения, кВт	5,5

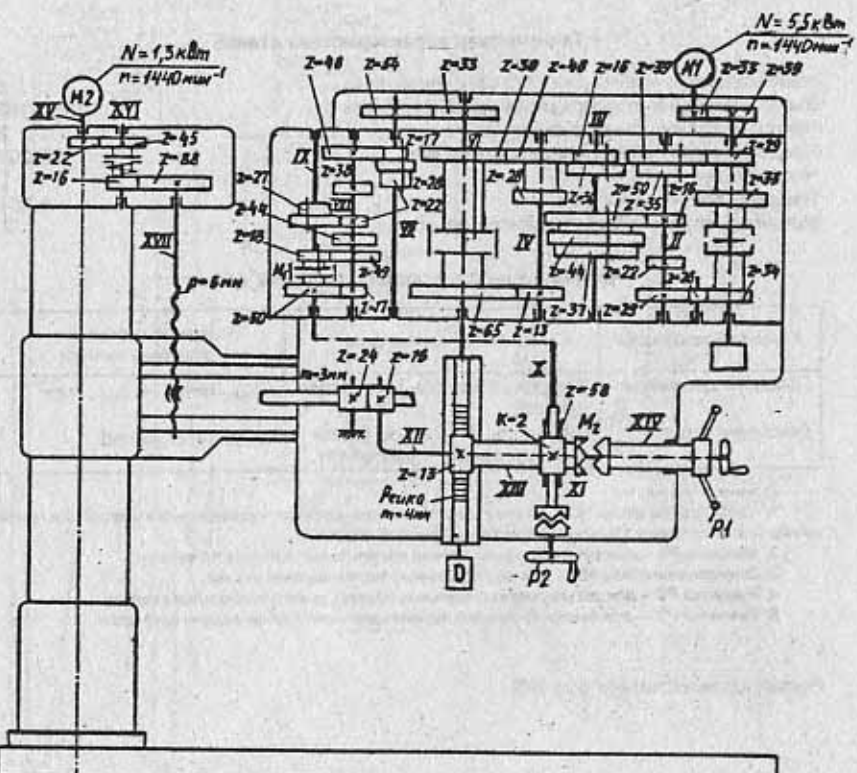
Данные к анализу кинематических цепей

Кинематическая цепь	Конечные звенья цепи	Расчетные перемещения конечных звеньев
Главного движения	Электродвигатель M1 – шпиндель VI	$n_{\text{зда}}, \text{мин}^{-1} \rightarrow n_{\text{шд}}, \text{мин}^{-1}$
Движения подачи	Шпиндель VI – гильза (реечная передача, $m=4\text{мм}$, $z=13$)	$1_{\text{об}} \text{мм} \rightarrow S, \text{мм/об.}$

Примечания:

1. Электродвигатель M2 служит для вертикального перемещения рукава.
2. Рукоятка P1 – для ускоренного ручного перемещения шпинделя.
3. Маховик P2 – для медленного ручного перемещения шпинделя.
4. Перемещение сверлильной головки по рукаву осуществляется от рукоятки, закрепленной на валу XII.

Рекомендуемая литература [14].



3.12. РАДИАЛЬНО-СВЕРЛИЛЬНЫЙ СТАНОК МОДЕЛИ 3661

Назначение. Станок предназначен для сверления, зенкерования, развертывания отверстий и нарезания резьбы метчиками в крупных деталях в условиях единичного и серийного производства.

Техническая характеристика станка

Наибольший условный диаметр сверления, мм	50
Вылет шпинделя от направляющих колонны, мм	350-1680
Число частот вращения шпинделя	25
Пределы частот вращения шпинделя, мин ⁻¹	18-2000
Число подач	21
Пределы подач, мм/об	0,05-5
Мощность главного электродвигателя, кВт	7,5

Данные к анализу кинематических цепей

Хинематическая цепь	Конечные звенья цепи	Расчетные перемещения конечных звеньев
Главного движения	Электродвигатель М1 – шпиндель VI	$\pi_{шд.}, \text{мин}^{-1} \rightarrow \pi_{ш., \text{мин}^{-1}}$
Движения подачи	Шпиндель VI – гильза (реечная передача $m=3\text{мм}, z=13$)	$1 \text{об шк} \rightarrow S, \text{мм/об.}$

Примечания:

- Примечания:**

 1. Электродвигатель М2 служит для быстрого осевого перемещения наврашающегося шлинделя. Маховик Р1 служит для тонкой ручной подачи.
 2. Маховик Р4 – для ручного перемещения сверлильной головки по рукояти.
 3. Электродвигатель М3 – для вертикального перемещения рукояти.
 4. Рукоятка Р2 – для регулировки спиральных пружин, уравновешивающих гильзу.
 5. Рукоятка Р3 – для быстрого ручного перемещения или пробной подачи шлинделя.

Рекомендуемая литература [15]

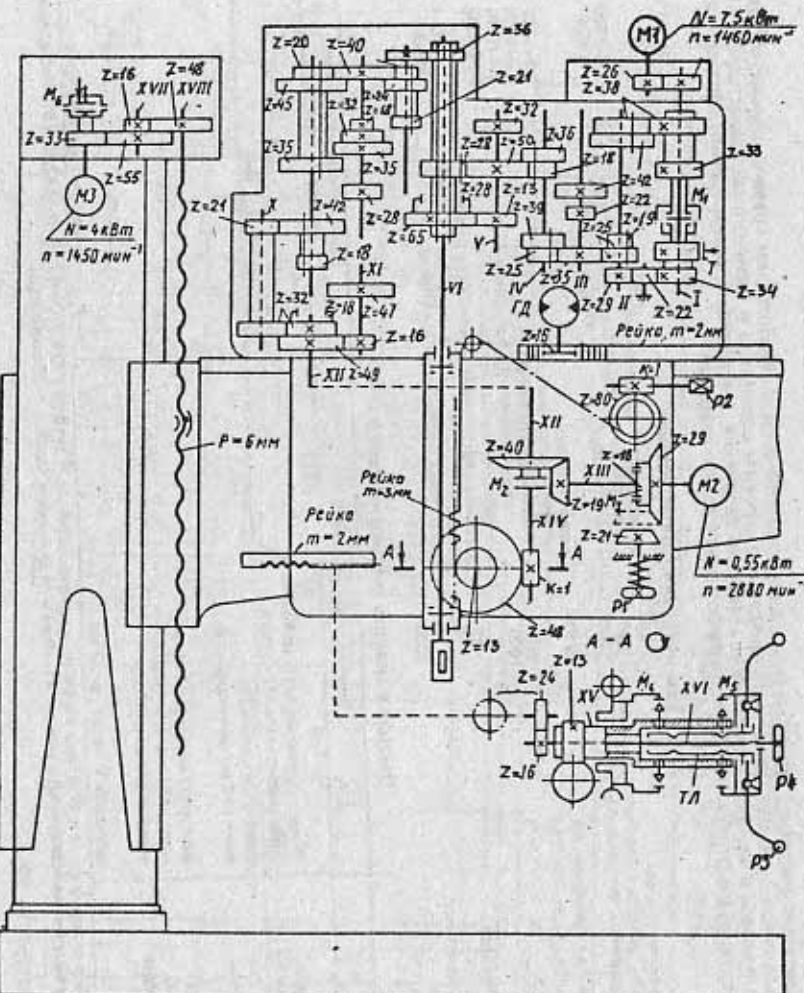


Рис. 3.12. Кинематическая схема радиально-сверлильного станка мод. 2554

3.13. Горизонтально-расточчной станок модели 2620В

Назначение. Горизонтально-расточчной станок модели 2620В предназначен для обработки, как правило, крупных и громоздких деталей, которым невозможно или трудно дать вращение в условиях единичного и серийного производства. На станке можно производить черновое и чистовое растачивание отверстий, сверление, зенкерование, развертывание, фрезерные операции, нарезание наружной и внутренней резьб, обточку бобышек и другие операции.

Техническая характеристика			
Диаметр выдвижного шпинделя, мм.....	90	Пределы частот вращения, мин ⁻¹ :	
Масса обрабатываемой детали, кг, не более	300	выдвижного шпинделя.....	12,5–1600
Вертикальное перемещение шпиндельной бабки, мм	1000	планшайбы.....	8–200
Перемещение выдвижного шпинделя, мм.....	710	Подача, мм / мин :	
Перемещение стола, мм :		выдвижного шпинделя.....	2,2–1760
продольное.....	1090	шпиндельной бабки.....	1,4–1110
поперечное.....	1000	стола (продольная и поперечная).....	1,4–1110
Число скоростей :		радиального суппорта планшайбы.....	0,88–700
выдвижного шпинделя.....	22	Мощность электродвигателя привода главного	
планшайбы.....	15	движения, кВт.....	10
Скорость быстрых установочных	3000	Масса станка без принадлежностей, кг.....	12500
перемещений, мм/мин.....			

Данные к анализу кинематических цепей

Цепь	Конечные звенья цепи	Расчетные перемещения конечных звеньев
Главного движения: вращения шпинделя вращения планшайбы	Электродвигатель M1 – шпиндель V Электродвигатель M1 – планшайбы 8	$P_{\text{шп}} \text{,мин}^{-1} \rightarrow P_{\text{пл}} \text{,мин}^{-1}$ $P_{\text{шп}} \text{,мин}^{-1} \rightarrow P_{\text{ст}} \text{,мин}^{-1}$
Подачи:		
вертикальной (шпиндельной бабки)	Электродвигатель M2 – винт, $r=8$ мм (двухзаходный) –	
продольной (стола)	винт, $r=10$ мм (двухзаходный) –	$P_{\text{под}} \text{,мин}^{-1} \rightarrow S, \text{мм/мин}$
поперечной (стола)	винт, $r=8$ мм (двухзаходный) –	
радиальной (суппорта	червяк с шагом $r=16$ мм	
планшайбы)		
Нарезания резьбы	шпиндель V – винт, $r=20$ мм	$1 \text{об} \text{шп} \rightarrow \text{шагу нарезаемой резьбы } P, \text{мм}$

Примечание. Набор сменных колёс для гитары а/б с/д (при нарезании резьбы): $z=18, 20, 21, 24, 27, 28, 30, 33, 36, 40, 42, 48$ и 57. Набор позволяет нарезать 16 стандартных метрических резьб с шагом $P=1-10$ мм и 14 дюймовых резьб – 4–20 ниток на 1".

Рекомендуемая литература [14, 29].

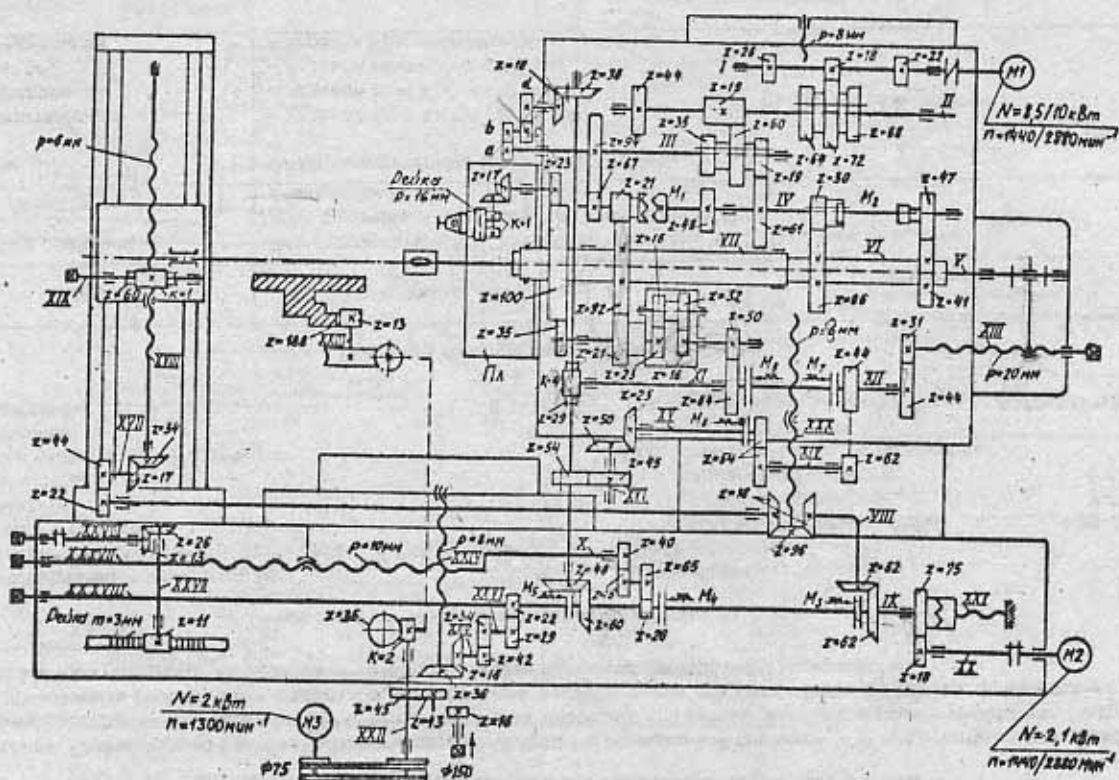


Рис. 3.13. Кинематическая схема горизонтально-расточчного станка мод. 2620В

3.14. ГОРИЗОНТАЛЬНО-РАСТОЧНОЙ СТАНОК МОДЕЛИ 2А620Ф2-1 С ЧПУ

Назначение. Горизонтально-расточной станок модели 2А620Ф2-1 с позиционной системой ЧПУ предназначен для обработки консольным инструментом корпусных деталей с отверстиями, соосными или расположеными в разных плоскостях. На станке можно производить растачивание, сверление, зенкерование, развертывание отверстий, подрезку торцев, фрезерование плоских и фасонных поверхностей, нарезание резьбы в условиях единичного и серийного производства.

Техническая характеристика

Диаметр выдвижного шпинделя, мм	90	Число подач.....	31
Размеры рабочей поверхности стола, мм	1120x1250	Подача, мм/мин:	
Число частот вращения:		стола и шпиндельной бабки.....	1,25-1250
шпинделя.....	23	выдвижного шпинделя.....	2-2000
планшайбы.....	15	радиального суппорта.....	0,8-800
Пределы частот вращения, мин ⁻¹ :		Мощность электродвигателя привода	
шпинделя.....	10-1600	главного движения, кВт.....	11
планшайбы.....	6,3-160	Габаритные размеры станка, мм.....	6070x3970x3200

Данные к анализу кинематических цепей

Цель	Конечные звенья цепи	Расчетные перемещения конечных звеньев
Главного движения	Электродвигатель M1 – расточной шпиндель VII или фрезерный шпиндель VIII или шпиндель планшайбы IX	$P_{\text{зак.}} \text{мин}^{-1} \rightarrow P_{\text{шп.}} \text{мин}^{-1}$
Подачи:	Электродвигатель M2 (постоянного тока) –	
вертикальной продольной осевой радиальной	– ходовой винт XXXVI, $p=10 \text{ mm}$ – ходовой винт XIV, $p=10 \text{ mm}$ – ходовой винт XXVI, $p=20 \text{ mm}$ – червячно-реечная передача, $p=16 \text{ mm}$	$P_{\text{зак.}} \text{мин}^{-1} \rightarrow S, \text{мм/мин}$

Рекомендуемая литература [13, 15].

Система координат

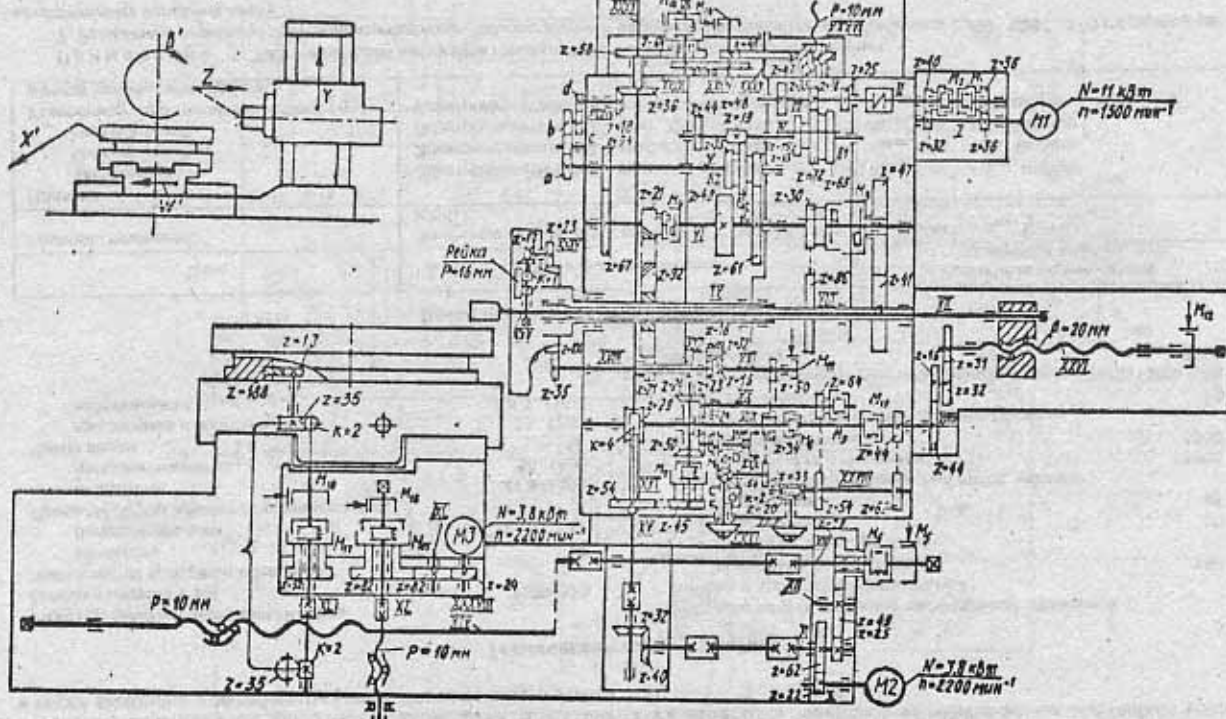


Рис. 3.14. Кинематическая схема горизонтально-расточного станка мод. 2А 620Ф2-1 с ЧПУ

3.15. ШИРОКОУНИВЕРСАЛЬНЫЙ ФРЕЗЕРНЫЙ СТАНОК МОДЕЛИ 6Р82Ш

Назначение. Широкоуниверсальный консольно-фрезерный станок модели 6Р82Ш предназначен для обработки плоскостей, пазов, винтовых канавок, фасонных поверхностей. Возможна также обработка поверхностей, наклоненных под любым углом, а также выходящих за габариты стола. Класс точности станка – П.

Техническая характеристика

Размеры рабочей поверхности стола (длина x ширина), мм	1250x320	Угол поворота (в градусах) вертикальной фрезерной головки в плоскости параллельной: продольному ходу стола	360
Число частот вращения шпинделя: основного	18	поперечному ходу стола:	
дополнительного	12	от станины	90
Пределы частот вращения шпинделя, мин ⁻¹ :		к станине	45
основного	31,5–1600	Скорость быстрого перемещения стола, мм/мин:	
дополнительного	50–1600	продольного и поперечного	3000
Число подач:		вертикального	1000
продольная и поперечная	18	Мощность электродвигателя привода главного	
вертикальная	25–1250	движения, кВт	7,5
	8,3–416,6	Габаритные размеры (длинаxширинаxвысота)	2470x1950x1950
		Масса станка, кг	3300

Данные к анализу кинематических цепей

Цель	Конечные звенья цепи	Расчетные перемещения конечных звеньев
Главного движения	Электродвигатель M1 – шпиндель V (или XXII или XXIII)	$n_{\text{шп}, \text{мин}^{-1}} \rightarrow p_{\text{шп}, \text{мин}^{-1}}$
Подачи: продольной поперечной вертикальной Ускоренное перемещение стола, поперечных салазок или консоли	Электродвигатель M2 – винт XVI, р=6 мм Электродвигатель M2 – винт XXIV, р=6 мм Электродвигатель M2 – винт XXV, р=6 мм Электродвигатель M2 – соответствующий винт	$p_{\text{под}, \text{мин}^{-1}} \rightarrow S_p, \text{мм/мин}$ $p_{\text{под}, \text{мин}^{-1}} \rightarrow S_x, \text{мм/мин}$ $p_{\text{под}, \text{мин}^{-1}} \rightarrow S_z, \text{мм/мин}$ $p_{\text{под}, \text{мин}^{-1}} \rightarrow V, \text{мм/мин}$

Приложения: 1. XXII – шпиндель накладной головки; XXIII – шпиндель поворотной головки.

2. Ускоренные перемещения, минуя коробку подач, осуществляются от электродвигателя M2 через передачи 26/59 · 59/67 · 67/33 и далее к соответствующему ходовому винту.

Рекомендуемая литература [16, 20].

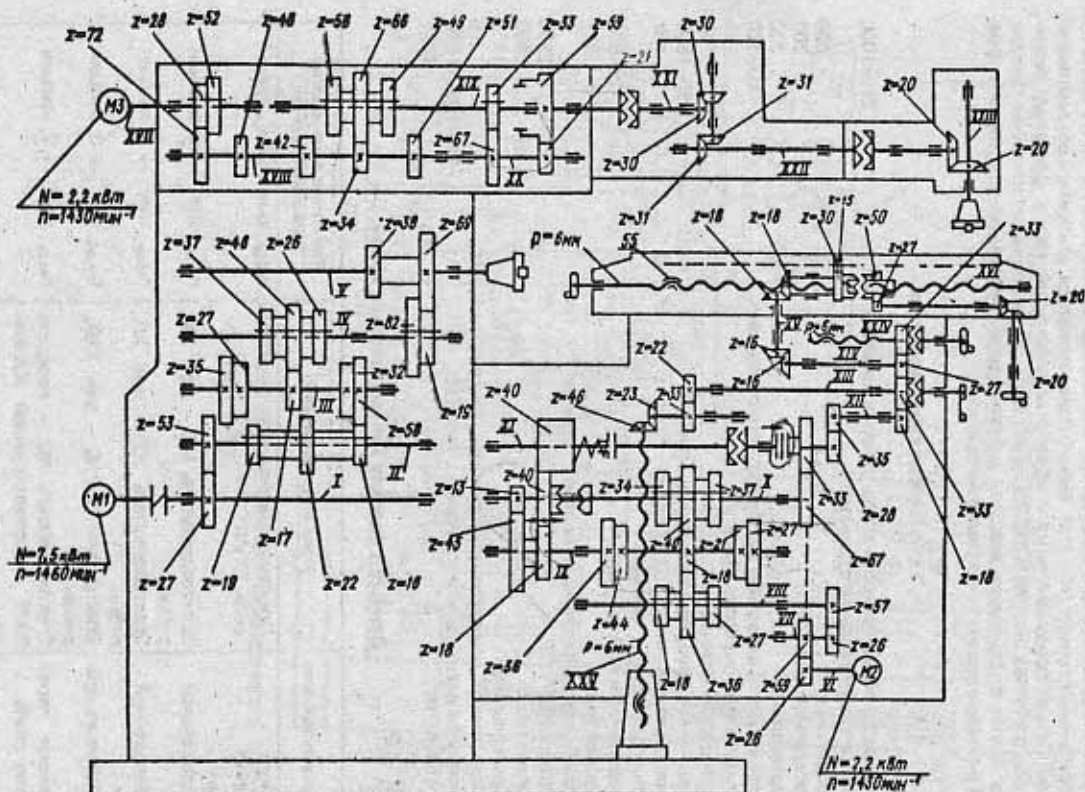


Рис. 3.15. Кинематическая схема широкоуниверсального фрезерного станка мод. 6Р82Ш

3.16. УНИВЕРСАЛЬНО-ФРЕЗЕРНЫЙ СТАНОК МОДЕЛИ 6Р81

Назначение. Горизонтально-фрезерный консольный станок модели 6Р81 является универсальным станком (его стол может поворачиваться относительно вертикальной оси). Станок предназначен для обработки плоскостей, пазов, фасонных линейчатых поверхностей. На столе станка может быть установлена делительная головка, и тогда можно фрезеровать впадины зубчатых колес дисковыми модульными фрезами и винтовые канавки (например на сверлах).

Техническая характеристика

Размеры рабочей поверхности стола (длина x ширина), мм	250x1000
Наибольшее перемещение стола, мм :	
продольное	630
поперечное	200
вертикальное	320
Расстояние от оси шпинделя до поворотного стола, мм	50–370
Наибольший угол поворота стола в градусах	±45
Число скоростей шпинделя	16
Пределы частот вращения шпинделя, мин ⁻¹	50–1600
Число подач стола	16
Пределы подач стола, мм/мин:	
продольная и поперечная	25–800
вертикальная	8,3–166,7
Скорость быстрого перемещения стола, мм/мин	
продольного	2900
поперечного	2300
вертикального	1150
Мощность электродвигателя привода главного движения, кВт	5,5
Габаритные размеры (длина x ширина x высота)	1480x1990x1630
Масса станка, кг	2280

Данные к анализу кинематических цепей

Кинематическая цепь	Конечные звенья цепи	Расчетные перемещения конечных звеньев
Главного движения	Электродвигатель M1 – шпиндель XXVIII	$n_{\text{шпд}}, \text{мин}^{-1} \rightarrow n_{\text{шпд}}, \text{мин}^{-1}$
Подачи:		
продольной	Электродвигатель M2 – винт XX, р=бим	$n_{\text{подд}}, \text{мин}^{-1} \rightarrow S, \text{мм/мин}$
поперечной	Электродвигатель M2 – винт XIII, р=бим	$n_{\text{подд}}, \text{мин}^{-1} \rightarrow S, \text{мм/мин}$
вертикальной	Электродвигатель M2 – винт XXIX, р=бим	$n_{\text{подд}}, \text{мин}^{-1} \rightarrow S, \text{мм/мин}$
Ускоренное перемещение стола,	Электродвигатель M2 – передача 39/45 – соответствующий ходовой винт	$n_{\text{подд}}, \text{мин}^{-1} \rightarrow V, \text{мм/мин}$

Рекомендуемая литература [2].

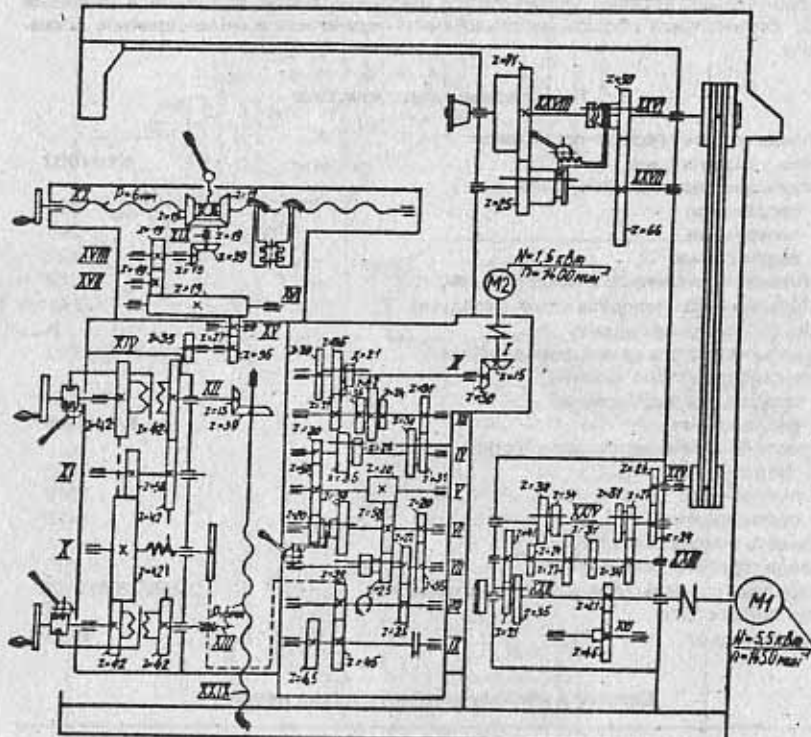


Рис. 3.16. Кинематическая схема универсально-фрезерного станка мод. 6Р81

3.17. ВЕРТИКАЛЬНО-ФРЕЗЕРНЫЙ СТАНОК МОДЕЛИ 6Р13

Назначение. Вертикально-фрезерный консольный станок модели БР13 предназначен для выполнения различных фрезерных работ – обработки плоскостей, пазов, контуров плоских деталей. Используются преимущественно концевые и торцевые фрезы. Оптимальная область использования – единичное и мелкосерийное производство.

Техническая характеристика

Размеры рабочей поверхности стола (длина x ширина), мм	400x1600
Наибольшее перемещение стола, мм:	
продольное	800
поперечное	280
вертикальное	420
Перемещение гильзы со шпинделем, мм.	80
Наибольший угол поворота стола в градусах	±45
Число скоростей шпинделя	18
Пределы частот вращения шпинделя, мин ⁻¹	31,5-1600
Пределы подач стола, мм/мин:	
продольная и поперечная	25-1250
вертикальная	8,3-416,6
Скорость быстрого перемещения стола, мм/мин:	
продольного	3000
поперечного	3000
вертикального	1000
Мощность электродвигателя привода главного движения, кВт	7,5 (10)
Габаритные размеры (длина x ширина x высота)	2560x2260x2120
Число подач стола	18
Масса станка, кг.	4200

Данные к анализу кинематических цепей

Кинематическая цепь	Конечные звенья цепи	Расчетные перемещения конечных звеньев
Главного движения	Электродвигатель М1 – шпиндель VII	$\Pi_{\text{зап.}, \text{МИН}^{-1}} \rightarrow \Pi_{\text{шт.}, \text{МИН}^{-1}}$
Подач:		
продольных	Электродвигатель М2 – винт XX, $p=6$ мм	$\Pi_{\text{зап.}, \text{МИН}^{-1}} \rightarrow S_{\text{пр.}}, \text{ММ/МИН}$
поперечных	Электродвигатель М2 – винт XXI, $p=6$ мм	$\Pi_{\text{зап.}, \text{МИН}^{-1}} \rightarrow S_{\text{п.}}, \text{ММ/МИН}$
вертикальных	Электродвигатель М2 – винт XXII, $p=6$ мм	$\Pi_{\text{зап.}, \text{МИН}^{-1}} \rightarrow S_{\text{в.}}, \text{ММ/МИН}$

Рекомендованная литература [2]

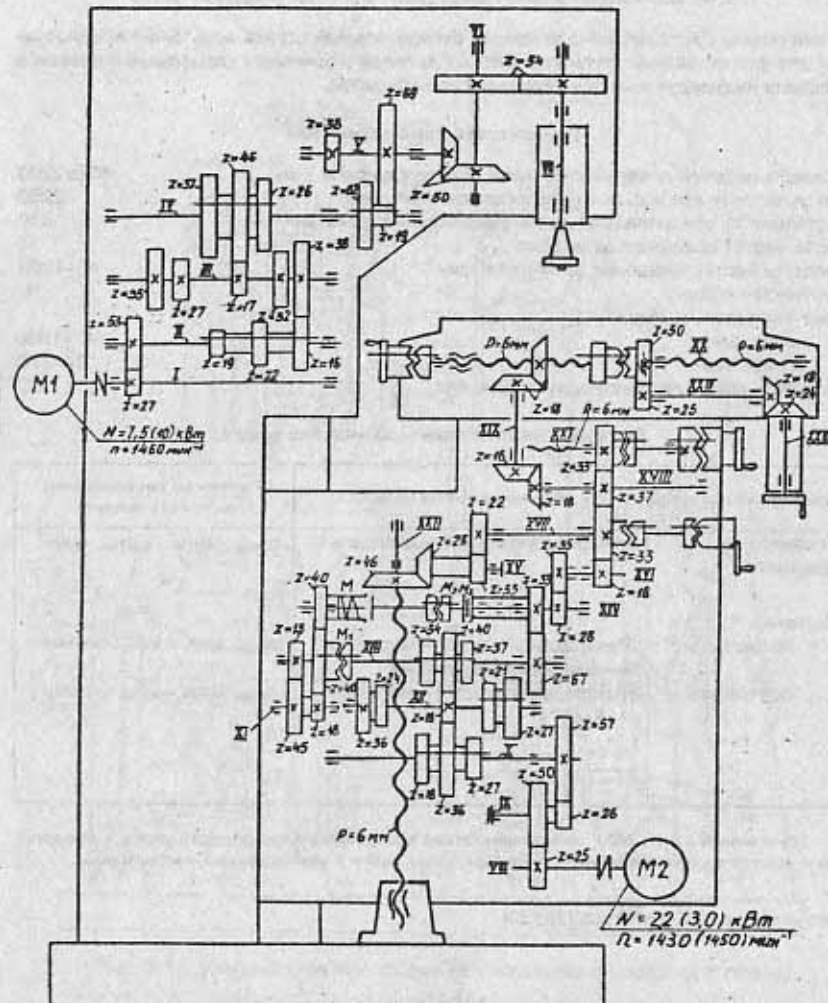


Рис. 3.17. Кинематическая схема вертикально-фрезерного станка мод. 6Р13

3.18. ВЕРТИКАЛЬНО-ФРЕЗЕРНЫЙ СТАНОК МОДЕЛИ 6А54

Назначение. Вертикально-фрезерный бесконсольный станок мод. 6А54 предназначен для фрезерования крупногабаритных деталей в основном торцевыми фрезами в условиях индивидуального и серийного производства.

Техническая характеристика

Размеры рабочей поверхности стола (длина x ширина), мм	650x2200
Максимальное продольное перемещение стола, мм	2250
Расстояние от оси шпинделя до направляющих стойки, мм	630
Число частот вращения шпинделя	16
Пределы частот вращения шпинделя, мин ⁻¹	40–1250
Количество подач	16
Пределы подач, мм/мин:	
продольных,	47–1600
поперечных,	24–770
Мощность главного электродвигателя, кВт	37

Данные к анализу кинематических цепей

Кинематическая цепь	Конечные звенья цепи	Расчетные перемещения конечных звеньев
Главного движения	Электродвигатель M1 – шпиндель VI	$P_{шпн} \text{, МИН}^{-1} \rightarrow P_{шпн} \text{, МИН}^{-1}$
Подачи: продольной поперечной	Электродвигатель M2 – червячно-реечная передача, $m=8 \text{ мм}$ Электродвигатель M3 – винт XVI, $p=10 \text{ мм}$	$P_{под} \text{, МИН}^{-1} \rightarrow S_{пр} \text{, ММ/МИН}$ $P_{под} \text{, МИН}^{-1} \rightarrow S_{п.} \text{, ММ/МИН}$

Примечание. M3 – электродвигатель ускоренных перемещений стола в продольном и поперечном направлениях и шпиндельный бабки в вертикальном направлении.

Рекомендуемая литература [29, 20].

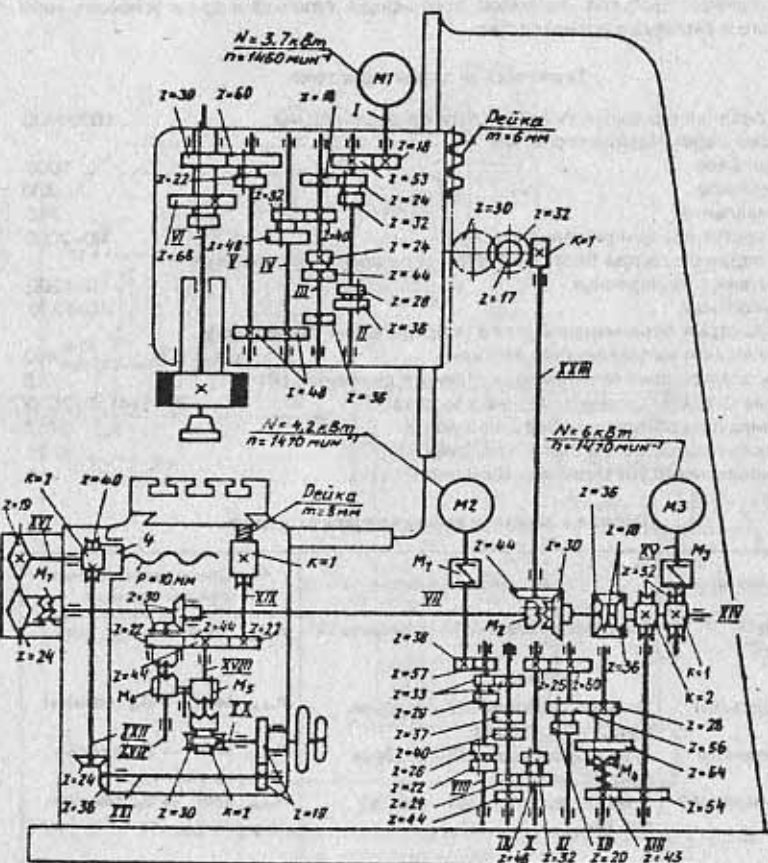


Рис. 3.18. Кинематическая схема вертикально-фрезерного станка
мод. 6А54

3.19. ВЕРТИКАЛЬНО-ФРЕЗЕРНЫЙ СТАНОК МОДЕЛИ 6Р13Ф3 С ЧПУ

Назначение. Вертикально-фрезерный консольный станок модели 6Р13Ф3 с ЧПУ предназначен для обработки концевыми фрезами плоских или пространственных деталей сложного профиля (штампов, пресс-форм, кулачков и др.) в условиях мелкосерийного и серийного производства.

Техническая характеристика

Размеры рабочей поверхности стола (длина x ширина), мм	1600x400
Наибольшее перемещение стола, мм :	
Продольное	1000
Поперечное	400
Вертикальное	380
Пределы частот вращения шпинделя, мин ⁻¹	40-2000
Пределы подач стола(при бесступенчатом регулирование), мм/мин:	
продольных, поперечных	10-1200
вертикальных	10-1200
Скорость быстрых перемещений стола (в продольном, поперечном или вертикальном направлениях), мм/мин	2400
Мощность электродвигателя привода главного движения, кВт	7,5
Габаритные размеры (длина x ширина x высота)	3015x4150x2580
Масса станка (без выносного оборудования), кг	6750
Дискретность перемещения стола и ползуна, мкм	0,01
Число одновременно управляемых координат	3

Данные к анализу кинематических цепей

Кинематическая цепь	Конечные звенья цепи	Расчетные перемещения конечных звеньев
Главного движения	Электродвигатель M1 – шпиндель VII	$\dot{\theta}_{\text{шп}} \text{, мин}^{-1} \rightarrow \dot{x}_{\text{шп}} \text{, мкм}$
Подачи:		
продольной	Электродвигатель M2 – ходовой винт XVII, $p=10$ мм	$\dot{x}_{\text{шп}} \text{, мин}^{-1} \rightarrow S_{\text{шп}} \text{, мм/мин}$
поперечной	Электродвигатель M3 – ходовой винт XII, $p=10$ мм	$\dot{x}_{\text{шп}} \text{, мин}^{-1} \rightarrow S_x \text{, мм/мин}$
вертикальной	Электродвигатель M4 – винт VI, $p=5$ мм	$\dot{x}_{\text{шп}} \text{, мин}^{-1} \rightarrow S_z \text{, мм/мин}$

Примечание. Приводы подач – от шаговых электродвигателей M2, M3, M4 через гидроусилители моментов.

Рекомендуемая литература [20, 11].

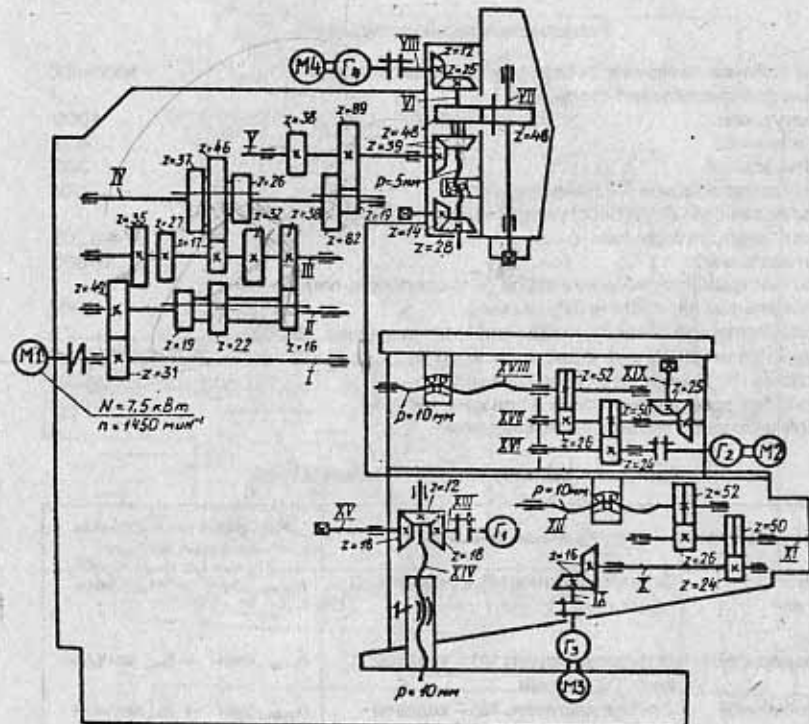


Рис. 3.19. Кинематическая схема вертикально-фрезерного станка мод. 6Р13Ф3 с ЧПУ

3.20. ВЕРТИКАЛЬНО-ФРЕЗЕРНЫЙ СТАНОК МОДЕЛИ 6Р13РФ3 С ЧПУ

Назначение. Вертикально-фрезерный консольный станок модели 6Р13РФ3 с ЧПУ предназначен для обработки концевыми фрезами плоских или пространственных деталей сложного профиля (штампов, пресс-форм, кулачков и др.) в условиях мелкосерийного и серийного производства.

Техническая характеристика

Размеры рабочей поверхности стола (длина x ширина), мм	1600x400
Наибольшее перемещение стола, мм:	
продольное	1000
поперечное	400
вертикальное	380
Пределы частот вращения шпинделя, мин ⁻¹	40-2000
Пределы подач стола(при бесступенчатом регулировании), мм/мин:	
продольных, поперечных	8-1200
вертикальных	8-800
Скорость быстрых перемещений стола (в продольном, поперечном или вертикальном направлениях), мм/мин.	2400
Мощность электродвигателя привода главного движения, кВт	7.5
Габаритные размеры (длина x ширина x высота)	2575x2180x2480
Масса станка (без выносного оборудования), кг	5800
Дискретность перемещения стола и ползуна, мкм	0,01
Число одновременно управляемых координат	3

Данные к анализу кинематических цепей

Кинематическая цепь	Конечные звенья цепи	Расчетные перемещения конечных звеньев
Главного движения	Электродвигатель M1 – шпиндель IX	$n_{\text{глав.}, \text{мин}^{-1}} \rightarrow n_{\text{шип.}, \text{мин}^{-1}}$
Подачи:		
продольной	Электродвигатель M3 – ходовой винт XVI, $r=8$ мм	$n_{\text{под.}, \text{мин}^{-1}} \rightarrow S_{\text{пр.}, \text{мм/мин}}$
поперечной	Электродвигатель M5 – ходовой винт XX, $r=8$ мм	$n_{\text{под.}, \text{мин}^{-1}} \rightarrow S_{\text{п.}, \text{мм/мин}}$
вертикальной	Электродвигатель M2 – ходовой винт XXIII, $r=8$ мм	$n_{\text{под.}, \text{мин}^{-1}} \rightarrow S_{\text{в.}, \text{мм/мин}}$

Примечания:

- Станок снабжен револьверной головкой.
- Приводы подач – от шаговых электродвигателей M3, M4, M5 через гидроусилители моментов.
- M2 – гидродвигатель для поворота револьверной головки с помощью мальтийского механизма.

Рекомендуемая литература [17].

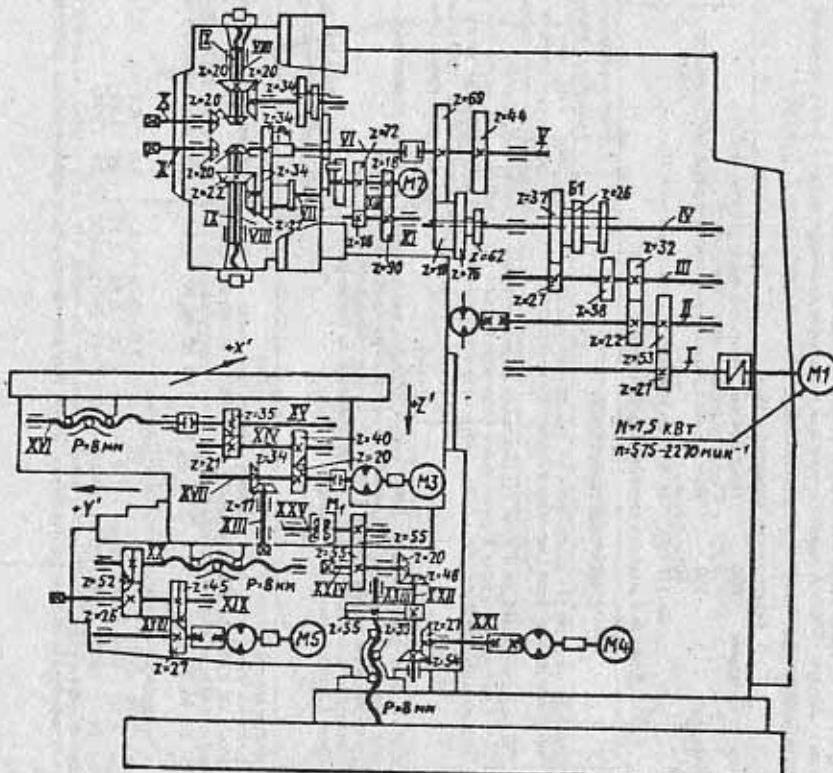


Рис. 3.20. Кинематическая схема вертикально-фрезерного станка мод. 6Р13РФ3 с ЧПУ

3.21. ЗУБОФРЕЗЕРНЫЙ ПОЛУАВТОМАТ МОДЕЛИ 5М324А

Назначение. Зубофрезерный полуавтомат модели 5М324А предназначен для нарезания цилиндрических колес с прямыми и винтовыми зубьями и червячных колес в условиях крупносерийного и серийного производства.

Техническая характеристика

Наибольший диаметр нарезания прямозубых колес, мм	500	Пределы вертикальных подач фрезы, мм/об	0,68–6,10
Наибольший модуль колес, мм	8	Пределы радиальных подач, мм/об	0,20–1,85
Наибольшая длина зуба прямозубых колес, мм	350	Наибольшие размеры червячной фрезы, мм: диаметр	180
Наибольший угол наклона зубьев, град	±60	диаметр	200
Пределы частот вращения фрезы, мин	50–315	Мощность главного электродвигателя, кВт	7,5

Данные к анализу кинематических цепей

Цепь	Конечные звенья цепи	Расчетные перемещения конечных звеньев
Главного движения		
Деления и обката	Электродвигатель M1 – шпиндель VII (червячная фреза)	$n_{\text{раб}, \text{мин}} \rightarrow n_{\text{раб}, \text{мин}}$
Вертикальной подачи	Червячная фреза – стол с заготовкой (червячное колесо Z=95)	1 об. фр. \rightarrow 1 об. стола (k – число заходов фрезы, z – число нарезаемых зубьев)
Радиальной подачи	Стол с заготовкой – винт XXVI радиальной подачи p=10 мм	1 об. ст. $\rightarrow S_r, \text{мм}/\text{об}$
Дифференциала при нарезании колес с винтовым зубом	Стол с заготовкой – винт X радиальной подачи p=10 мм Винт вертикальной подачи – $a_2/b_2 \cdot c_2/d_2$ – стол с заготовкой	1 об. ст. $\rightarrow 1-S_p, \text{мм}/\text{об}$ $(P/10)$ оборотов винта вертикальной подачи \rightarrow 1 об. стола с заготовкой (P_r – шаг винтовой линии зуба нарезаемого колеса)
Дифференциала при нарезании прямозубых колес с простым числом зубьев больше 100	Стол с заготовкой – $a_2/b_2 - a_3/b_3 \cdot c_2/d_2 - \Delta Z/k$ (k – число заходов фрезы, ΔZ – одно из слагаемых, на которые раскладывается число нарезаемых зубьев $Z = Z_1 + \Delta Z$, Z_1 – используется при настройке цепи деления и обката; ΔZ – берется не более 0,1)	1 об. стола $\rightarrow \Delta Z/k$ оборотов фрезы
Деления и обката при бездифференциальной настройке на нарезание колес с винтовыми зубьями	Стол с заготовкой – червячная фреза	$(Z/k \pm Z/k \cdot S_r / P_r)$ об. фр. (S _r , мм/об – вертикальная подача)

Пояснения к настройке кинематических цепей

1. Прилагаемый к станку комплект сменных колес позволяет получить следующие значения частот вращения фрезы: $n, \text{мин}^{-1}$: 50; 63; 80; 105; 125; 160; 200; 240; 315; гитара скоростей a/b : 23/64; 27/60; 31/56; 36/51; 41/46; 46/41; 51/36; 56/31; 60/27.
2. Сменные шестерни гитары деления и обката подбираются из набора колес с числами зубьев: 23, 24, 25 (2 шт.), 30, 33, 34, 35, 37, 40 (2 шт.), 41, 43, 45, 47, 48, 50, 53, 55, 58, 60, 61, 62, 65, 66, 67, 70 (2 шт.), 71, 73, 75, 79, 80, 83, 85, 89, 90, 92, 95, 97, 98, 100. При нарезании колес с числом зубьев: $Z \leq 161$ $f_e = 54/54$; $Z > 161$ $f_e = 72/36$.
3. Сменные колеса гитары подач a_3 и b_3 подбираются с учетом следующих данных:
Подача, мм/об: продольная (вертикальная): 0,68; 0,84; 1,025; 1,3; 1,66; 2,05; 2,5; 3,15; 4,1; 5,0; 6,1;
радиальная: 0,20; 1,25; 0,30; 0,40; 0,50; 0,62; 0,76; 0,84; 1,23; 1,49; 1,65;
 a_2/b_2 : 24/72; 28/68; 32/64; 38/58; 43/53; 48/48; 53/43; 58/38; 64/32; 68/28; 72/24.

4. При подборе сменных колес гитары дифференциала $a_2/b_2 \cdot c_2/d_2$ использовать тот же набор, что и для гитары деления и обката (с учётом того, что одно и то же колесо нельзя использовать при настройке обеих гитар). Условие сменяемости колес в гитаре дифференциала, деления и обката: $a_2/b_2 > c_2 + 25$; $c_2 + d_2 > b_2 + 25$.

Рекомендуемая литература [16, 24].

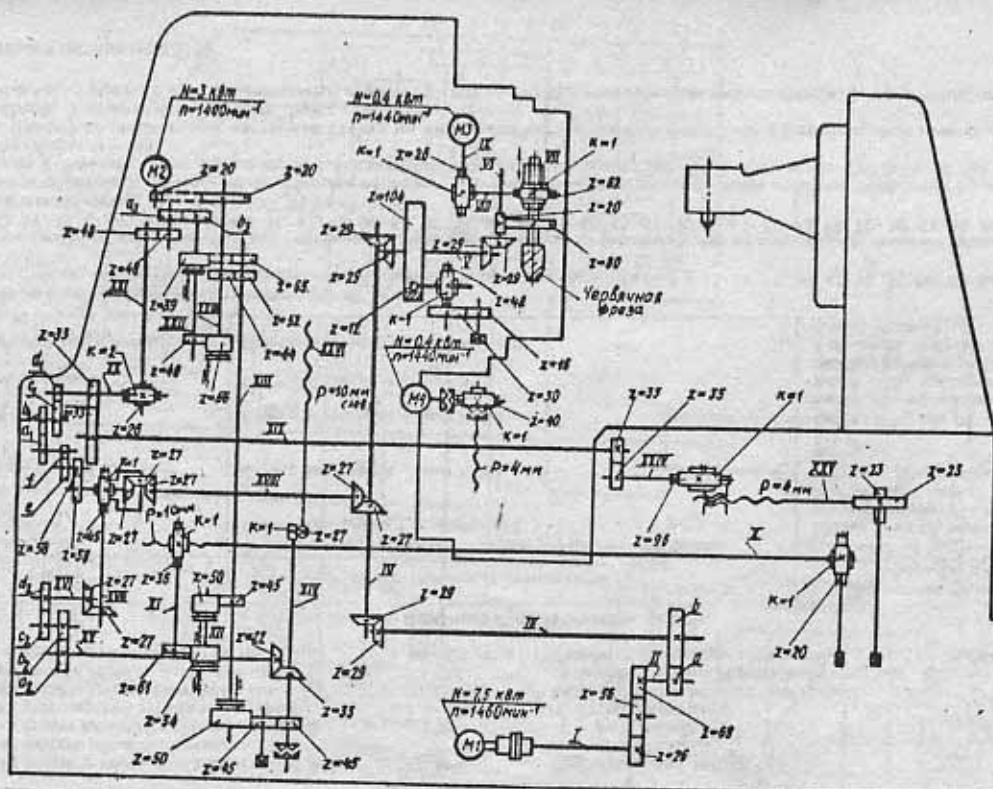


Рис. 3.21. Кинематическая схема зубофрезерного полуавтомата мод. 5М324А

3.22. ЗУБОФРЕЗЕРНЫЙ ПОЛУАВТОМАТ МОДЕЛИ 53А50

Назначение. Зубофрезерный полуавтомат модели 53А50 предназначен для нарезания червячными фрезами цилиндрических и червячных колес в условиях единичного и серийного производства.

Техническая характеристика

Наибольший диаметр обрабатываемых колес, мм.	500	Пределы подач, мм/об.	
Наибольший модуль обрабатываемых колес.	8	продольных	0,75–7,5
Наибольшая длина зуба прямозубых колес, мм.	350	радиальных	0,20–2,5
Наибольший угол наклона зубьев колес, град.	±60	тангенциальных	0,13–2,6
Наибольший диаметр червячных фрез, мм.	200	Мощность электродвигателя привода	
Наибольшее осевое перемещение фрезы, мм.	180	главного движения (трехскоростного), кВт	8/10/12,5
Пределы частот вращения шпинделя, мин	40–405	Габаритные размеры станка, мм.	2670x1810x2250

Данные к анализу кинематических цепей

Цепь	Конечные звенья цепи	Расчетные перемещения конечных звеньев
Главного движения Деления и обката	Электродвигатель M1 – шпиндель VIII (червячная фреза) Червячная фреза 1 – заготовка 2	$P_{\text{шп}} \text{ мин}^{-1} \rightarrow P_{\text{фр}} \text{ мин}^{-1}$ $106 \text{ фр} \rightarrow k/z \text{ об. заготовки } (k - \text{число заходов фрезы}, z - \text{число нарезаемых зубьев})$ $106 \text{ ст} \rightarrow S_v \text{ мм, перемещение суппорта}$
Вертикальной подачи	Стол с заготовкой – винт XXXII	
Дифференциала	Стол с заготовкой – винт XXXIII	
Радиальной подачи	Стол с заготовкой – винт XXII	$106 \text{ ст} \rightarrow P_r \text{ мм } (P_r - \text{шаг винтовой линии зуба нарезаемого колеса})$ $106 \text{ ст} \rightarrow S_p \text{ мм, перемещение суппорта } (S_p - \text{величина радиальной подачи})$ $1 \text{ об. стола} \rightarrow S_v \text{ мм } (S_v - \text{величина осевой подачи})$
Тангенциальной (осевой) подачи	Стол с заготовкой – винт XXXVIII	

Пояснения к настройке кинематических цепей

1. Для настройки гитары скоростей предусмотрены сменные колеса с числом зубьев $Z = 23; 27; 31; 36; 41; 46; 51; 56; 60; 64$. Условия сцепляемости $a+b=87$.

2. Для настройки гитары деления и дифференциала служит общий комплект сменных колес со следующими числами зубьев: $Z = 23; 24; 25$ (2шт.); $30; 33; 34; 35; 37; 40$ (2шт.); $41; 43; 45; 47; 48; 50; 53; 55; 58; 59; 60; 61; 62; 65; 67; 70$ (2шт.); $71; 73; 75; 79; 80; 83; 85; 89; 90; 92; 95; 98; 100$. Условия сцепляемости: $95 \leq c+d \leq 150$; $95 \leq e+f \leq 150$.

3. Три пары обратимых сменных колес и четыре передачи, переключаемые электромагнитными муфтами, позволяют получить 16 различных подач (еще 8 значений подач оказываются совпадающими или близкими). Числа зубьев сменных колес: $Z=32; 36; 46; 50; 60; 64$. Условия сцепляемости гитары: $H=96$.

4. При бездифференциальной настройке станка на нарезание косозубых колес расчетные перемещения конечных звеньев цепи деления и обката: $1 \text{ об. заготовки} - z/k \pm z/k \cdot S_v/P_r$, где k – число заходов фрезы; z – число нарезаемых зубьев; P_r – шаг винтовой линии зуба нарезаемого колеса; S_v – вертикальная подача.

Рекомендуемая литература [15].

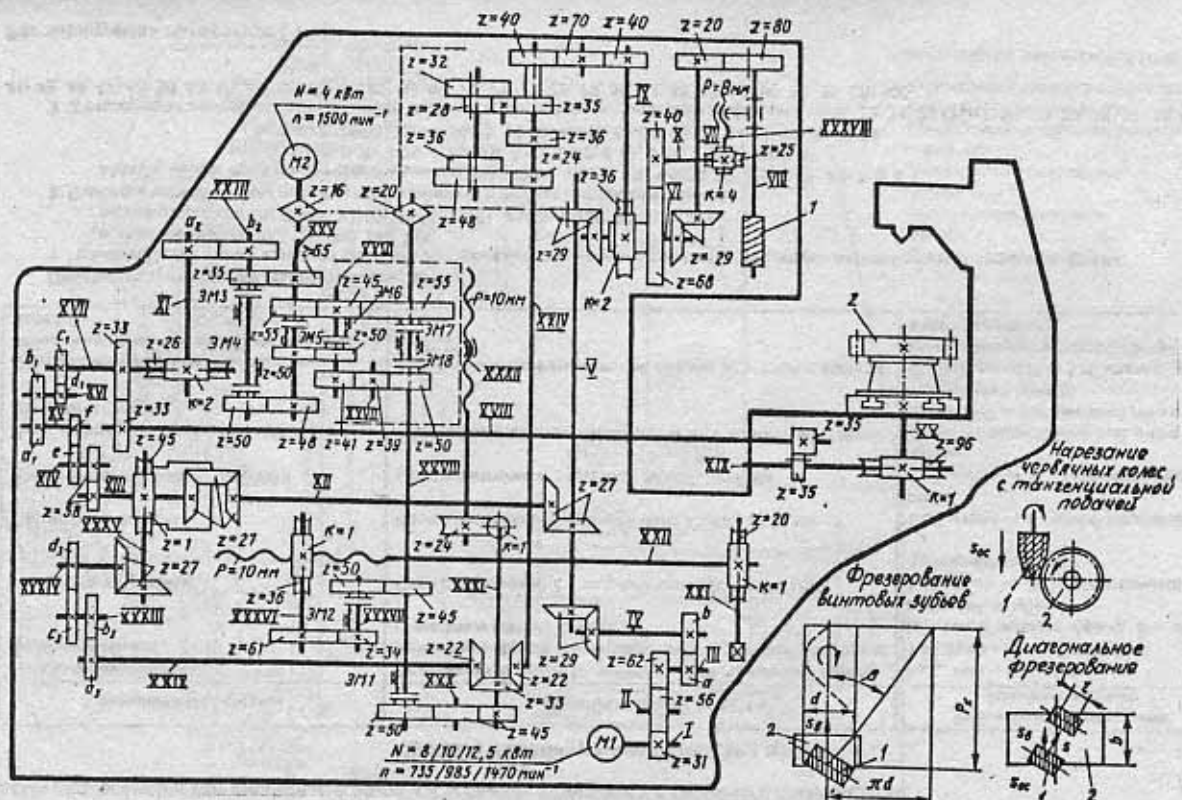


Рис. 3.22. Кинематическая схема зубофрезерного полуавтомата мод. 53А50

3.23. ЗУБОФРЕЗЕРНЫЙ ПОЛУАВТОМАТ МОДЕЛИ 5М32

Назначение. Станок предназначен для обработки цилиндрических прямозубых и косозубых колес и червячных колес методами радиальной и тангенциальной подачи в условиях единичного и серийного производства.

Данные к анализу кинематических цепей

Кинематическая цепь	Конечные звенья цепи	Расчетные перемещения конечных звеньев
Главного движения Деления и обката	Электродвигатель М1 – шпиндель VIII (червячная фреза) Червячная фреза (шпиндель VIII) – стол с заготовкой (червячное колесо Z=96)	$n_{\text{раб.}, \text{мин}} \rightarrow n_{\text{фр.}, \text{мин}}$ 1 об. фрезы $\rightarrow k/z$ об заготовки (k – число заходов фрезы; z – число нарезаемых зубьев)
Вертикальной подачи	Стол с заготовкой 2 – ходовой винт XXV, $p=10$ мм	1 об. стола $\rightarrow S_p$, мм/об перемещения фрезерного суппорта
Радиальной подачи	Стол с заготовкой – ходовой винт XXXVI, $p=10$ мм	1 об. стола $\rightarrow S_p$, мм/об перемещения стола
Тангенциальной (осевой) подачи	Стол с заготовкой – ходовой винт XI, $p=8$ мм	1 об. стола $\rightarrow S_p$, мм/об перемещения фрезы $(P_r/10)$ об. винта XXV \rightarrow 1 об. стола с заготовкой (P_r – шаг винтовой линии зуба нарезаемого колеса)
Цепь дифференциала (при нарезании косозубых колес)	Ходовой винт вертикальной подачи XXV – стол с заготовкой	$(P_r/8)$ об. винта XI \rightarrow 1 об. стола (P_r – шаг, m – модуль червячной фрезы в осевом сечении)
Цепь дифференциала (при нарезании червячных колес методом тангенциальной подачи)	Ходовой винт тангенциальной подачи XI – стол с заготовкой	

Пояснение к настройке кинематических цепей

1. Прилагаемый к станку комплект сменных зубчатых колес позволяет получить следующие значения частот вращения фрезы:

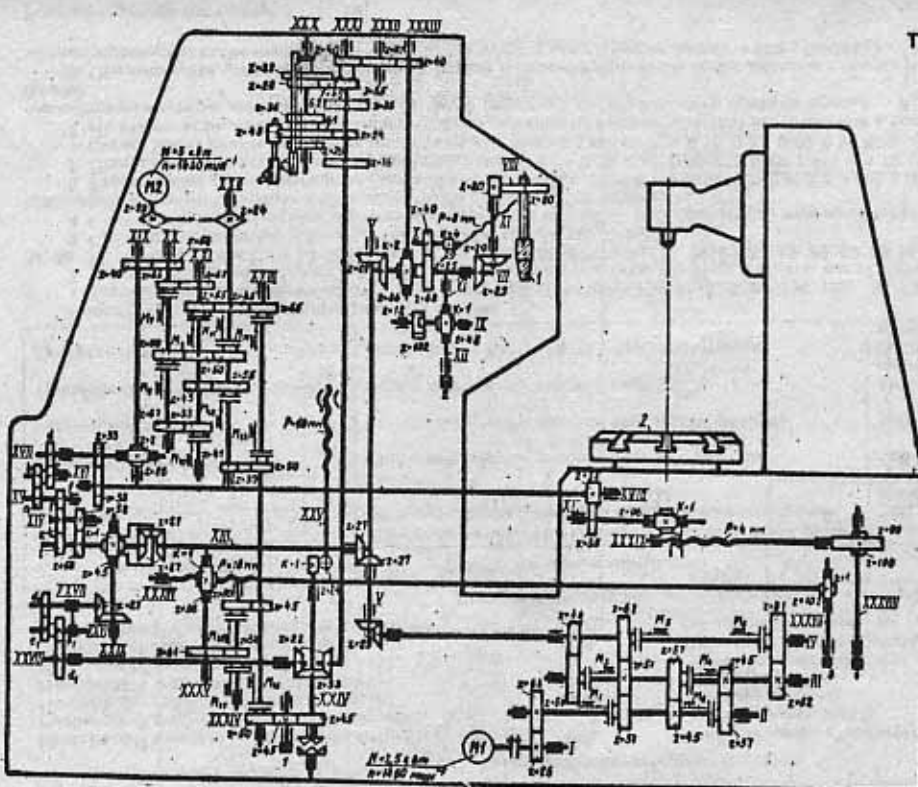
n , мин⁻¹: 50; 63; 80; 106; 125; 200; 240; 315;
гитара скоростей a/b : 23/64; 27/60; 31/56; 36/51; 41/46; 51/36; 56/31; 60/27.

2. Сменные колеса гитары подач a_3 и b_3 подбираются с учетом следующих данных:

подача, мм/об: продольная (вертикальная): 0,68; 0,84; 1,025; 1,3; 1,66; 2,05; 2,5; 3,15; 4,1; 5,0; 6,1
радиальная: 0,20; 1,25; 0,30; 0,4; 0,50; 0,62; 0,76; 0,84; 1,23; 1,49; 1,85
 a_3, b_3 : 24/72; 28/68; 32/64; 38/58; 43/53; 48/48; 53/54; 58/38; 64/32; 68/28; 72/24.

3. К станку прилагается следующий набор сменных колес для гитар деления и дифференциала: 23; 24; 25 (2шт.); 30; 33; 34; 35; 37; 40 (2шт.); 41; 43; 45; 47; 48; 50; 53; 55; 58; 59; 60; 61; 62; 65; 67; 70; 71; 73; 75; 79; 80; 83; 85; 87; 89; 90; 92; 95; 98; 100.

Рекомендуемая литература [13].



Техническая характеристика станка

Наибольший диаметр нарезаемых цилиндрических колес, мм.....	800
Наибольший модуль нарезаемых колес, мм	10
Пределы частот вращения фрезы, мин ⁻¹	50-315
Число частот вращения фрезы,	9
Пределы подач, мм/об:	
вертикальной.....	0,8
радиальной.....	0,15-1,5
тангенциальной.....	0,17-3,1
Мощность главного электродвигателя, кВт.....	7,5
Габариты станка, мм	2810x1640x2200

Рис. 3.23. Кинематическая схема зубофрезерного полуавтомата мод. 5М32

3.24. ЗУБОФРЕЗЕРНЫЙ ПОЛУАВТОМАТ МОДЕЛИ 5К324

Назначение. Вертикальный зубофрезерный полуавтомат мод. 5К324 предназначен для нарезания цилиндрических колес с прямыми и винтовыми зубьями, а также червячных колес методом радиальной и тангенциальной (осевой) подачи в условиях серийного и единичного производства.

Техническая характеристика станка

Наибольший диаметр нарезаемых колес, мм	500	Пределы частот вращения фрезы, мин ⁻¹	5-310
Наибольший модуль нарезаемых колес, мм	.8	Пределы подач, мм/об:	
Наибольшая ширина зубчатого венца, мм	300	вертикальных	0,8-5,0
Наибольший угол наклона зубьев, град.	+60	радиальных	0,35-2,2
Наибольший диаметр фрезы, мм	180	тангенциальных	0,25-1,6
Наибольший вертикальный ход фрезы, мм	300	Мощность главного электродвигателя, кВт	7,0
Наибольшее осевое перемещение фрезы, мм	100	Габаритные размеры, мм	2500x1380x2000

Данные к анализу кинематических цепей

Кинематическая цепь	Конечные звенья цепи	Расчетные перемещения конечных звеньев
Главного движения Деления и обката	Электродвигатель М1 – шпиндель XXIX (червячная фреза) Червячная фреза (шпиндель XXIX) – стол с заготовкой	$S_{\text{дел}} \cdot \text{мин}^{-1} = P_{\text{ф}} \cdot \text{мин}^{-1}$ 1 об. фрезы – (z/z) об. стола (z – число заходов фрезы; z – число нарезаемых зубьев)
Вертикальной подачи	Стол с заготовкой – ходовой винт XXI, р=10 мм	1 об. стола – S_v , мм/об (вертикальная подача)
Радиальной подачи	Стол с заготовкой – ходовой винт XXXIV, р=10 мм	1 об. стола – S_r , мм/об (радиальная подача)
Тангенциальной (осевой) подачи	Стол с заготовкой – ходовой винт XXX, р=12 мм	1 об. стола – S_a , мм/об (осевая, тангенциальная подача)
Дифференциала	Ходовой винт XXI, р=10 мм – стол с заготовкой	($S_v/10$) об. винта XXI – (S_a/P_d) об. стола (P_d – шаг винтовой линии зуба нарезаемого колеса)

Пояснения к настройке кинематических цепей

- Боковая скорость обеспечивает девять частот вращения фрезы: $n=50, 63,5, 80, 100, 125, 160, 200, 250, 310 \text{ мин}^{-1}$.
- К станку прилагается следующий набор сменных колес для гипар деления и обката, подач и дифференциала: $Z=23, 24, 25$ (2 шт.); $30, 34, 35, 37, 40, 41, 43, 45, 47, 48, 50, 53, 55, 58, 59, 60, 61, 62, 65, 67, 70, 71, 73, 79, 80, 83, 85, 89, 90, 92, 95, 98, 100$.
- При числе нарезаемых зубьев $z > 160$ $f=54/54$; при $z > 160$ $f=36/72$.
- При настройке кинематических цепей на нарезание косозубых колес расчетные перемещения конечных звеньев цепи деления и обката принимаются такими: 1 об. стола с заготовкой $\rightarrow (z/z) \cdot (S_{\text{дел}}/P_d)$ об. фрезы.
- Станок имеет девять различных вертикальных подач: $S_v = 0,8, 1,0, 1,25, 1,6, 2,0, 2,5, 3,2, 4,0, 5,0 \text{ мм/об}$.
- Станок имеет девять различных радиальных подач: $S_r = 0,35, 0,44, 0,55, 0,7, 0,88, 1,1, 1,4, 1,76, 2,2 \text{ мм/об}$.
- Станок имеет девять различных тангенциальных (осевых) подач: $S_a = 0,25, 0,33, 0,40, 0,50, 0,66, 0,80, 1,0, 1,32, 1,60$.
- На станке возможно диагональное зубофрезерование при одновременной вертикальной и осевой подаче. В этом случае расчетные перемещения конечных звеньев цепи будут: S_e , мм/об (вертикальное перемещение суппорта фрезы) $\rightarrow S_e$, мм/об (осевое перемещение шпинделя фрезы).
- При настройке цепи дифференциала в случае нарезания червячных колес методом тангенциальной (осевой) подачи принимают расчетные перемещения конечных звеньев цепи: S_e , мм осевого перемещения фрезы $\rightarrow (1/z - 0,000432 \text{ кН} \cdot z \cdot S_v)$ об. стола.

Рекомендуемая литература [28, 19].

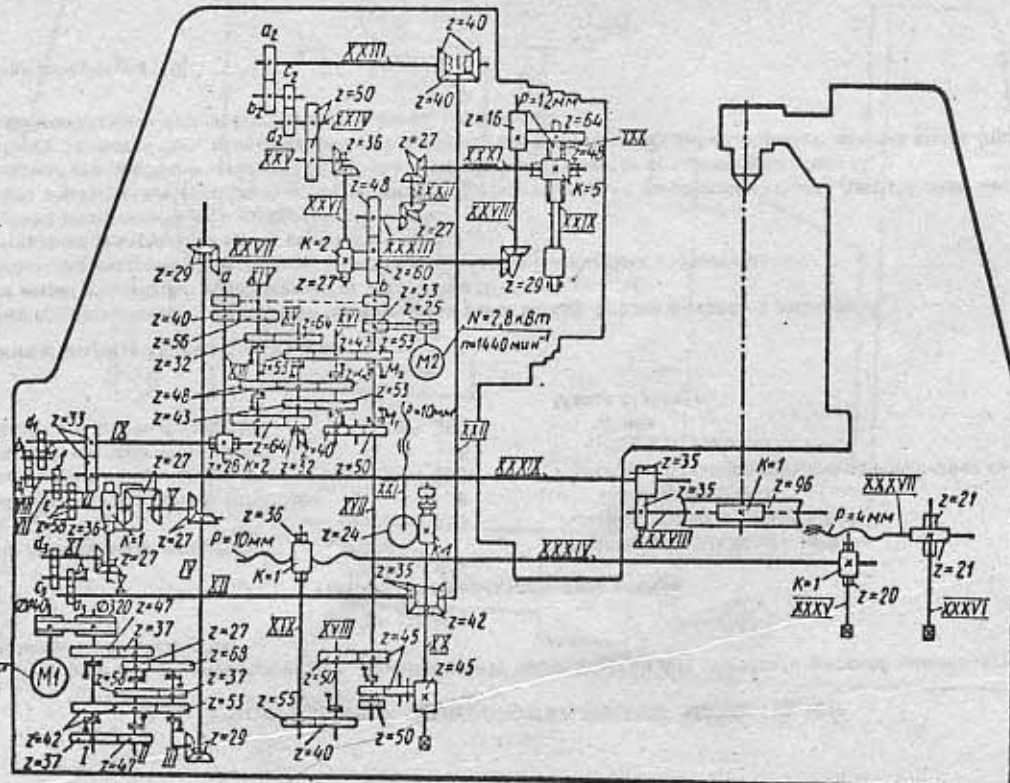


Рис. 3.24. Кинематическая схема зубофрезерного полуавтомата мод. 5К324

3.25. ЗУБОФРЕЗЕРНЫЙ ПОЛУАВТОМАТ МОДЕЛИ МА70Ф4 С ЧПУ

Назначение. Зубофрезерный полуавтомат мод. МА70Ф4 с ЧПУ предназначен для обработки широкой номенклатуры прямозубых, косозубых и червячных колес.

Техническая характеристика станка

Наибольший диаметр нарезаемого колеса, мм.....	320	Пределы рабочих подач, мм/мин:
Наибольший модуль нарезаемых колес, мм.....	6	продольных и радиальных..... 1-100
Наибольшая ширина венца колеса, мм.....	200	тangenциальных..... 0,4-100
Наибольший угол наклона зубьев, град.....	±45	Размеры устанавливаемых червячных фрез, мм:
Пределы частот вращения фрезы, мин ⁻¹	60-250	диаметр..... 160
		длина..... 220
		Масса станка, кг..... 7000

Пояснения к анализу кинематики станка

1. В станке предусмотрена одна жесткая механическая связь между фрезой и столом с заготовкой.
2. Станок имеет следующие управляемые от устройства ЧПУ координаты:
 X, Y – перемещение инструмента в горизонтальной и вертикальной плоскости соответственно;
 Z – перемещение инструмента вдоль своей оси;
 U, W – вращение инструмента и стола соответственно.
3. Для всех управляемых координат используются следящие приводы с высокомоментными двигателями, необходимая скорость вращения стола обеспечивается заданием от устройства ЧПУ частот вращения двигателя M_w .
4. Для станка задаются пять основных циклов обработки, соответствующих типам обрабатываемых колес (прямозубые, косозубые, с бочкообразным зубом, блок зубчатых колес, червячные).

Рекомендуемая литература [10].

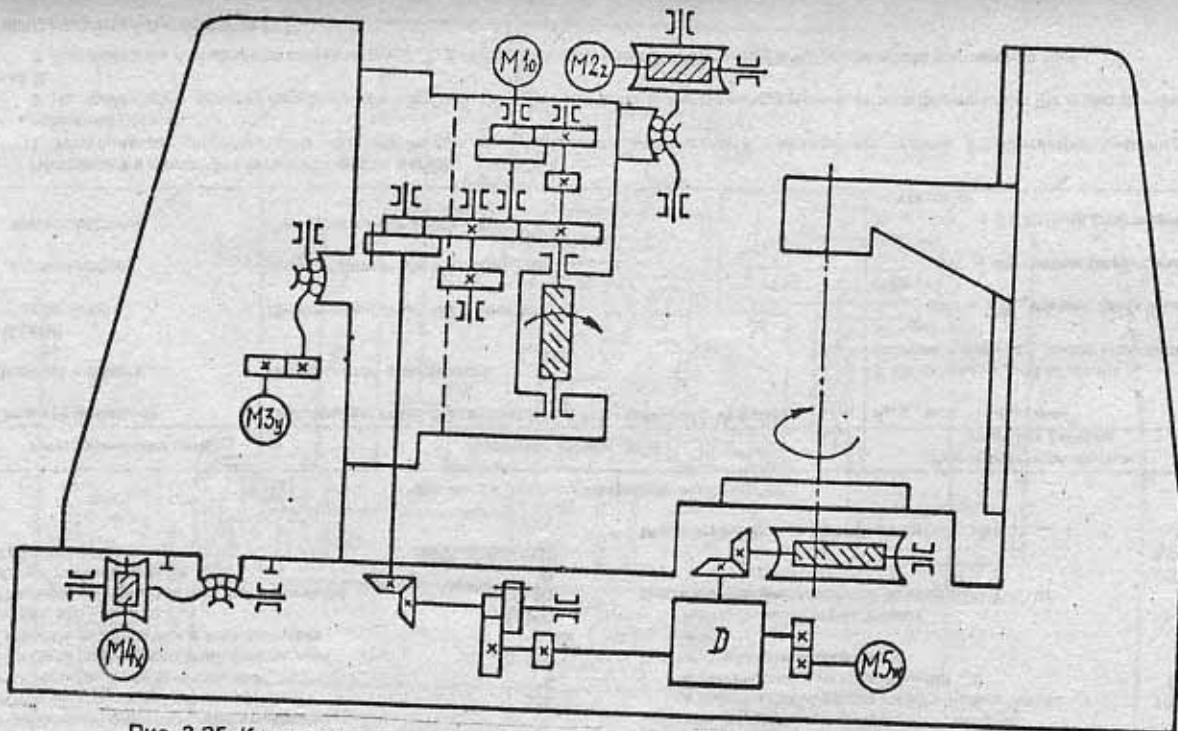


Рис. 3.25. Кинематическая схема зубофрезерного полуавтомата мод. МА 70Ф4 с ЧПУ

3.26. ЗУБОФРЕЗЕРНЫЙ ПОЛУАВТОМАТ МОДЕЛИ 53А20Ф4 С ЧПУ

Назначение. Полуавтомат предназначен для нарезания зубьев прямозубых и косозубых цилиндрических колес, червячных колес, а также колес с конусным и бочкообразным зубом в условиях единичного и мелкосерийного производства.

Техническая характеристика станка

Наибольший диаметр обрабатываемых зубчатых (прямозубых) колес, мм.....	220	Скорость ускоренных перемещений, мм/мин:
Наибольший модуль колес, мм.....	6	в радиальном и вертикальном направлении..... 1000
Пределы частот вращения фрезы, мин ⁻¹	80–300	в тангенциальном направлении..... 500
Пределы радиальных и вертикальных подач, мм/мин.....	1–300	Число управляемых координат:
Пределы тангенциальных подач, мм/мин.....	0,5–80	всего..... 5
Класс точности станка.....	П	одновременно управляемых..... 4
Габариты станка, мм.....	3555x3250x3030	Дискретности перемещений по координатам, мм:
		X, Y..... 0,0025
		Z..... 0,001
		Мощность главного электродвигателя, кВт..... 7,0

Данные к анализу кинематических цепей

Кинематические цепи	Конечные звенья цепи	Расчетные перемещения конечных звеньев
Главного движения	Электродвигатель постоянного тока M1 – шпиндель VI фрезы	$n_{\text{м.д.}}, \text{мин}^{-1} \rightarrow n_{\text{ф.}}, \text{мин}^{-1}$
Деления и оката	Фреза – стол с заготовкой	1 об. фрезы $\rightarrow (k/z)$ об. стола (k – число заходов фрезы; z – число нарезаемых зубьев)
Подачи:		$n_{\text{под.}}, \text{мин}^{-1} \rightarrow S_p, \text{мм/мин}$ (радиальная подача)
радиальной	Электродвигатель M3 – винт XX	$n_{\text{под.}}, \text{мин}^{-1} \rightarrow S_v, \text{мм/мин}$ (вертикальная подача)
вертикальной	Электродвигатель M4 – винт XXIII	$n_{\text{под.}}, \text{мин}^{-1} \rightarrow S_t, \text{мм/мин}$ (тангенциальная подача)
тангенциальной	Электродвигатель M5 – винт XXVII	

Пояснения к настройке кинематических цепей

- Управляемые координаты: U – вращение фрезы; Y – вертикальная подача; X – радиальная подача; Z – тангенциальная подача; W – вращение детали.
- Настройка цепи деления производится коробкой деления КД и дополнительным вращением от электродвигателя M2 через дифференциал Д.
- Для приводов движений по координатам X, Y, Z, W используются высокомоментные электродвигатели постоянного тока.

Рекомендуемая литература [13].

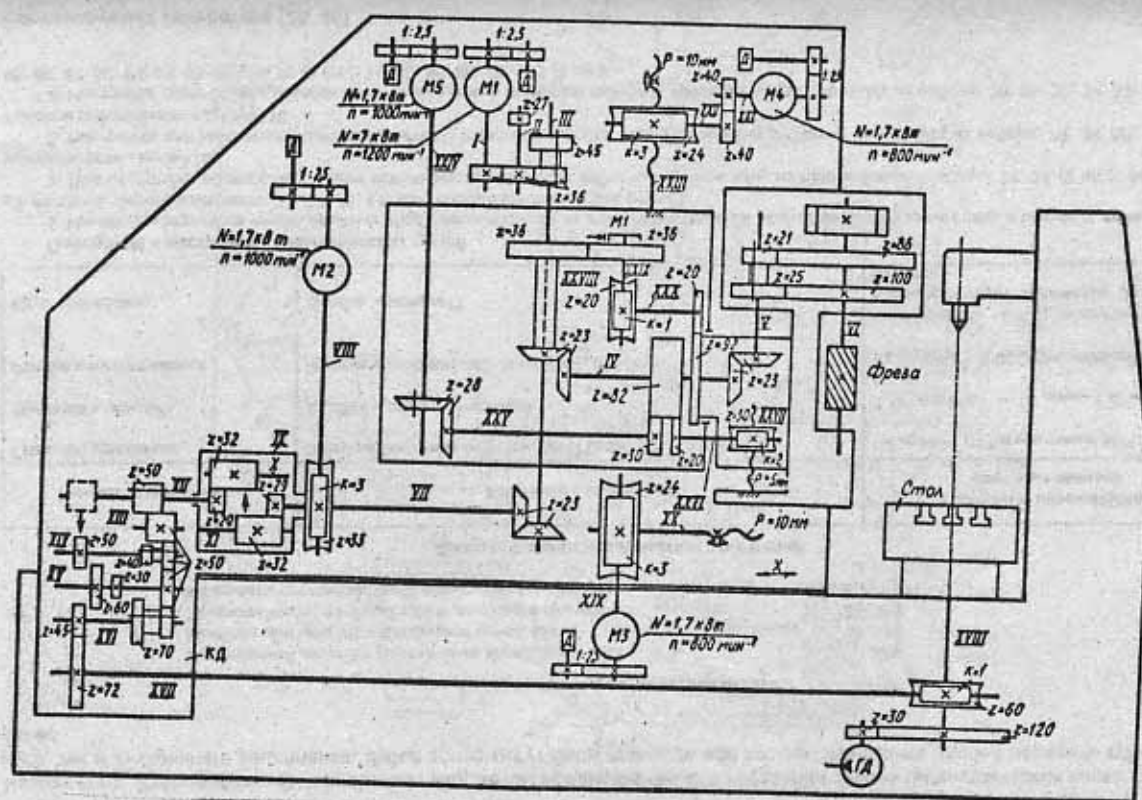


Рис. 3.26. Кинематическая схема зубофрезерного полуавтомата мод. 53А20Ф4 с ЧПУ

3.27. ЗУБОДОЛБЕЖНЫЙ ПОЛУАВТОМАТ МОДЕЛИ 5В150

Назначение. Зубодолбежный полуавтомат мод.5В150 предназначен для нарезания зубьев цилиндрических колес как наружного, так и внутреннего зацепления. Зубья колес могут быть прямыми или косыми. На станке удобно нарезать зубья блоков колес.

Техническая характеристика станка

Наибольший диаметр нарезаемых колес, мм.....	800
Наибольший модуль нарезаемых колес, мм.....	12
Пределы чисел двойных ходов долблека в минуту.....	33-188
Мощность трехскоростного электродвигателя, кВт.....	4,8; 5,7; 7,5

Данные к анализу кинематических цепей

Кинематическая цепь	Конечные звенья цепи	Расчетные перемещения конечных звеньев
Главного движения	Электродвигатель M1 – ползун П (долблек)	$\Pi_{\text{раб}, \text{мин}}^{-1} \rightarrow \Pi_{\text{раб, холода, колеса}} / \text{мин}$
Деления и обката	Долблек – стол с заготовкой	1 об. долблека $\rightarrow (Z_{\text{делка}} / Z_{\text{обката}}) \text{ об. стола}$
Радиального врезания	Электродвигатель M2 – винт XVIII, р=10мм	$\Pi_{\text{раб}, \text{мин}}^{-1} \rightarrow S_{\text{раб.}} (\text{радиальная подача})$
Круговой подачи	Долблек – ползун П	1 об. долблека $\rightarrow K_{\text{раб.}} \text{ ползуна}$ (величина K соответствует заданному режиму обработки)

Пояснения к настройке кинематических цепей

- Настройка станка на число двойных ходов производится за счет переключения скоростей электродвигателя и сменных зубчатых колес a/b из прилагаемого комплекта: 27; 31; 36; 41; 45. Условие сцепляемости $a+b=72$.
- Для построек радиальных подач используются сменные зубчатые колеса a_2/b_2 из прилагаемого набора: 24; 39 (2 шт.); 54. Условие сцепляемости: $a_2+b_2=78$.
- Настройка круговых подач осуществляется с помощью коробки подач и сменных зубчатых колес a_3/b_3 из набора: 20; 36; 50; 60; 74; 90. Условие сцепляемости $a_3+b_3=110$.
- Настройка цепи обката и деления производится с помощью сменных зубчатых колес $a_1/b_1, c/d$ из набора: 20; 25; 30; 34; 37; 40; 41; 43; 45; 46; 47; 50; 55; 58; 60; 62; 65; 70 (2 шт.); 75; 80; 85; 90; 95; 100 (2 шт.).

Рекомендуемая литература [26, 16].

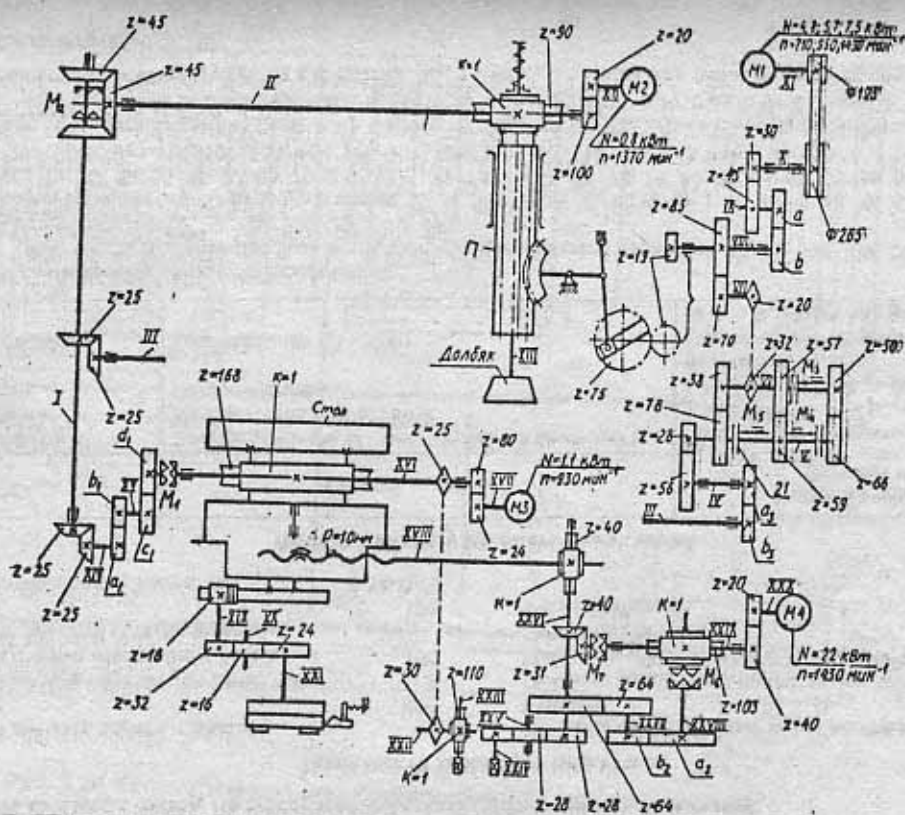


Рис. 3.27. Кинематическая схема зубодолбежного полуавтомата мод. 5В150

3.28. ЗУБОДОЛБЕЖНЫЙ ПОЛУАВТОМАТ МОДЕЛИ 5140

Назначение. Станок предназначен для нарезания цилиндрических колес с наружными и внутренними зубьями. На станке можно нарезать косозубые колеса. На зубодолбежном станке удобно нарезать блоки колес.

Техническая характеристика станка

Наибольший диаметр обрабатываемого колеса, мм.	500	Пределы чисел двойных ходов долблека в минуту.	65–450
Наибольший модуль нарезаемых колес, мм.	8	Пределы радиальных подач, мм/дв. ход.	0,02–0,1
Наибольшая ширина нарезаемого венца, мм.	100	Мощность главного электродвигателя, кВт	3,7
Номинальный диаметр устанавливаемого долблека, мм.	100	Габариты станка, мм.	1900x1450x2450
Пределы круговых подач, мм/дв. ход.	0,14–0,75	Масса станка, кг.	4400

Данные к анализу кинематических цепей

Кинематическая цепь	Конечные звенья цепи	Расчетные перемещения конечных звеньев
Главного движения Деления и обката Круговых подач	Электродвигатель М – вал – кулисный механизм К Долблэк – стол с заготовкой Ползун – долблэк	$P_{\text{двиг.}, \text{МН}}^{-1} \rightarrow P_{\text{дв. хода ползуна}}$ $1 \text{ об долблека} \rightarrow Z_{\text{долблека}} / Z_{\text{заготовки}}$ $1 \text{ дв. хода ползуна} \rightarrow S_v, \text{мм/дв. ход (круго-вая подача)}$
Радиальных подач	Гидроцилиндр Ц1 – стол	Скорость перемещения клиновой ползушки $P \rightarrow S_v, \text{мм/дв. ход (радиальная подача)}$

Пояснения к настройке kinematicых цепей

- Долбяк имеет шесть значений двойных ходов в минуту для черновой обработки: 65; 92; 132; 145; 206; 296 и шесть значений – для чистовой обработки: 99; 140; 200; 220; 310; 450.
 - Набор сменных колес гитары деления и обката: Z=24; 30; 32; 36; 38; 40 (2 шт.); 44; 45; 46; 48; 50; 51; 52; 54; 55; 56; 57; 58; 59; 60 (2 шт.); 61; 62; 64; 65; 66; 67; 68; 70 (2 шт.); 71; 72; 73; 74; 75; 76; 78; 79; 80; 82; 83; 84; 85; 86; 88; 89; 90 (2 шт.); 91; 92; 94; 96; 97; 98; 100 (2 шт.); 101; 102; 103; 104; 106; 107; 108; 109; 112; 113; 114; 115; 116; 118; 120.
 - При подборе колес гитары должно быть: $a + b = 120$, $c = K \cdot Z_d$, где $K = 1,2$; Z_d – число зубьев долбяка.
 - Обеспечивается восемь значений круговых подач: 0,14; 0,18; 0,22; 0,29; 0,36; 0,45; 0,59; 0,75 мм/дв. ход.
 - Радиальная подача обеспечивается в пределах: $S_{\text{рад}} = 0,025 - 0,1$ мм/дв. ход (устанавливается дросселем).

Рекомендуемая литература [13, 26]

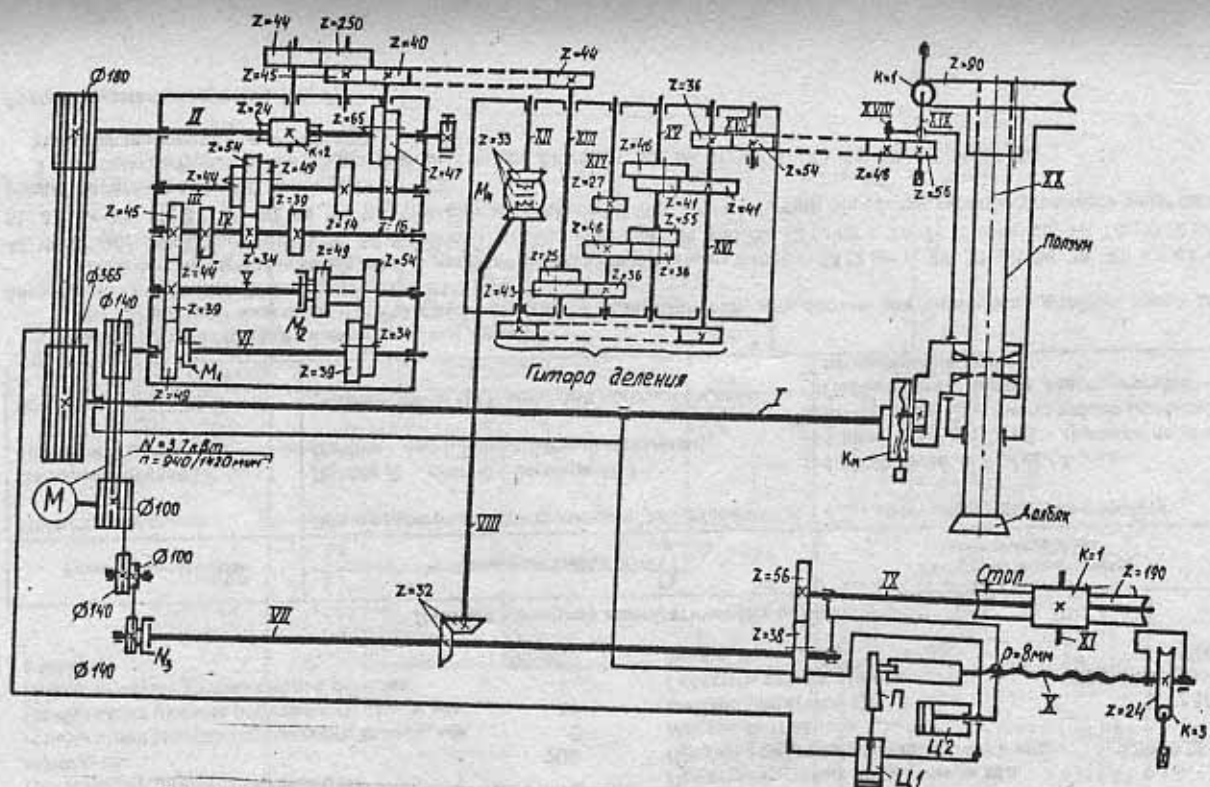


Рис. 3.28. Кинематическая схема зубодолбечного полуавтомата мод. 5140

3.29. ЗУБОДОЛБЕЖНЫЙ СТАНОК МОДЕЛИ 5122

Назначение. Станок предназначен для нарезания цилиндрических колес наружного или внутреннего зацепления. На нем удобно производить нарезание блоков колес. На станке можно производить нарезание косозубых колес.

Техническая характеристика станка

Наибольший диаметр нарезаемого колеса, мм.....	200	Пределы круговых подач, мм/да.ход.....	0,16–1,6
Наибольший модуль нарезаемого колеса, мм.....	5	Пределы радиальных подач, мм/дв.ход.....	0,03–0,286
Наибольшая ширина нарезаемого венца, мм.....	50	Мощность главного электродвигателя, кВт.....	2,1/3
Пределы чисел двойных ходов долблека в минуту.....	200–850	Габариты станка, мм.....	2700x1400x1945
		Масса, кг.....	3700

Данные к анализу кинематических цепей

Кинематическая цепь	Конечные звенья цепи	Расчетные перемещения конечных звеньев
Главного движения	Электродвигатель M – кривошипный механизм КМ	$P_{\text{зап.}, \text{МИН}}^{-1} \rightarrow P_{\text{дв.х.}} \text{ долблека в минуту}$
Деления и обката	Долблек Д – стол С с заготовкой З	1 об.долблека $\rightarrow Z_{\text{долблека}} / Z_{\text{заготовки}}$
Круговой подачи	Долблек – вал II (кривошипный механизм)	1 дв.х. $\rightarrow S_x / \pi m Z_d$ (S_x – круговая подача; m – модуль; Z_d – число зубьев долблека)
Врезания	Гидроцилиндр Ц1 – клиновая ползушка – стол	Перемещение штока гидроцилиндра \rightarrow перемещение стола

Пояснения к настройке кинематических цепей

- Двухскоростной электродвигатель и сменные шкивы позволяют получить восемь значений чисел двойных ходов долблека в минуту: 200; 280; 305; 400; 430; 560; 615; 850.
- Числа зубьев сменных колес гитары деления и обката выбираются из набора: 24 (2 шт.); 28; 30; 32; 36; 38; 40; 43; 44; 45; 47; 48 (2 шт.); 50; 52; 54; 56; 57; 58; 59; 60 (3 шт.); 61; 62; 64; 65; 66; 68; 69; 70; 72 (2 шт.); 74; 75 (2 шт.); 76; 77; 78; 80 (2 шт.); 81; 82; 84; 85; 86; 87; 88; 90; 92; 96; 98. Условия зацепления: $a+b = 120$; $c < 96$. Для обработки колес внутреннего зацепления вводят паразитное колесо Р, причем $P+d > 121$.
- Комплект сменных колес гитары круговых подач: $Z = 26; 31; 36; 39; 41; 44; 47; 53; 56; 59; 61; 64; 69; 74$.
- Условие зацепления: $e+f=g+h=100$.

Рекомендуемая литература [15, 7].

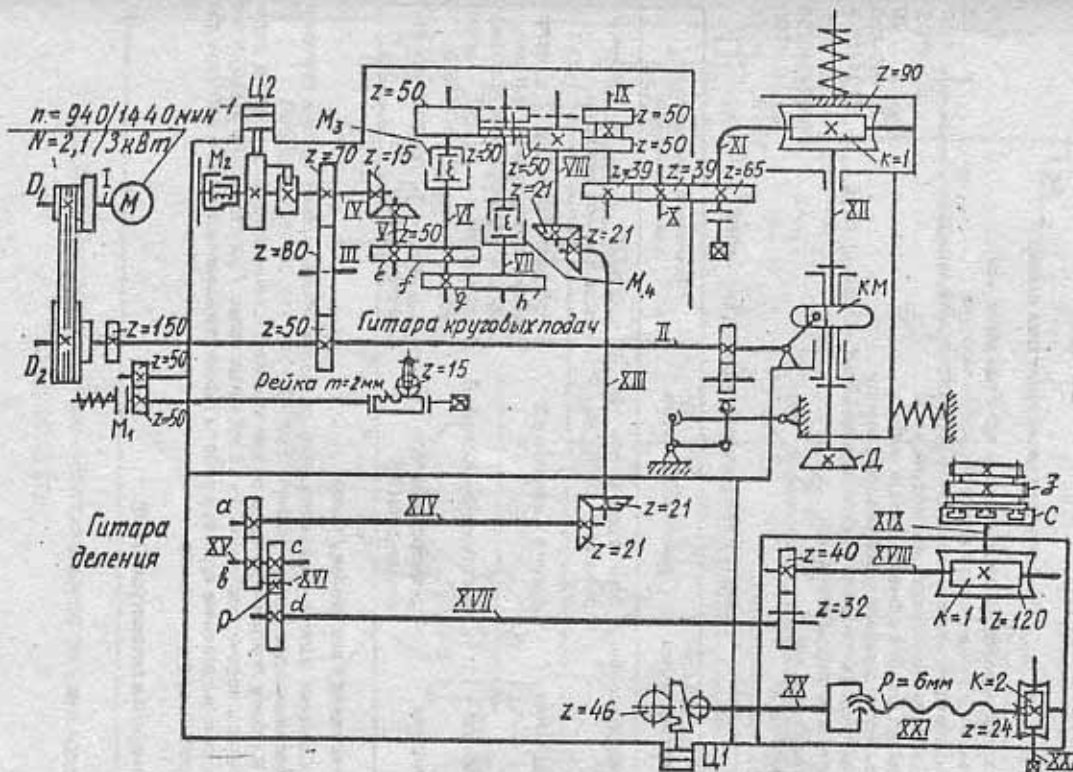


Рис. 3.29. Кинематическая схема зубодолбечного станка мод. 5122

3.30. ЗУБОСТРОГАЛЬНЫЙ СТАНКИ МОДЕЛИ БП23БП

Назначение. Станок предназначен для обработки по методу обката конических зубчатых колес с прямым зубом.

Техническая характеристика станка

Наибольший диаметр обрабатываемых зубчатых колес, мм.	125
Наибольшая длина внешнего конусного расстояния, мм.	63
Наибольшее передаточное отношение обрабатываемой передачи	1:10
Наибольший окружной модуль, мм.	2,5
Наибольшая ширина зубчатого венца, мм.	20
Пределы чисел двойных ходов резцов в минуту	160-800
Пределы продолжительности цикла нарезания зуба (подача), с/зуб	7,7-101,7
Мощность электродвигателя, кВт	1,1
Габариты станка, мм	1295x945x1700
Масса станка, кг.	1800

Данные к анализу кинематических цепей

Кинематическая цепь	Конечные звенья цепи	Расчетные перемещения конечных звеньев	
		При $\dot{\theta}_{\text{раб}}$ МИН ⁻¹	При $\dot{\theta}_{\text{раб}}$ (двойных ходов в минуту) суппорта
Главного движения	Электродвигатель M – рецидивные суппорты (P1, P2)	$\dot{\theta}_{\text{раб}}$ МИН ⁻¹ → Период (двойных ходов в минуту) суппорта	
Цепь деления	Вал РВ – заготовка 3	1 об. вала РВ → Z ₁ /Z ₂ (Z ₁ – чисто зубьев, пропускаемых при делении, Z ₂ – число нарезаемых зубьев)	
Цепь обката	Заготовка 3 – лопатка П	1 об. заготовки → Z ₁ /Z ₂ (Z ₁ – чисто зубьев производящего колеса)	
Цепь подачи	Электродвигатель M – распределитель РВ	При $\dot{\theta}_{\text{раб}}$ МИН ⁻¹ → $\dot{\theta}_{\text{раб}}$ (при рабочем ходе станка), мин	

Пояснения к настройке станка

1. Сменные колеса шестерни главного движения обеспечивают восемь ступеней чисел двойных ходов резцов в минуту: 150; 190; 240; 310; 390; 500; 625; 750.

2. К станку прилагается один общий комплект сменных колес для шестерен деления, обката и подачи, состоящий из 55 зубчатых колес. При отсутствии руководства к станку при выполнении курсовой работы можно пользоваться общим набором для зубообрабатывающих станков.

Рекомендуемая литература [24, 9].

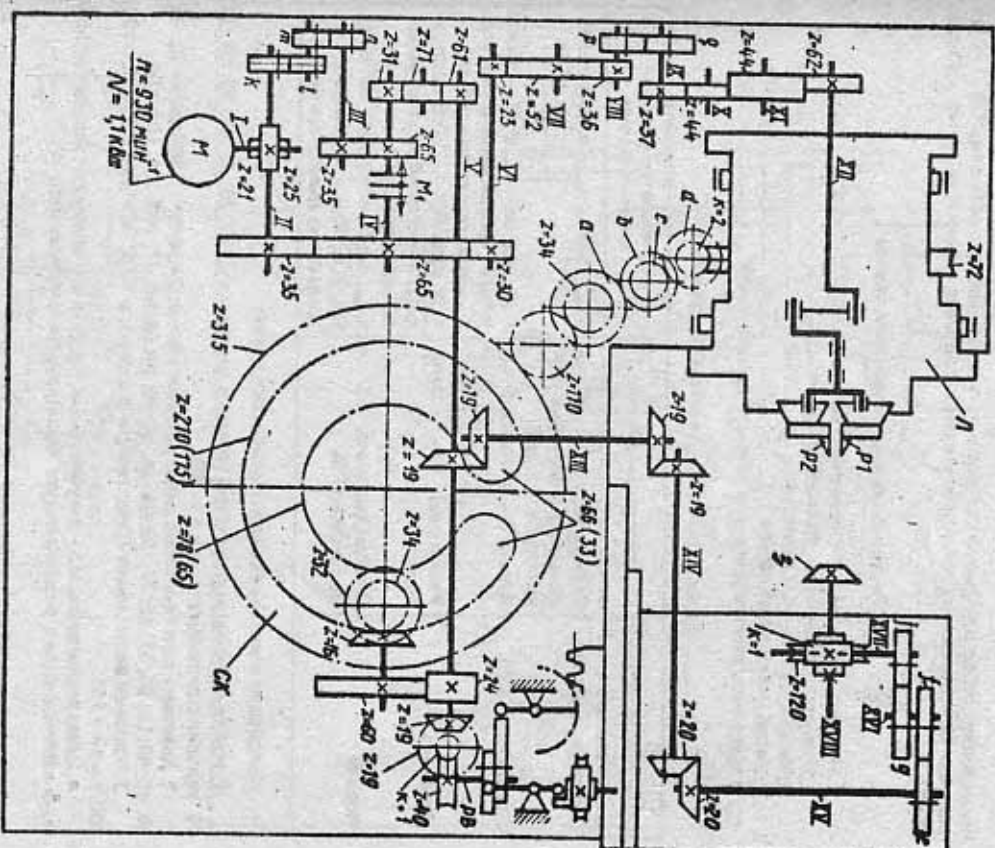


Рис. 3.30. Кинематическая схема зубострогального полуавтомата

3.31. ЗУБОСТРОГАЛЬНЫЙ ПОЛУАВТОМАТ МОДЕЛИ 5236П

Назначение. Зубострогальный полуавтомат повышенной точности мод.5236П предназначен для нарезания прямозубых мелкомодульных конических колес методом обката.

Техническая характеристика станка

Наибольший диаметр нарезаемого колеса, мм.....	125
Наибольшая ширина зубчатого венца, мм.....	20
Модуль нарезаемых колес, мм.....	0,5-2
Число нарезаемых зубьев.....	12-100
Мощность электродвигателя главного движения, кВт	0,6

Данные к анализу кинематических цепей

Кинематическая цепь	Конечные звенья цепи	Расчетные перемещения конечных звеньев
Главного движения	Электродвигатель M1 – кривошипно-шатунный механизм КМ (резцы)	$n_{\text{глав}} \text{ мин}^{-1} \rightarrow \rho_{\text{глав}} / \text{мин}$ (резцов).
Обката	Люлька П – заготовка З	1 об. люльки $\rightarrow Z_c Z$ (Z_c – число зубьев производящего колеса; Z – число нарезаемых зубьев)
Деления	Распределвал PB ₁ – заготовка З	1 об. вала PB ₁ $\rightarrow Z_1/Z_{\text{об}}$ заготовки (Z_1 – число зубьев, пропускаемых при делении)
Подачи	Электродвигатель M2 – распределвал PB ₂	$n_{\text{подач}} \text{ мин}^{-1} \rightarrow (\theta_p/360^\circ) \text{ об. вала PB}_2$ ($\theta_p=210^\circ$ – угол поворота распределвала за время рабочего хода)

Пояснения к настройке кинематических цепей

1. Набор сменных колес гитары главного движения: Z=31; 36; 41; 47; 53; 59; 64; 69. Условие сцепляемости: $a + b = 100$.
2. Комплект сменных колес гитар деления обката: Z=24; 30; ...; 80 (кроме 32; 35; 38; 45; 49; 51; 55; 57; 65; 77); 82; 83; 86; 89; 90; 91; 93; 94; 97; 100; 101; 104; 109.
3. Условия зацепления колес гитары деления: $c < 70$; $89 < c+d < 128$; $f < 100$; $100 < e+f < 168$.
4. Электродвигатель M2 – регулируемый, частота его вращения зависит от времени рабочего хода t_p в секундах (что характеризует величину подачи).

Рекомендуемая литература [15, 18].

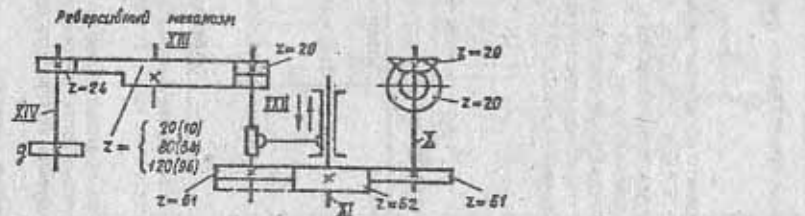
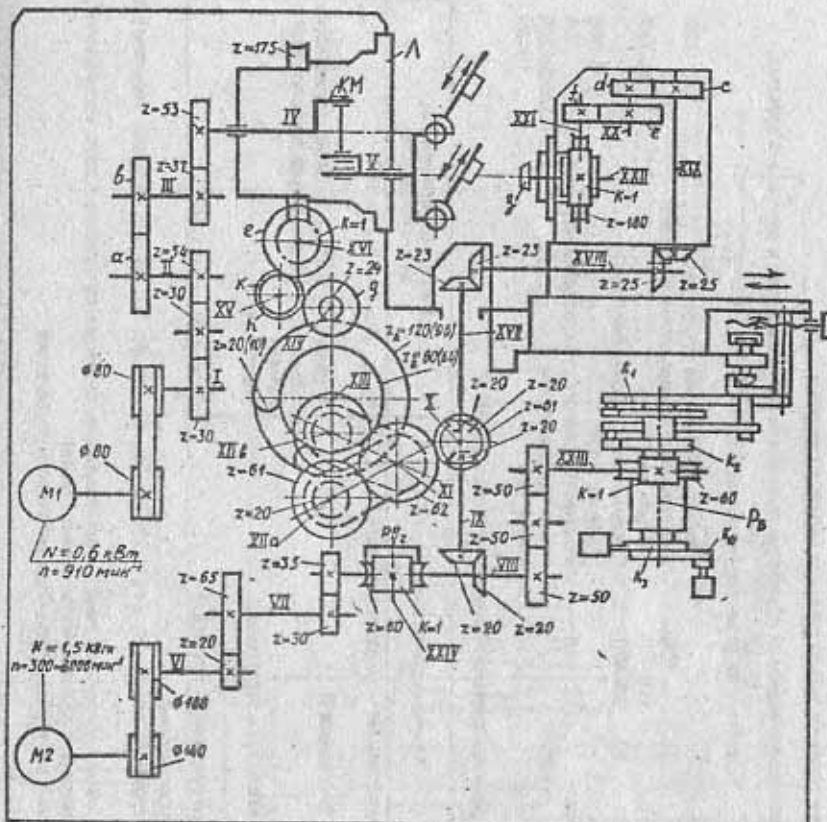


Рис. 3.31.Кинематическая схема зубострогального полуавтомата
мод. 5236П

3.32. ЗУБОРЕЗНЫЙ СТАНОК МОДЕЛИ ВС200П

Назначение. Станок предназначен для чистовой и черновой обработки конических зубчатых колес с прямозубым типом зацепления.

Техническая характеристика станка

Наибольший диаметр обрабатываемых колес, мм	800	Наибольшая ширина венца, мм	125
Пределы длины внешнего конусного расстояния нарезаемых колес, мм	50–400	Пределы частоты вращения разцовой головки, мин ⁻¹	20–127
Наибольшее передаточное отношение передачи, для которой нарезаются колеса	1:10	Пределы цикла нарезаемого зуба (подача), с/зуб	5–200
Наибольший внешний окружной модуль, мм	16	Мощность главного электродвигателя, кВт	7,5
		Габариты станка, мм	3100x2300x2200
		Масса, кг	15000

Данные к анализу kinематических цепей

Кинематическая цепь	Конечные звенья цепи	Расчетные перемещения конечных звеньев
Главного движения	Электродвигатель М1 – резцовая головка Р	$\Pi_{\text{м.д.}} \text{, МИН}^{-1} \rightarrow \Pi_{\text{р.}}, \text{МИН}^{-1}$
Обката	Заготовка З – люлька Л	$1 \text{ об.заг.} \rightarrow Z/Z_e$ (Z – число нарезаемых зубьев, Z_e – число зубьев производящего колеса)
Деления	Гидродвигатель ГД – заготовка З	$1/3(\text{об. ГД}) \rightarrow 1/Z$
Подачи	Электродвигатель М2 – люлька Л	$\Pi_{\text{под.}} \text{, МИН}^{-1} \rightarrow \Pi_{\text{л.}}, \text{МИН}^{-1}$

Пояснения к настройке kinematicых цепей

1. Комплект сменных колес гитары главного движения: Z=21; 25; 29; 33; 42; 47; 38; 51; 55; 59. Условие зацепления: $A+B=80$
 2. Для подбора сменных колес гитар обката, деления и подачи при отсутствии руководства к станку можно использовать общий набор зубчатых колес, рекомендуемый для зубообрабатываемых станков.
 3. В рекомендованной литературе описана настройка цепей модификатора и управления.

Рекомендуемая литература [24]

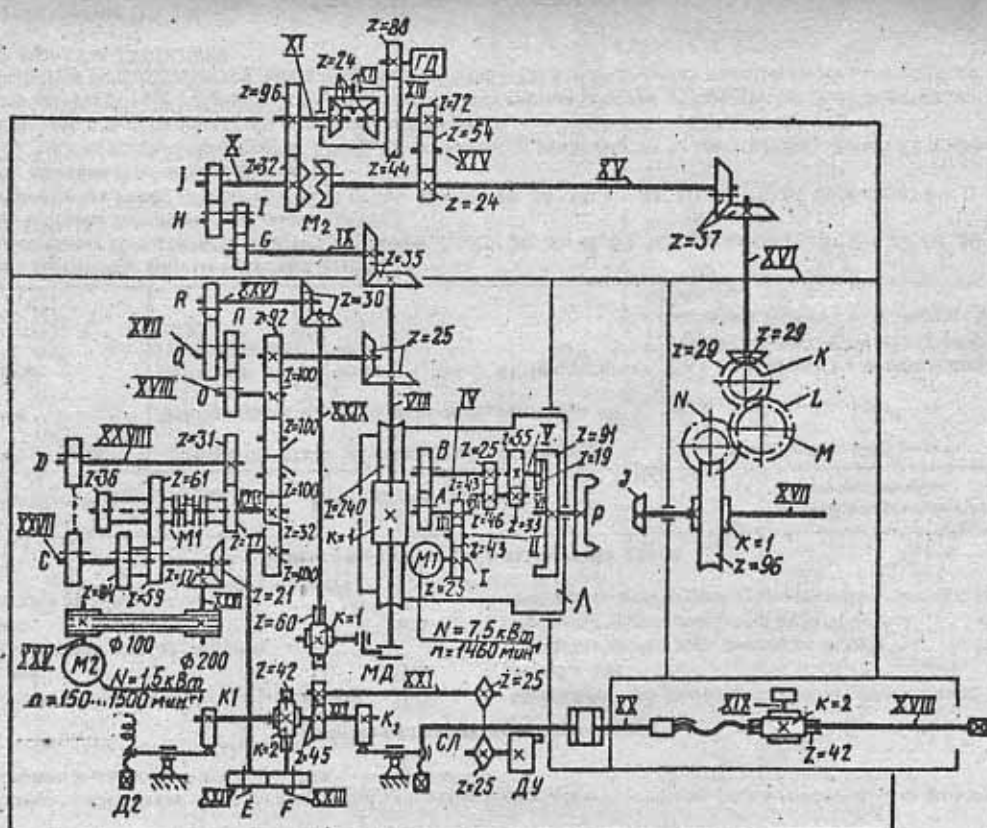


Рис. 3.32. Кинематическая схема зуборезного станка мод. 5С280П

3.33. РЕЗЬБОФРЕЗЕРНЫЙ ПОЛУАВТОМАТ МОДЕЛИ 5Б63

Назначение. Станок предназначен для фрезерования коротких наружных и внутренних резьб гребенчатыми фрезами в условиях крупносерийного и массового производства.

Техническая характеристика станка

Наибольший диаметр заготовки, устанавливаемой над станиной, мм.....	450	Максимальный диаметр фрезеруемой наружной резьбы, мм.....	80
Наибольшее расстояние между торцами шпинделей, мм.....	400	Пределы частот вращения фрезы, мин ⁻¹	160–2500
Наибольшая длина резьбы, мм.....	50	Пределы частот вращения детали, мин ⁻¹	0,315–16

Данные к анализу кинематических цепей

Кинематическая цепь	Конечные звенья цепи	Расчетные перемещения конечных звеньев
Главного движения	Электродвигатель M1 – шпиндель фрезы VI	$n_{\text{пл.д}} \text{, мин}^{-1} \rightarrow n_{\text{фр.}}, \text{мин}^{-1}$
Круговой подачи	Электродвигатель M2 – шпиндель заготовки XII	$n_{\text{пл.д}} \text{, мин}^{-1} \rightarrow n_{\text{пер.}}, \text{мин}^{-1}$
Винторезная цепь	Шпиндель XII заготовки – копир K1 продольного перемещения	За 1 об. копира K1 и копира врезания K2 заготовка делает 1,31 об., причем 0,31 об. занимает врезание и вывод фрезы из резьбы

Пояснение к настройке кинематических цепей

1. Комплект сменных колес гитары главного движения: $Z = 22, 26, 30, 48, 52, 56$ (для колес *a* и *b*); $Z = 22, 26, 30, 48, 52, 56$ (для колес *c* и *d*). Условие сцепляемости: $a+b=c+d=78$.
2. Комплект сменных колес гитары круговых подач: $Z = 25, 29, 34, 38, 43, 44, 49, 53, 58, 62$ (для колес *e* и *f*); $Z = 23, 65$ (для колес *g* и *h*). Условия сцепляемости: $e+f=87$.
3. Копиры K1 и K2 вращаются синхронно. Копир K1 – сменный, в зависимости от шага резьбы. Копир K2 поперечного перемещения – сменный, для определенного диапазона шагов резьб.
4. Ускоренно-замедленный подвод и ускоренный отвод фрезерной головки осуществляется от электродвигателя M3. Быстрое перемещение осуществляется через передачи 38/67x67/33, а замедленное перемещение (при подходе копира K1 к упору Y через передачи 23/82x20/80.

Рекомендуемая литература [15, 13].

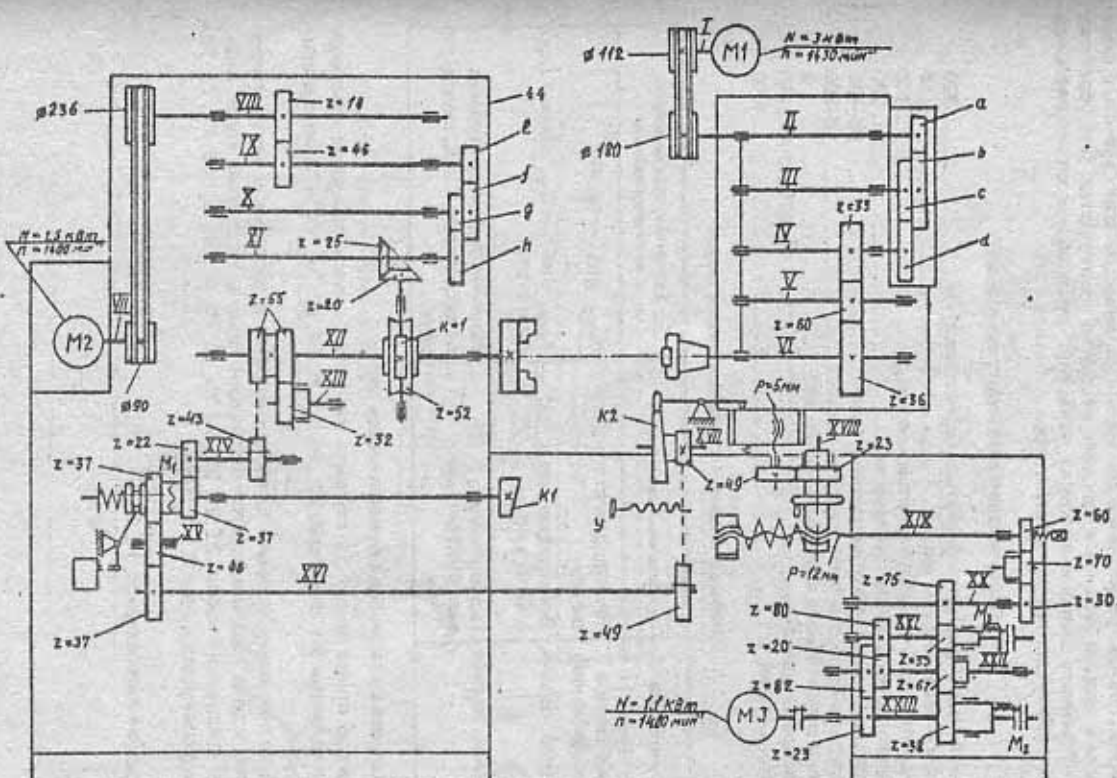


Рис. 3.33. Кинематическая схема резьбофрезерного полуавтомата мод. 5Б63

3.34. ЗУБОШЕВИНГОВАЛЬНЫЙ СТАНОК МОДЕЛИ 5702

Назначение. Станок предназначен для обработки цилиндрических зубчатых колес с прямыми и косыми зубьями в условиях массового производства. Для обработки колес внутреннего зацепления станок оснащают специальной шевинговой головкой и бабкой для крепления заготовки.

Техническая характеристика станка

Наибольший диаметр обрабатываемого колеса, мм.....	320
Наибольший модуль, мм.....	6
Наибольшая ширина зубчатого венца, мм.....	100
Наибольший диаметр шеверов, мм.....	280
Пределы частот вращения шевера, мин ⁻¹	50–400
Пределы продольных подач стола, мм/мин.....	18–300
Мощность главного электродвигателя, кВт.....	3
Габариты станка, мм.....	1675x1240x2160
Масса станка, кг.....	4700

Данные к анализу кинематических цепей

Кинематическая цепь	Конечные звенья цепи	Расчетные перемещения конечных звеньев
Вращения шевера (главного движения)	Электродвигатель M1 – шевер	$\nu_{\text{пл.д.}}, \text{мин}^{-1} \rightarrow \nu_e, \text{мин}^{-1}$
Продольной подачи стола	Электродвигатель M2 – винт X, $p=6\text{мм}$	$\nu_{\text{пл.д.}}, \text{мин}^{-1} \rightarrow S_x, \text{мм/мин}$ (подача стола)
Радиальной подачи стола	Гидроцилиндр Ц1 винт XVII, $p=6 \text{ мм}$	Величина перепада ступенек на торце кулачка K $\rightarrow S_p, \text{мм/ход стола}$

Пояснения к настройке кинематических цепей

1. Шевер станка имеет 10 ступеней скорости, частоту вращения изменяют сменными колесами a/b из набора: 22; 26; 30; 35; 39; 45; 54; 58. Условия сцепляемости $a+b=84$.

2. На станке предусмотрено 13 минутных подач в продольном направлении. Требуемая подача устанавливается с помощью сменных зубчатых колес a/b_1 , используя следующий набор: 20; 21; 25; 30; 35; 40; 45; 51; 56; 61; 66; 71; 75; 76. Условия сцепляемости $a_1+b_1=96$.

Рекомендуемая литература [8, 16, 26].

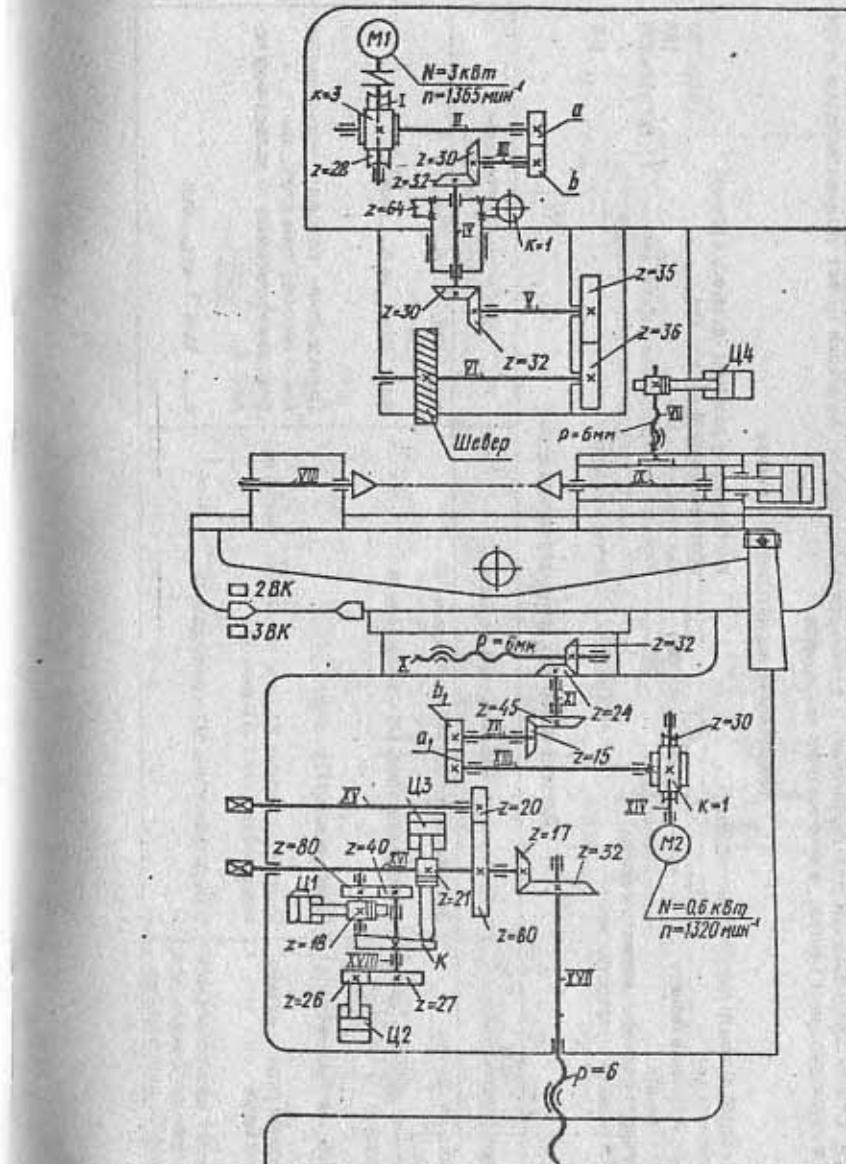


Рис. 3.34. Кинематическая схема зубошевингового станка

мод. 5702

3.36. КРУГЛОШЛИФОВАЛЬНЫЙ СТАНОК МОДЕЛИ ЗУ131

Назначение. Универсальный круглошлифовальный станок мод. ЗУ131 предназначен для шлифования наружных цилиндрических и конических поверхностей. С помощью специального приспособления можно осуществлять и внутреннее шлифование. Станок предназначен для единичного и серийного производства, заготовка может устанавливаться и крепиться в невращающихся центрах, в патроне или в планшайбе.

Техническая характеристика станка

Наибольший диаметр наружной шлифуемой поверхности, мм:		Наибольшие размеры (диаметр x длина) обрабатываемой детали, мм	280x700
при установке люнета	60	Высота центров, мм	185
без люнета	280	Размеры шлифовального круга, мм	600x50x305
Наибольшие размеры (диаметр x длина) обрабатываемого отверстия, мм	100x125	Мощность электродвигателя привода шлифовального круга, кВт	5,5

Данные к анализу кинематических цепей

Кинематическая цепь	Конечные звенья цепи	Расчетные перемещения конечных звеньев
Главного движения	Электродвигатель M4 – шпиндель VII	$\dot{P}_{\text{подж.}} \text{ мин}^{-1} \rightarrow P_{\text{шл.}}, \text{мин}^{-1}$
Вращения детали (круговой подачи)	Электродвигатель M1 – шпиндель III	$\dot{P}_{\text{подж.}} \text{ мин}^{-1} \rightarrow P_{\text{шл.}}, \text{мин}^{-1}$
Продольной подачи стола	Гидроцилиндр ГЦ – стол	Перемещение поршня гидроцилиндра, мм → перемещение стола, мм
Поперечной подачи шлифовальной бабки	Маховичок подачи Р1 (или маховичок тонкой доводочной подачи Р2) – винт XI	Вращение маховичка → поперечная подача S_x
Вращение шлифовального круга приспособления для внутреннего шлифования	Электродвигатель M2 – шпиндель IV	$\dot{P}_{\text{подж.}} \text{ мин}^{-1} \rightarrow P_{\text{шл.}}, \text{мин}^{-1}$

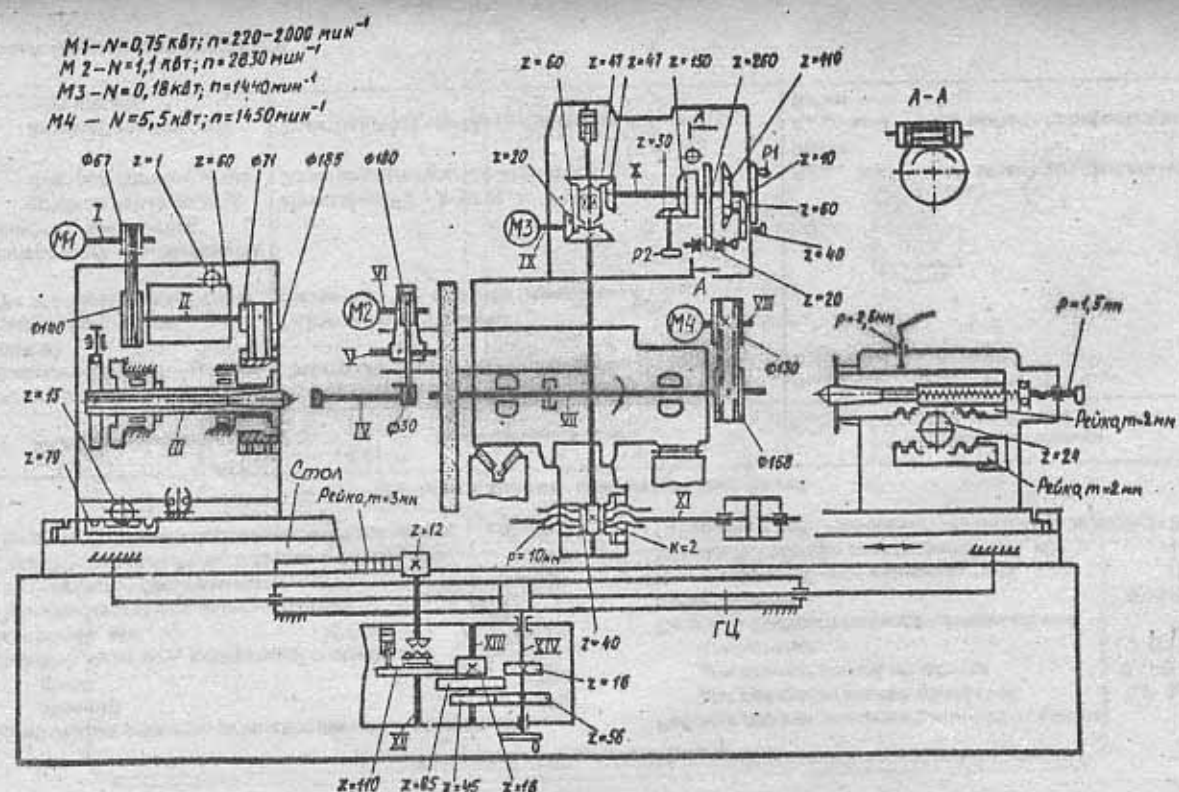


Рис. 3.35. Кинематическая схема круглошлифовального станка мод. ЗУ131

3.36. КРУГЛОШЛИФОВАЛЬНЫЙ ПОЛУАВТОМАТ МОДЕЛИ ЗМ151Ф2 С ЧПУ

Назначение. Станок предназначен для шлифования цилиндрических гладких и прерывистых поверхностей многоступенчатых валов в условиях мелкосерийного и серийного производства.

Техническая характеристика станка

Наибольшие размеры устанавливаемой заготовки, мм:		Рабочие подачи шлифовальной бабки, мм/мин:
диаметр.....	200	для предварительной обработки..... 0,2-1,2
длина.....	700	для окончательной обработки..... 0,1-0,6
Диаметр заготовки, шлифуемой с активным контролем, мм.....	20-85	доводочные..... 0,02-0,12
Пределы частот вращения заготовки (регулируются бесступенчато), мин ⁻¹	50-500	Скорость быстрого подвода шлифовальной бабки, мм/мин..... 0,05-5
Скорость шлифовального круга(не более), м/с.....	50	Число скоростей перемещения стола..... 10
Пределы скоростей перемещения стола, м/мин.....	0,05-5	Мощность главного электродвигателя, кВт..... 10
		Габаритные размеры станка, мм..... 4950x2400x2170

Данные к анализу кинематических цепей

Кинематическая цепь	Конечные звенья цепи	Расчетные перемещения конечных звеньев
Главного движения	Электродвигатель M1 – шпиндель VIII	
Вращения детали (круговой подачи)	Электродвигатель M2 – планшайба Пл (деталь)	$n_{\text{пл.}, \text{мин}^{-1}} \rightarrow n_{\text{шп.}, \text{мин}^{-1}}$ $n_{\text{пл.}, \text{мин}^{-1}} \rightarrow n_d, \text{мин}^{-1}$
Продольной подачи	Гидроцилиндр Ц1 – стол	
Ручного перемещения стола	Маховичок Р1 – реальная передача	
Поперечного перемещения шлифовальной бабки:		
установочный подвод	Маховичок Р2 – винт X	$n_{\text{пл.}, \text{мин}^{-1}} \rightarrow V, \text{м/мин шлифовальной бабки}$
быстрое перемещение	Электродвигатель M4 – винт X	
автоматическая рабочая подача	Электродвигатель M3 (регулируемый) – винт X	$n_{\text{пл.}, \text{мин}^{-1}} \rightarrow S_a, \text{мм/мин шлифовальной бабки}$

Рекомендуемая литература [13].

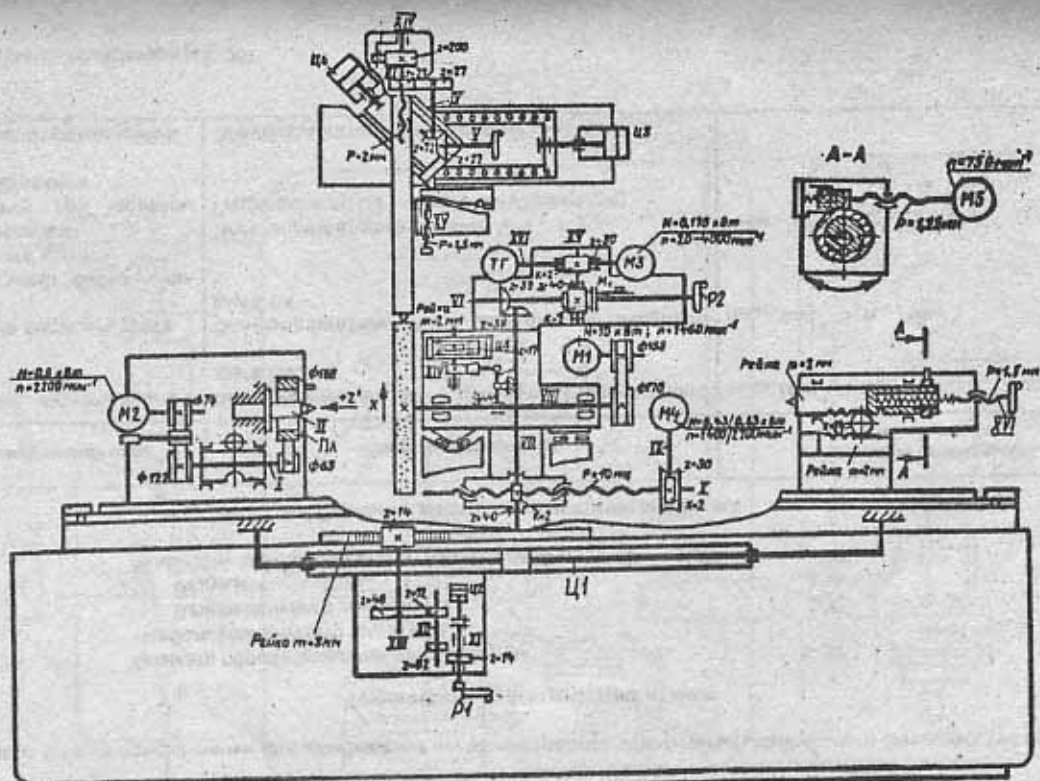


Рис. 3.36. Кинематическая схема круглошлифовального полуавтомата мод. ЗМ151Ф2 с ЧПУ

3.37. БЕСЦЕНТРОВОШЛИФОВАЛЬНЫЙ СТАНОК МОДЕЛИ ЗМ184

Назначение. Станок предназначен для шлифования наружных гладких, ступенчатых, конических и фасонных тел вращения.

Техническая характеристика станка

Диаметр обрабатываемых заготовок, мм	3-80
Наибольший диаметр круга, мм:	
шлифовального	500
ведущего	350
Мощность электродвигателя главного движения, кВт	13

Данные к анализу кинематических цепей

Кинематическая цепь	Конечные звенья цепи	Расчетные перемещения конечных звеньев
Вращения шлифовального круга	Электродвигатель M1 - шпиндель I шлифующего круга ШК	$n_{\text{шлф}}, \text{мин}^{-1} \rightarrow n_{\text{шлф}}, \text{мин}^{-1}$
Вращения ведущего круга	Электродвигатель M2 - шпиндель III ведущего круга ВК	$n_{\text{ведщ}}, \text{мин}^{-1} \rightarrow n_{\text{ведщ}}, \text{мин}^{-1}$
Перемещения бабки шлифовального круга: ускоренное подача при врезном шлифовании	Электродвигатель M3 - винт V Гидроцилиндр Ц2 - винт V (без вращения)	$n_{\text{шлф}}, \text{мин}^{-1} \rightarrow V, \text{мм/мин}$
Механизмов правки кругов	Электродвигатель M4 - винт, $p=2 \text{ мм}$	

Рекомендуемая литература [15, 25].

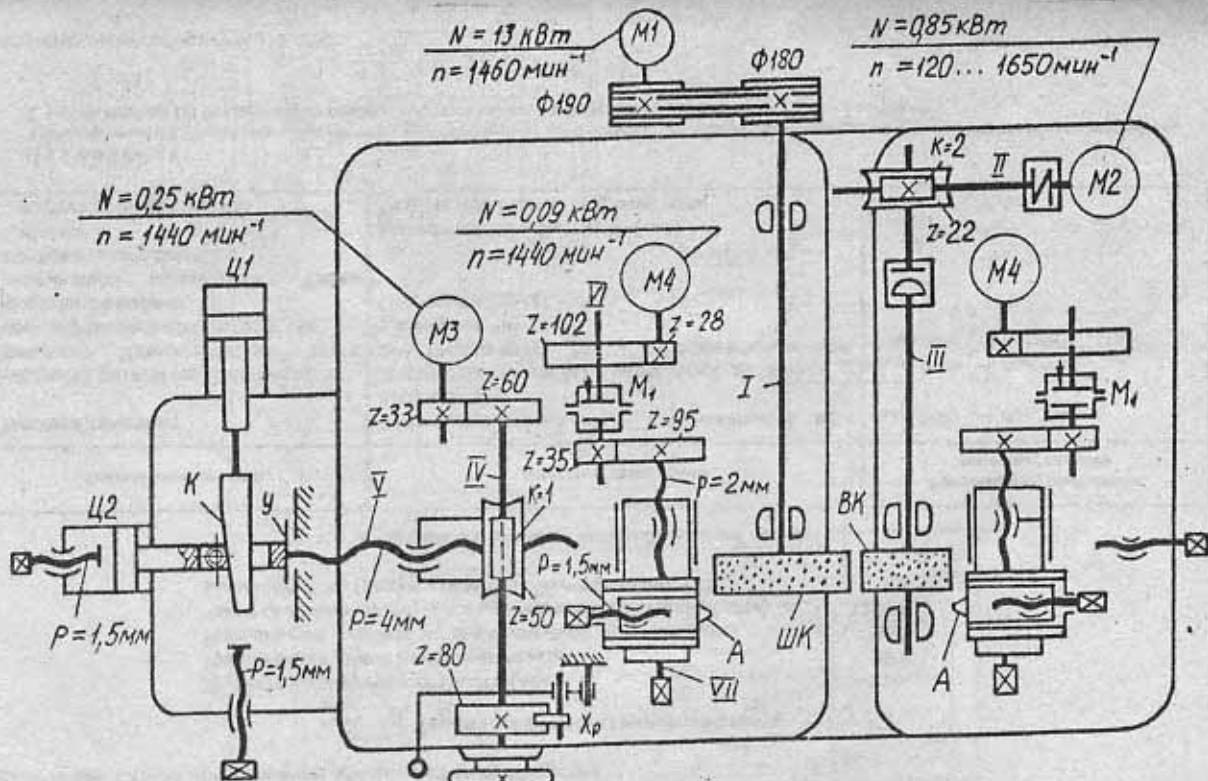


Рис. 3.37. Кинематическая схема бесцентровошлифовального станка мод. ЗМ184

3.38. ВНУТРИШЛИФОВАЛЬНЫЙ СТАНОК МОДЕЛИ ЗК227В

Назначение. Станок предназначен для шлифования отверстий.

Техническая характеристика станка

Диаметр шлифуемых отверстий, мм	50–220
Наибольшая длина шлифования, мм	200
Наибольший диаметр устанавливаемой заготовки, мм	560
Частота вращения внутришлифовальных шпинделей мин ⁻¹	12000
Мощность электродвигателя главного движения, кВт	4

Данные к анализу кинематических цепей

Кинематическая цепь	Конечные звенья цепи	Расчетные перемещения конечных звеньев
Главного движения	Электродвигатель M1 – шлифовальный круг (шпиндель I)	$\pi_{\text{шл}} \text{,мин}^{-1} \rightarrow \pi_{\text{шл}} \text{,мин}^{-1}$
Вращения детали (круговой подачи)	Электродвигатель M2 – шпиндель II детали	$\pi_{\text{под}} \text{,мин}^{-1} \rightarrow \pi_{\text{дет}} \text{,мин}^{-1}$
Вращения шлифовального круга торцевшлифовального устройства	Электродвигатель M3 – шлифовальный круг (шпиндель XII)	$\pi_{\text{под}} \text{,мин}^{-1} \rightarrow \pi_{\text{шл}} \text{,мин}^{-1}$
Продольной подачи	Гидроцилиндр Ц1 – стол	
Поперечного перемещения бабки шлифовального круга:		
ручное	Маховичок Р5 – винт X, $p=5 \text{мм}$	
автоматическая подача	Осуществляется от гидросистемы	

Примечания:

1. Маховичком Р8 (через зубчатые колеса к круговую рейку) осуществляют продольное перемещение торцевшлифовального устройства.
2. Гидроцилиндр Ц3 осуществляет поворот хобота с торцевшлифовальным шпинделем.

Рекомендуемая литература [15, 25].

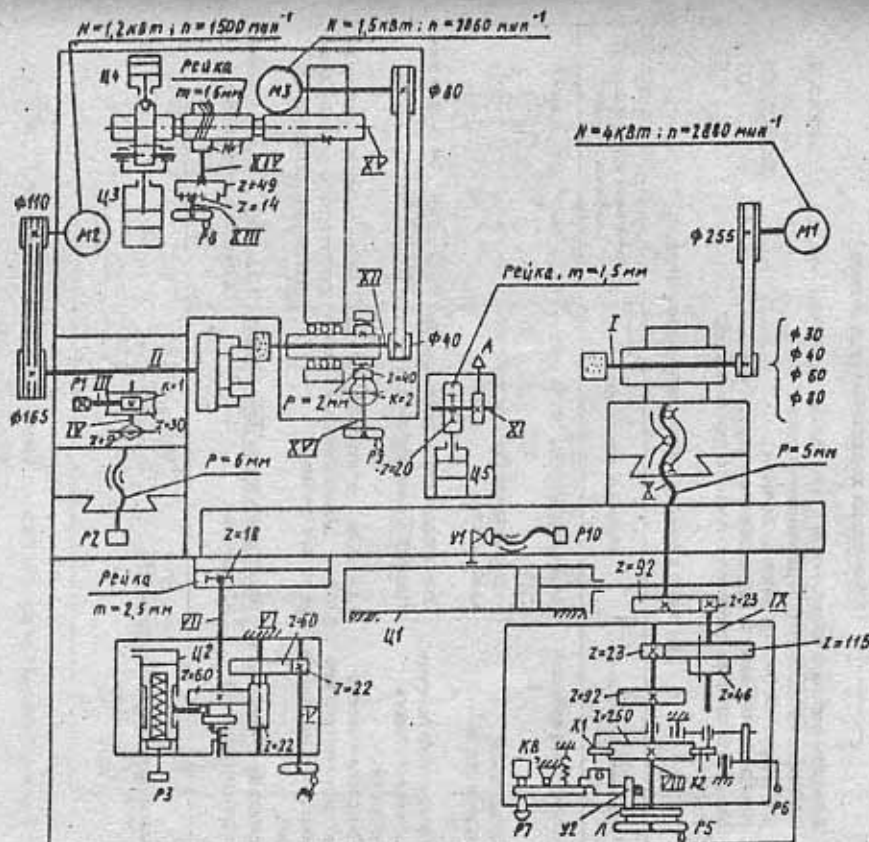


Рис. 3.38. Кинематическая схема внутришлифовального станка мод. ЗК227В

3.39. ПЛОСКОШЛИФОВАЛЬНЫЙ СТАНОК МОДЕЛИ ЗЕ721ВФ1-1

Назначение. Станок предназначен для шлифования плоских поверхностей периферий круга. Вследствие высокого уровня автоматизации цикла обработки, в том числе программируемого съема припуска, станок целесообразно использовать в средне- или крупносерийном производстве.

Техническая характеристика станка

Размеры рабочей поверхности стола (длина x ширина), мм.....	630x320
Скорость продольного перемещения стола (регулируется бесступенчато), мм/мин.....	2000–35000
Наибольший диаметр шлифовального круга, мм.....	300
Мощность электродвигателя главного движения, кВт	7,5

Данные к анализу кинематических цепей

Кинематическая цепь	Конечные звенья цепи	Расчетные перемещения конечных звеньев
Главного управления	Электродвигатель M1 – шпиндель!	$n_{\text{шп}} \text{ мин}^{-1} \rightarrow n_{\text{шп}} \text{ мин}^{-1}$
Продольной подачи стола	Гидроцилиндр (на схеме не показан) – стол	$n_{\text{стол}} \text{ мин}^{-1} \rightarrow S \text{ мм/мин}$
Поперечного перемещения крестового суппорта	Электродвигатель постоянного тока M2 – винт XIII, $r=5\text{мм}$	$n_{\text{стол}} \text{ мин}^{-1} \rightarrow S \text{ мм/мин}$ (суппорта)
Программируемого автоматического вертикального перемещения	Шаговый электродвигатель M3 – шлифовальная бабка (винт XIV, $r=6\text{мм}$)	Поворот вала шагового двигателя → перемещение шлифовальной бабки, мм
Ускоренного вертикального перемещения	Электродвигатель M4 – винт XIV, $r=6\text{мм}$	$n_{\text{шп}} \text{ мин}^{-1} \rightarrow V \text{ мм/мин}$ (шлифовальной бабки)

Рекомендуемая литература [15].

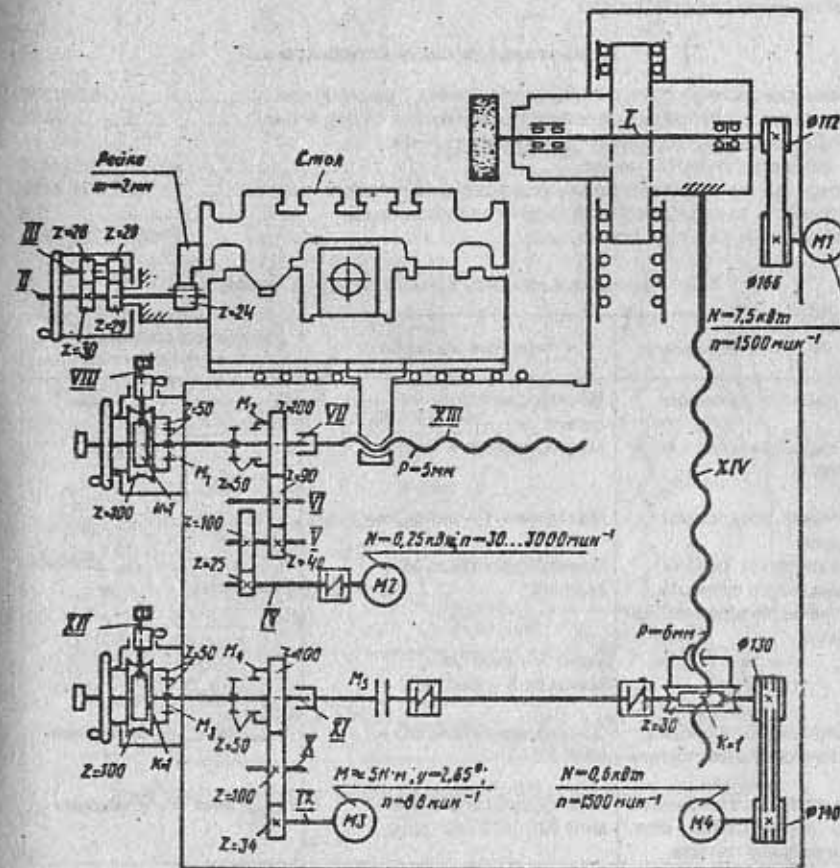


Рис. 3.39. Кинематическая схема плоскошлифовального станка мод. ЗЕ721ВФ1-1

3.40. ПЛОСКОШЛИФОВАЛЬНЫЙ СТАНОК МОДЕЛИ ЗЕ711В

Назначение. Плоскошлифовальный станок мод. ЗЕ711В с прямоугольным столом и горизонтальным шпинделем предназначен для шлифования плоских поверхностей заготовок периферией круга.

Техническая характеристика станка

Размеры рабочей поверхности стола (длина x ширина), мм.....	630x200
Пределы скоростей продольного перемещения стола, м/мин.....	2-35
Пределы скоростей поперечного перемещения крестового суппорта, м/мин.....	0,01-1,5
Пределы вертикальных подач шлифовальной головки, мм.....	0,001-0,09
Мощность электродвигателя главного движения, кВт.....	5,5
Габаритные размеры станка, мм.....	2700x1775x1910

Данные к анализу кинематических цепей

Кинематическая цепь	Конечные звенья цепи	Расчетные перемещения конечных звеньев
Главного движения	Электродвигатель M1 – шпиндель II	$n_{\text{глав.}}, \text{мин}^{-1} \rightarrow n_{\text{шп.}}, \text{мин}^{-1}$
Продольной подачи стола	Гидроцилиндр – стол D	
Ручной продольной подачи	Маховичок 1 – рейка, т=2 мм	
Поперечной подачи крестового суппорта	Электродвигатель M2 – винт VII	$n_{\text{глав.}}, \text{мин}^{-1} \rightarrow S_x, \text{мм/мин}$ (суппорта)
Ручной поперечной подачи:		
тонкой	Лимб 2 – винт VII	
грубой	Маховик 3 – винт VII	
Вертикальной подачи шлифовальной головки	Электродвигатель M3 – винт XII	$n_{\text{глав.}}, \text{мин}^{-1} \rightarrow S_z, \text{мм/мин}$
Быстрого установочного перемещения шлифовальной головки	Электродвигатель M4 – винт XII	$n_{\text{глав.}}, \text{мин}^{-1} \rightarrow V, \text{мм/мин}$

Рекомендуемая литература [13].

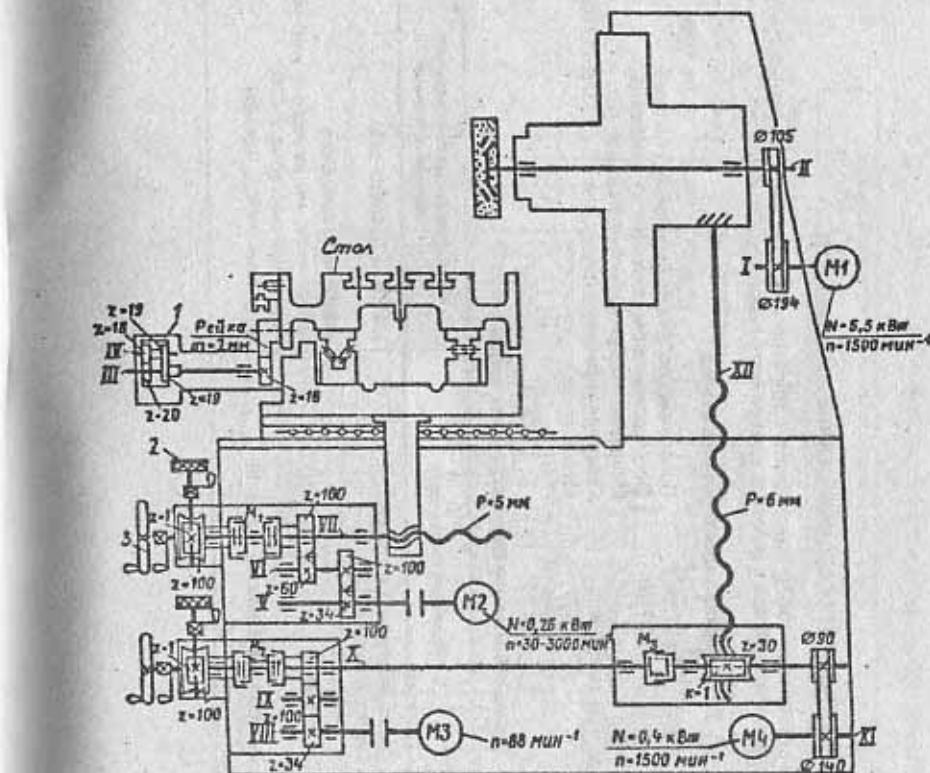


Рис. 3.40. Кинематическая схема плоскошлифовального станка
мод. ЗЕ711В

3.41. ПОПЕРЕЧНО-СТРОГАЛЬНЫЙ СТАНОК МОДЕЛИ 7307Д

Назначение. Поперечно-строгальный станок мод. 7307Д предназначен для строгания плоских и фасонных линейчатых поверхностей (горизонтальных, вертикальных, наклонных) в условиях единичного и серийного производства.

Техническая характеристика станка

Ход ползуна, мм.....	20–720	Поперечная подача на двойной ход ползуна (регулирование бесступенчатое), мм/дв.ход.....	0,2–5
Размеры стола, мм.....	450x710	Мощность главного электродвигателя, кВт.....	75
Наибольшее перемещение стола, мм:		Габаритные размеры станка, мм.....	3280x1710x1740
горизонтальное.....	850	Масса, кг.....	3400
вертикальное.....	320		
Пределы скоростей ползуна, м/мин.....	3–48		

Данные к анализу кинематических цепей

Кинематическая цепь	Конечные звенья цепи	Расчетные перемещения конечных звеньев
Главного движения Прерывистой подачи стола: поперечной вертикальной	Гидроцилиндр Ц1 – ползун П Гидроцилиндр Ц2 – – винт III – винт V	$\alpha/360^\circ \rightarrow S$, мм/дв.ход.
Ускоренного перемещения стола при наладке	Электродвигатель M2 – винт III	$\alpha/360^\circ \rightarrow S_b$, мм/дв.ход (α – угол поворота реечной шестерни, $Z=28$) $n_{\text{пол.}} \text{ мин}^{-1} \rightarrow V_{\text{тет.}}$ мм/мин

Рекомендуемая литература [7].

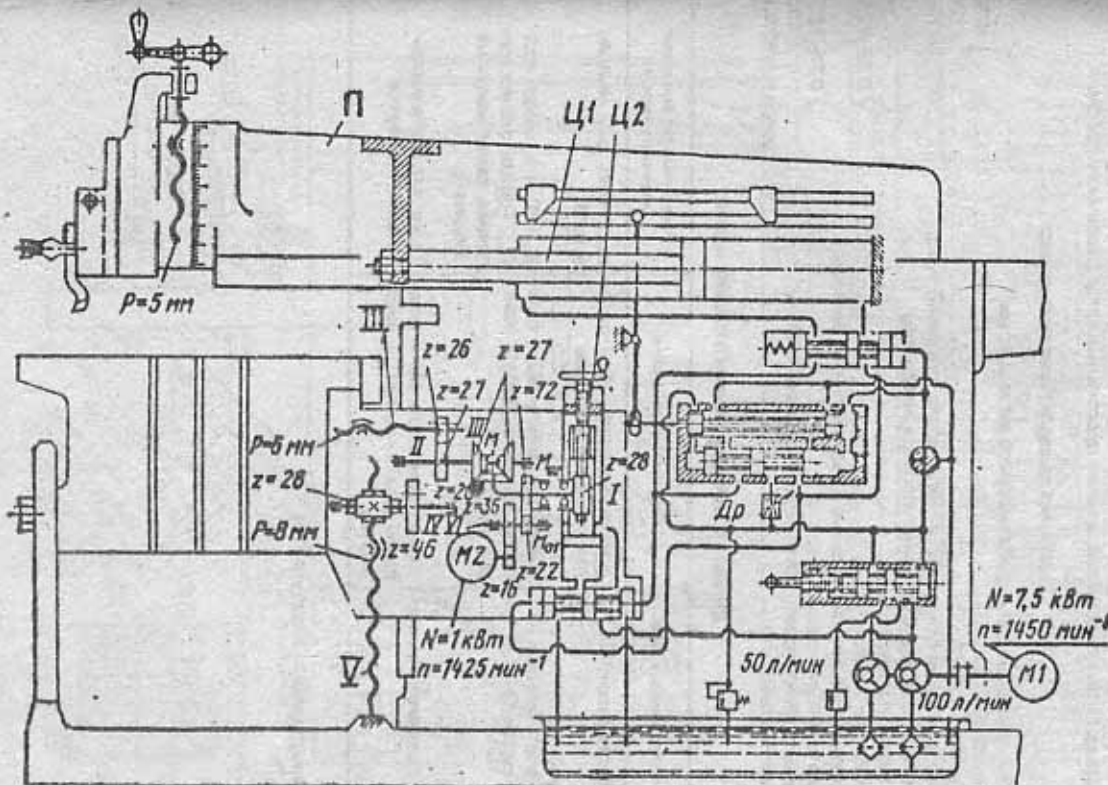


Рис. 3.41. Кинематическая схема поперечно-строгального станка мод. 7307Д

3.42. ДВУХСТОЧНЫЙ ПРОДОЛЬНО-СТРОГАЛЬНЫЙ СТАНК МОДЕЛИ 7212

Назначение. Станок предназначен для обработки горизонтальных, вертикальных и наклонных плоскостей, а также продольных пазов различного профиля.

Техническая характеристика станка

Наибольшие размеры обрабатываемой заготовки, мм	
ширина.....	1250
высота.....	1120
Размеры рабочей поверхности стола (длина x ширина), мм.....	4000x1120
Пределы подач вертикальных суппортов, мм/дв. ход:	
горизонтальных.....	0,5–25
вертикальных.....	0,25–12,5
Пределы подач (горизонтальных и вертикальных) бокового суппорта, мм/дв. ход.....	0,25–12,5
Мощность электродвигателя главного движения, кВт.....	100
Габариты станка, мм.....	9950x4500x3800

Данные к анализу кинематических цепей

Кинематическая цепь	Конечные звенья цепи	Расчетные перемещения конечных звеньев
Главного движения	Электродвигатель M1 – реечная передача, $m=12$ мм	$n_{\text{раб}} \cdot \text{мин}^{-1} \rightarrow V$, мм/мин (столе)
Подач: вертикальных суппортов	Электродвигатель M2 – (храповой механизм Xp1) – винт, $p=6$ мм	$Z_{\text{вр}} / 60 \rightarrow S$, мм/дв. ход ($Z_{\text{вр}}$ – число зубьев храповника, захватываемых собачкой)
бокового суппорта	Электродвигатель M2 – (храповой механизм Xp1) – винт, $p=6$ мм	Те же, что и для вертикальных суппортов

Рекомендуемая литература [15].

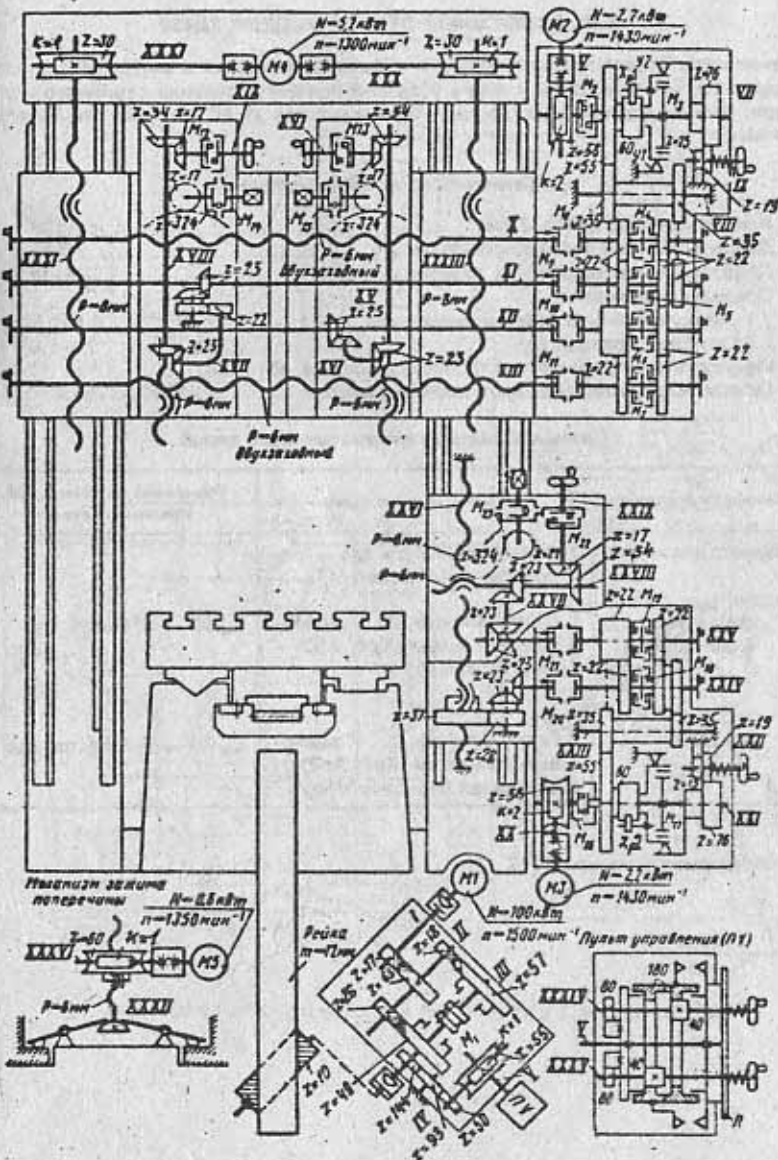


Рис. 3.42. Кинематическая схема двухстоечного продольно-строгального станка мод. 7212

3.43. ДОЛБЕЖНЫЙ СТАНОК МОДЕЛИ 7Д430

Назначение. Станок предназначен для обработки наружных и внутренних, плоских и фасонных поверхностей, пазов в условиях преимущественно серийного и массового производства. Возможно поднутрение (наклон до 10 градусов относительно вертикали)

Техническая характеристика

Наибольший ход долбяка, мм	320
Диаметр рабочей поверхности стола, мм.....	630
Пределы скоростей долбяка, м/мин	3-38
Пределы подач стола:	
продольная и поперечная мм/дв. ход	0,1-2,5
круговая, град/дв. ход	0,1-1,4
Мощность электродвигателя главного движения, кВт.....	11
Габаритные размеры (длина x ширина x высота)	3030x2175x3010

Данные к анализу кинематических цепей

Кинематическая цепь	Конечные звенья цепи	Расчетные перемещения конечных звеньев
Главного движения	Электродвигатель M1 – гидроцилиндр Ц1 – ползун П	
Подачи: продольной и поперечной	Гидроцилиндр Ц2 – храповой механизм (Xp1, Xp2) – винт (IV или VI)	$Z_{\phi}/60 \rightarrow S$, мм/дв. ход
круговой	Гидроцилиндр Ц2 – храповой механизм (Xp1, Xp2) – червячная передача 1/105	$Z_{\phi}/60 \rightarrow S$, град/дв. ход

Рекомендуемая литература [15, 13].

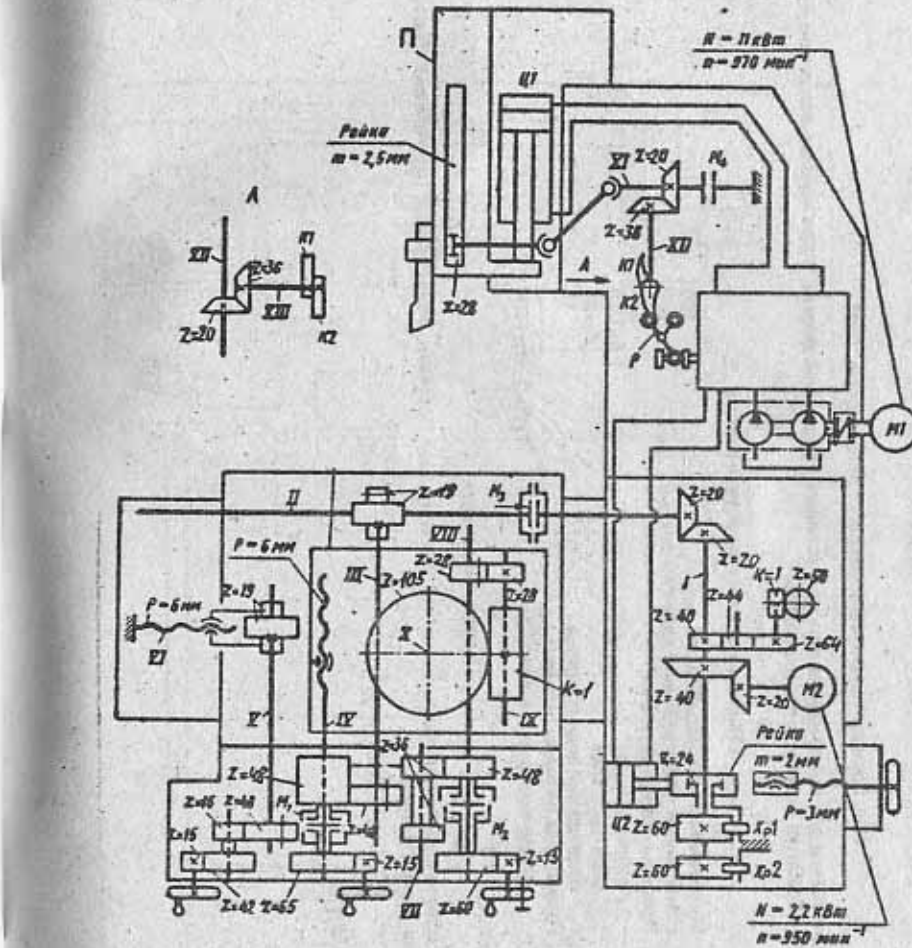


Рис. 3.43. Кинематическая схема долбежного станка мод. 7Д430

3.44. Горизонтально-протяжной станок модели 7Б55

Назначение. Станок предназначен для протягивания сквозных отверстий различной формы, в при использовании специальных приспособлений и для обработки наружных поверхностей.

Техническая характеристика станка

Максимальная тяговая сила, кН	100
Наибольшая длина рабочего хода салазок, мм	1600
Пределы скоростей, м/мин:	
рабочего хода	1,5–11,5
обратного хода	20–25
подвода и отвода протяжки	15
Габаритные размеры станка (длина x ширина x высота), мм	7200x2200x1700

Гидросхема станка

Гидропривод станка обеспечивает следующие элементы цикла: подвод протяжки; замедленный рабочий ход; быстрый рабочий ход; обратный ход; отвод протяжки.

Рекомендуемая литература [13].

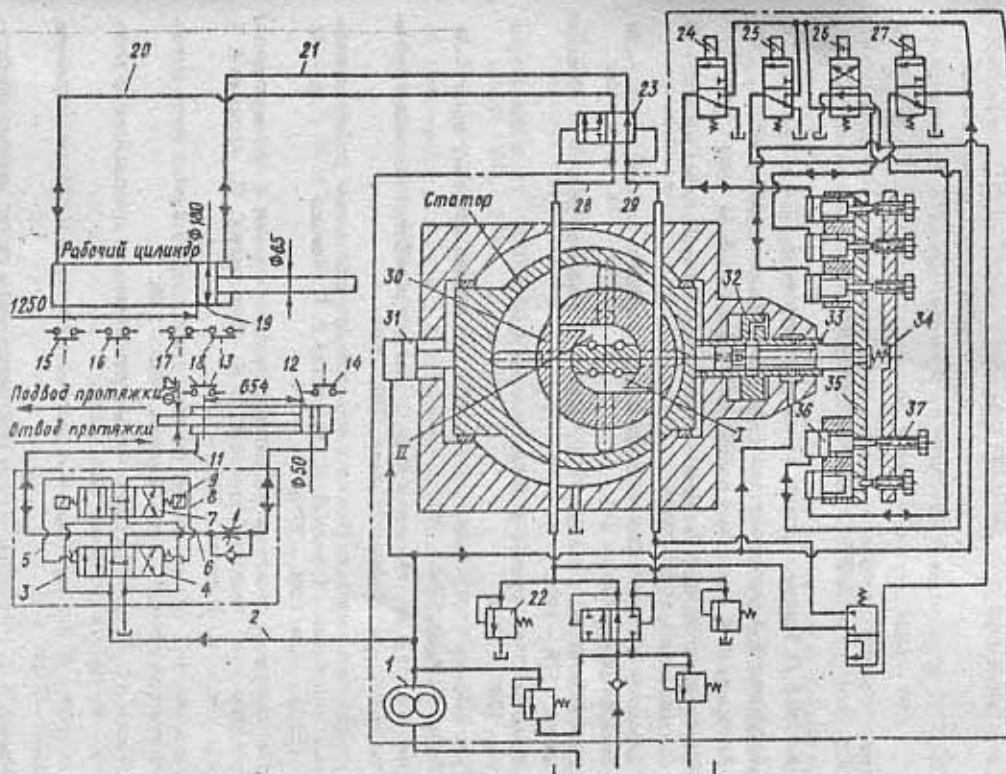


Рис. 3.44 Кинематическая схема горизонтально-протяжного станка мод. 7Б55

БИБЛИОГРАФИЧЕСКИЙ СПИСОК

1. Батов В. П. Токарные станки. – М.: Машиностроение, 1978. – 152с.
2. Барбашов Ф. А. Фрезерное дело. – М.: Высшая школа, 1980. – 208с.
3. Барбашов Ф. А. Фрезерные работы. – М.: Высшая школа, 1986. – 208с.
4. Барбашов Ф. А., Сильвестров Б. Н. Фрезерные и зуборезные работы. – М.: Высшая школа, 1983. – 288с.
5. Винников И. З. Устройство сверлильных станков и работы на них. – М.: Высшая школа, 1980. – 248с.
6. Денежный П. М., Стискин Т. М., Тхор И. Е. Токарное дело. – М.: Высшая школа, 1979. – 199с.
7. Ермалов Ю. Н., Фролов Б. А. Металлорежущие станки. – М.: Машиностроение, 1985. – 320с.
8. Калашников С. Н., Калашников А. С. Изготовление зубчатых колес. – М.: Высшая школа, 1980. – 303с.
9. Кедринский В. Н., Писманик К. М. Станки для обработки конических зубчатых колес. – М.: Машиностроение, 1967. – 584с.
10. Конструкция и наладка станков с программным управлением роботизированных комплексов / Грачев Л. Н., Косовский В. Л., Ковшов А. Н. и др. – М.: Высшая школа, 1989. – 271с.
11. Лабораторный практикум по металлорежущим станкам и промышленным роботам: Учеб. пособие / Подлеснов В. Н., Сальников С. П., Арошьев А. Л. и др. / ВолгГПИ, Волгоград, 1991. – 104с.
12. Леевшов Н. Д. Универсальные таблицы для подбора зубчатых колес металлорежущих станков. – Киев: Техника, 1979. – 248с.
13. Локтева С. Е. Станки с программным управлением и промышленные роботы. – М.: Машиностроение, 1986. – 320с.
14. Лоскутов В. В. Сверлильные и расточные станки. – М.: Машиностроение, 1981. – 152с.
15. Маев А. Г. Устройство, основы конструирования и расчет металлообрабатывающих станков и автоматических линий. – М.: Машиностроение, 1986. – 368с.
16. Металлорежущие станки / Колев Н. С., Краснichenko Л. В., Никулин Н. Г. и др. – М.: Машиностроение, 1980. – 500с.
17. Металлорежущие станки / Под ред. В. Э. Пуша. – М.: Машиностроение, 1986. – 576с.
18. Металлорежущие станки и автоматы / Под ред. А. С. Проникова. – М.: Машиностроение, 1981. – 479с.
19. Мильтейн М. З. Нарезание зубчатых колес. – М.: Высшая школа, 1972. – 272с.
20. Ничков А. Г. Фрезерные станки. – М.: Машиностроение, 1984. – 160с.
21. Подлеснов В. Н. Станочное оборудование автоматизированного производства: Кинематика станков: Учеб. пособие / ВолгГТУ. – Волгоград, 1992. – 86с.
22. Петрик М. Н., Шишков В. А. Таблицы для подбора шестерен: Справочник. – М.: Машиностроение, 1973. – 528с.
23. Сандаков В. А., Вегнер В. А., Вегнер М. К. Таблицы для подбора шестерен: Справочник. – М.: Машиностроение, 1988. – 576с.
24. Сильвестров Б. Н., Захаров И. Д. Конструкция и наладка зуборезных и резьбонарезных станков – М.: Высшая школа, 1979. – 255с.
25. Схиртладзе А. Г., Новиков В. Ю. Станочник широкого профиля – М.: Высшая школа, 1989. – 464с.
26. Федотенок А. А. Кинематическая структура металлорежущих станков. – М.: Машиностроение, 1970. – 403с.
27. Феденко В. Н. Обработка на токарно-револьверных станках – М.: Высшая школа, 1979. – 143с.
28. Чернов Н. Н. Металлорежущие станки. – М.: Машиностроение, 1978. – 389с.
29. Шашков Е. В., Смирнов В. Г. Устройство фрезерно-расточных станков. – М.: Высшая школа, 1986. – 191с.

ОГЛАВЛЕНИЕ

Введение	3
1. Основные принципы анализа кинематических схем станков	5
2. Способы кинематической настройки цепей	12
3. Технические характеристики и кинематические схемы металлорежущих станков	-
M	
3.1. Токарно-винторезный станок модели 16К20	20
3.2. Токарно-винторезный станок модели 1И611П	22
3.3. Токарный патронно-центровой станок модели 16К20ФЗС5 с ЧПУ	24
3.4. Токарный станок модели 16К20РФЗС19 с ЧПУ	26
3.5. Токарно-револьверный станок модели 1Г340	28
3.6. Токарно-револьверный станок модели 1П365	30
3.7. Токарно-револьверный станок модели 1В340Ф3 с ЧПУ	32
3.8. Токарно-карусельный станок модели 1512	34
3.9. Вертикально-сверлильный станок модели 2Н118	36
3.10. Вертикально-сверлильный станок модели 2Н135	38
3.11. Радиально-сверлильный станок модели 2М55	40
3.12. Радиально-сверлильный станок модели 2554	42
3.13. Горизонтально-расточный станок модели 2620В	44
3.14. Горизонтально-расточный станок модели 2А620Ф2-1 с ЧПУ	46
3.15. Широкоуниверсальный фрезерный станок модели 6Р82Ш	48
3.16. Универсально-фрезерный станок модели 6Р81	50
3.17. Вертикально-фрезерный станок модели 6Р13	52
3.18. Вертикально-фрезерный станок модели 6А54	54
3.19. Вертикально-фрезерный станок модели 6Р13Ф3 с ЧПУ	56
3.20. Вертикально-фрезерный станок модели 6Р13РФ3 с ЧПУ	58
3.21. Зубофрезерный полуавтомат модели 5М324А	60
3.22. Зубофрезерный полуавтомат модели 53А50	62
3.23. Зубофрезерный полуавтомат модели 5М32	64

3.24. Зубофрезерный полуавтомат модели 5К324	66
3.25. Зубофрезерный полуавтомат модели МА70Ф4 с ЧПУ	68
3.26. Зубофрезерный полуавтомат модели 53А20Ф4 с ЧПУ	70
3.27. Зубодолбежный полуавтомат модели 5В150	72
3.28. Зубодолбежный полуавтомат модели 5140	74
3.29. Зубодолбежный станок модели 5122	76
3.30. Зубострогальный станок модели 5П23БП	78
3.31. Зубострогальный полуавтомат модели 5236П	80
3.32. Зуборезный станок модели 5С280П	82
3.33. Резьбофрезерный полуавтомат модели 5563	84
3.34. Зубошевинговальный станок модели 5702	86
3.35. Круглошлифовальный станок модели 3У131	88
3.36. Круглошлифовальный полуавтомат модели 3М151Ф2 с ЧПУ	90
3.37. Бесцентровошлифовальный станок модели 3М184	92
3.38. Внутришлифовальный станок модели 3К227В	94
3.39. Плоскошлифовальный станок модели 3Е721ВФ1-1	96
3.40. Плоскошлифовальный станок модели 3Е711В	98
3.41. Поперечно-строгальный станок модели 7307Д	100
3.42. Двухстоечный продольно-строгальный станок модели 7212	102
3.43. Долбячный станок модели 7Д430	104
3.44. Горизонтально-протяжной станок модели 7Б55	106
Библиографический список	108

Владислав Николаевич Подлеснов
Александр Сергеевич Ананьев

**КИНЕМАТИКА СТАНКОВ: КИНЕМАТИЧЕСКИЕ СХЕМЫ
ДЛЯ АНАЛИЗА И РАСЧЕТА ЦЕПЕЙ**

Учебное пособие

Редактор А. К. Саютина
Технический редактор В. И. Фишер
Оператор по верстке Е. Е. Тараканова

Темпплан 1999г., поз.№ 17
Лицензия ЛР № 020251 от 16.04.1996 г.

Подписано в печать 26.02.99. Формат 60x84 1/16. Бумага газетная.
Гарнитура Arial. Печать офсетная. Усл.печ.л. 6,51.
Уч.-изд.л. 6,74. Тираж 200 экз. Заказ 146.

Волгоградский государственный технический университет.
400066 Волгоград, просп. В. И. Ленина, 26.

РПК "Политехник"
Волгоградского государственного технического университета
400066 Волгоград, ул. Советская, 35